

**SIMULASI SISTEM ENERGI PADA RANCANGAN GEDUNG  
L4 PERPUSTAKAAN PUSAT UNIVERSITAS GADJAH MADA  
DENGAN *ENERGYPLUS***

**SKRIPSI**

untuk memenuhi sebagian persyaratan  
untuk memperoleh derajat Sarjana S-1  
Program Studi Teknik Fisika



diajukan oleh

**YULIA PUSPASARI HANDAYANI**  
11/319714/TK/38832

kepada

**DEPARTEMEN TEKNIK NUKLIR DAN TEKNIK FISIKA  
FAKULTAS TEKNIK  
UNIVERSITAS GADJAH MADA  
YOGYAKARTA  
2016**

Saya yang bertanda tangan di bawah ini:

Nama : Yulia Puspasari Handayani  
NIM : 11/319714/TK/38832  
Judul Skripsi : Simulasi Sistem Energi Pada Rancangan Gedung  
L4 Perpustakaan Pusat Universitas Gadjah Mada  
dengan *Energyplus*

menyatakan bahwa skripsi dengan judul tersebut di atas saya susun dengan sejujurnya berdasarkan norma akademik dan bukan merupakan hasil plagiat. Adapun semua kutipan di dalam skripsi ini telah saya sertakan nama pembuatnya/penulisnya dan telah saya cantumkan ke dalam Daftar Pustaka.

Pernyataan ini saya buat dengan sebenarnya dan apabila ternyata di kemudian hari saya terbukti melanggar pernyataan saya tersebut di atas, saya bersedia menerima sanksi sesuai aturan yang berlaku.

Yogyakarta, 6 April 2016

Yang menyatakan,

Yulia Puspasari Handayani

NIM. 11/319714/TK/38832

SKRIPSI

**SIMULASI SISTEM ENERGI PADA RANCANGAN GEDUNG L4  
PERPUSTAKAAN PUSAT UNIVERSITAS GADJAH MADA  
DENGAN *ENERGYPLUS***

Oleh:

**Yulia Puspasari Handayani  
11/319714/TK/38832**

telah dipertahankan di depan Tim Penguji  
pada tanggal 8 April 2016

**Susunan Tim Penguji**

Ketua

Dr. Eng. M. Kholid Ridwan, ST., M.Sc.

NIP. 197407111999031002

Penguji Utama

Anggota Penguji

Ir. Kutut Suryopratomo, MT., M.Sc.

NIP. 196706201993031003

Nazrul Effendy, ST., MT., Ph.D.

NIP. 197406141999031002

Diterima dan dinyatakan memenuhi syarat kelulusan  
pada tanggal 8 April 2016

Ketua Departemen Teknik Nuklir dan Teknik Fisika  
Fakultas Teknik Universitas Gadjah Mada

Nopriadi, ST., M.Sc., Ph.D

NIP. 197311192002121002



**SIMULASI SISTEM ENERGI PADA RANCANGAN GEDUNG L4 PERPUSTAKAAN PUSAT  
UNIVERSITAS GADJAH MADA DENGAN  
ENERGYPLUS**

YULIA PUSPASARI H, Dr.Eng. M.Kholid Ridwan, S.T., M.Sc.

UNIVERSITAS GADJAH MADA  
KEMENTERIAN RISET, TEKNOLOGI DAN PENDIDIKAN TINGGI

**UNIVERSITAS GADJAH MADA**

**FAKULTAS TEKNIK**

**DEPARTEMEN TEKNIK NUKLIR DAN TEKNIK FISIKA**

---

**HALAMAN TUGAS**

Nama : Yulia Puspasari Handayani  
Nomor Mahasiswa : 11/319714/TK/38832  
Pembimbing I : Dr. Eng. M. Kholid Ridwan, ST., M.Sc.  
Pembimbing II : Sentagi Sesotya Utami, ST., M.Sc., Ph.D.  
Judul : Simulasi Sistem Energi Pada Rancangan Gedung L4  
Perpustakaan Pusat Universitas Gadjah Mada dengan  
*EnergyPlus*  
Permasalahan : Mengidentifikasi nilai konsumsi energi listrik per  
sistem bangunan berdasarkan simulasi energi  
bangunan disertai dengan analisis ekonomi sistem tata  
udara dan pencahayaan. Hasil simulasi energi  
konsumsi energi listrik yang terdapat di Gedung L4  
Perpustakaan Pusat Universitas Gadjah Mada  
merupakan konsumsi energi listrik keseluruhan  
bangunan.

---

Pembimbing I

Pembimbing II

Dr. Eng. M. Kholid Ridwan, ST., M.Sc.  
NIP. 197407111999031002

Sentagi Sesotya U., ST., M.Sc., Ph.D.  
NIP. 197502262002122002

Mengetahui,  
Ketua Departemen Teknik Nuklir dan Teknik Fisika  
Fakultas Teknik Universitas Gadjah Mada

Nopriadi, ST., M.Sc., Ph.D  
NIP. 197311192002121002

*Karya ini kupersembahkan kepada :*

*Ibuku yang tiada henti memberikan doa dan semangat, Ayahku yang dengan keras mendidikku sampai aku bisa menjadi pribadi yang mandiri seperti sekarang. Tidak lupa kepada keempat kakakku yang selalu memberikan dorongan dan motivasi.*

## KATA PENGANTAR

Segala puji dan kata syukur penulis panjatkan yang tiada tara kepada Allah SWT yang telah memberikan rahmat dan karunia-Nya kepada penulis sehingga penulis dapat menyelesaikan penelitian dan penulisan skripsi ini dengan judul “*Simulasi Sistem Energi Pada Rancangan Gedung L4 Perpustakaan Pusat Universitas Gadjah Mada dengan EnergyPlus*” dengan lancar dan penuh sentosa. Shalawat dan salam semoga selalu tercurahkan kepada Nabi Muhammad SAW yang selalu menjadi tauladan bagi umatnya.

Semoga skripsi ini dapat memberikan manfaat berupa pengetahuan dan gambaran bagaimana simulasi EnergyPlus dapat digunakan untuk mengetahui konsumsi energi bangunan dan dapat digunakan untuk penelitian lebih lanjut.

Penulis menyadari kajian yang dihadirkan ini belum dapat mencapai kata sempurna sehingga penulis membutuhkan saran maupun kritik yang bersifat membangun demi kesempurnaan kajian terkait skripsi ini. Penulis juga menyadari bahwa keberhasilan penyusunan skripsi ini tidak terlepas dari bantuan maupun bimbingan banyak pihak yang senantiasa diberikan kepada penulis. Oleh sebab itu, penulis ingin menyampaikan ucapan terima kasih sebesar-besarnya kepada semua yang telah memberikan bantuan serta dukungan khususnya kepada:

1. Bapak, Ibu, Kakak, serta seluruh keluarga penulis atas kasih sayang, doa, dan motivasi yang selalu diberikan kepada penulis sehingga penulis dapat menyelesaikan skripsi ini.
2. Bapak M. Kholid Ridwan selaku pembimbing yang selalu memberikan waktu dan saran kepada penulis dalam menyelesaikan tugas akhir ini. Terima kasih sebesar-besarnya atas motivasi dan semangat yang selalu Bapak berikan kepada penulis.
3. Ibu Sentagi Sesotya Utami selaku pembimbing yang selalu memberikan saran dan masukan kepada penulis demi kesempurnaan skripsi ini.
4. Bapak Kutut Suryopratomo dan Bapak Nazrul Effendy selaku dosen penguji yang bersedia memberikan waktu serta saran dan kritik yang membangun untuk skripsi ini.

5. Bapak Nazrul Effendy selaku dosen pembimbing akademik yang selalu memberikan nasihat setiap kali bertemu maupun pada saat konsultasi akademik.
6. Belladona, aditya, diki, astrid , intan, helena, aulia , risma, putri, yena, audrey, oxa, ayu, ulya dan agita yang selalu memberikan semangat dalam mengerjakan skripsi ini.
7. Awaludin dan Aryo selaku teman tim pada skripsi ini yang saling membantu demi kesuksesan dan kelancaran skripsi ini.
8. Kelas B TF 2011 dan teman-teman penulis lainnya. Penulis pasti tidak akan lupa tentang bagaimana kita berkumpul dan bersenda gurau bersama-sama.
9. Dan seluruh pihak yang tidak dapat disebutkan seluruhnya oleh penulis, semoga Tuhan memberikan balasan yang baik

Penulis berharap semoga skripsi ini dapat memberikan manfaat kepada siapapun yang membacanya. Penulis menyadari atas ketidaksempurnaan dari skripsi ini, sehingga penulis meminta maaf atas hal tersebut dan juga membuka hati untuk menerima kritik serta saran dari berbagai pihak.

Yogyakarta, 6 April 2016

Penulis

## DAFTAR ISI

PERNYATAAN BEBAS PLAGIARISME .....	ii
HALAMAN PENGESAHAN.....	iii
HALAMAN TUGAS .....	iv
KATA PENGANTAR .....	vi
DAFTAR ISI.....	viii
DAFTAR GAMBAR .....	xi
DAFTAR TABEL.....	xii
DAFTAR LAMBANG DAN SINGKATAN.....	xiii
INTISARI.....	xvi
ABSTRACT .....	xvii
BAB I.....	1
PENDAHULUAN .....	1
I.1. Latar Belakang .....	1
I.2. Batasan Masalah.....	2
I.3. Tujuan Penelitian.....	3
I.4. Manfaat Penelitian.....	3
BAB II.....	4
TINJAUAN PUSTAKA .....	4
II.1. Audit Energi Bangunan .....	4
II.2. Simulasi Energi Bangunan .....	4
II.2.1. Tujuan Penggunaan Simulasi Energi Bangunan .....	5
II.2.2. Pemodelan Bangunan.....	5
II.2.3. <i>EnergyPlus</i> .....	6
II.2.4. <i>Google SketchUp</i> .....	7
II.2.5. <i>OpenStudio</i> .....	7
BAB III .....	8
DASAR TEORI .....	8
III.1. <i>Green Building</i> .....	8
III.2. Beban Pendinginan Selubung Bangunan.....	8
III.2.1. Metode Kesetimbangan Panas.....	8
III.2.2. <i>Overall Thermal Transfer Value (OTTV)</i> .....	16
III.2.3. Beban Pendinginan Kaca Jendela.....	18
III.3. Beban Pendinginan Internal.....	22

III.3.1.	Beban Pendinginan Penghuni ( <i>occupant</i> ) .....	22
III.3.2.	Beban Pendinginan Sistem Tata Cahaya .....	22
III.3.3.	Beban Pendinginan Peralatan Listrik .....	26
III.4.	Sistem Tata Udara .....	26
III.4.1.	Sistem <i>Constant Air Volume</i> (CAV) .....	29
III.4.2.	Sistem <i>Variable Air Volume</i> (VAV) .....	30
III.4.3.	Refrigeran .....	30
III.4.4.	Instalasi Saluran Udara ( <i>Ducting</i> ) .....	32
BAB IV	.....	34
PELAKSANAAN PENELITIAN	.....	34
IV.1.	Alat dan Data Penelitian .....	34
IV.1.1.	Alat .....	34
IV.1.2.	Data Penelitian .....	35
IV.2.	Tata Laksana Penelitian .....	36
IV.2.1.	Studi Pustaka .....	37
IV.2.2.	Pengumpulan Data .....	37
IV.2.3.	Pemodelan Bangunan dengan <i>Google SketchUp + Plug in Open Studio</i> .....	38
IV.2.4.	Input Data ke <i>EnergyPlus</i> .....	38
IV.2.5.	Simulasi <i>EnergyPlus</i> .....	40
IV.2.6.	Analisis dan Pembahasan Hasil .....	40
BAB V	.....	41
HASIL DAN PEMBAHASAN	.....	41
V.1.	Proses Konversi Data .....	41
V.1.1.	Deskripsi Bangunan .....	41
V.1.2.	Pemodelan Geometri Bangunan .....	42
V.1.3.	Estimasi Beban Pendinginan Penghuni .....	47
V.1.4.	Perhitungan Konsumsi Energi dan Beban Pendinginan Sistem Tata Cahaya .....	56
V.1.5.	Perhitungan Konsumsi Energi dan Beban Pendinginan Peralatan Listrik .....	59
V.1.6.	Pemodelan Sistem Tata Udara .....	59
V.2.	Validasi Perangkat Lunak <i>EnergyPlus</i> .....	60
V.3.	Hasil Simulasi <i>EnergyPlus</i> .....	61
V.3.1.	Konsumsi Energi Listrik Sistem Tata Cahaya .....	61

V.3.2.	Konsumsi Energi Listrik Sistem Tata Udara .....	62
V.3.3.	Konsumsi Energi Listrik Peralatan Listrik.....	63
V.3.4.	Konsumsi Energi Listrik Keseluruhan Bangunan.....	63
V.3.5.	Intensitas Konsumsi Energi Bangunan .....	64
V.4.	Skenario Konservasi Energi .....	64
V.5.	Analisis Pergantian Sistem <i>Constant Air Volume</i> (CAV) dengan sistem <i>Variable Air Volume</i> (VAV) dan <i>Luminaire</i> Jenis <i>Fluorescent</i> dengan LED Phillips Tube T8-18 Watt. ....	66
V.6.	Analisis Perhitungan <i>Overall Thermal Transfer Value</i> (OTTV) .....	66
V.7.	Validasi Hasil Simulasi <i>EnergyPlus</i> .....	72
V.8.	Analisis Perhitungan Biaya Pembelian Komponen Refrigeran dan <i>Ducting</i> .....	71
V.9.	Analisis Perhitungan Ekonomi Sistem Tata Cahaya menggunakan Lampu LEDtube T8.....	72
V.9.1.	Biaya Pembelian Komponen.....	72
V.9.2.	Biaya Pemasangan dan Instalasi .....	72
V.9.3.	Biaya Operasional .....	73
BAB VI	.....	74
KESIMPULAN DAN SARAN	.....	74
VI.1	Kesimpulan .....	74
VI.2	Saran .....	74
DAFTAR PUSTAKA	.....	75
LAMPIRAN A	.....	79
LAMPIRAN B	.....	84
LAMPIRAN C	.....	88
LAMPIRAN D	.....	90

## DAFTAR GAMBAR

<b>Gambar 3.1.</b> Skema Kesetimbangan panas sisi luar .....	10
<b>Gambar 3.2.</b> Proses perpindahan panas konduksi pada dinding.....	10
<b>Gambar 3.3.</b> Skema kesetimbangan panas sisi dalam .....	14
<b>Gambar 3.4.</b> Skema kesetimbangan panas udara di dalam zona .....	15
<b>Gambar 3.5.</b> Sifat kaca jendela yang mempengaruhi transfer energi .....	19
<b>Gambar 3.6.</b> Jendela glasir ganda, lapisan rendah emisi dan panas matahari .....	21
<b>Gambar 3.7.</b> Kaca berglasir ganda dengan lapisan gelap warna perunggu .....	21
<b>Gambar 3.8.</b> <i>Recessed luminaire</i> .....	23
<b>Gambar 3.9.</b> <i>Downlight luminaire</i> .....	24
<b>Gambar 3.10.</b> Konstruksi dari LED kekuatan rendah (kiri) dan tinggi (kanan)..	25
<b>Gambar 3.11.</b> Sistem Pengkondisian Udara Terpusat .....	28
<b>Gambar 3.12.</b> Skema AHU .....	28
<b>Gambar 3.13.</b> Sistem <i>Variable Air Volume</i> .....	30
<b>Gambar 4.1.</b> Diagram Alir Penelitian .....	36
<b>Gambar 4.2.</b> Proses Input data ke <i>EnergyPlus</i> .....	39
<b>Gambar 5.1.</b> Tampak utara model bangunan Perpustakaan Pusat UGM L4.....	43
<b>Gambar 5.2.</b> Tampak selatan model bangunan Perpustakaan Pusat UGM L4....	43
<b>Gambar 5.3.</b> Tampak samping model bangunan Perpustakaan Pusat UGM L4 .	43
<b>Gambar 5.4.</b> Zona LOBI.....	44
<b>Gambar 5.5.</b> Zona RB1 .....	45
<b>Gambar 5.6.</b> Zona RB2.....	45
<b>Gambar 5.7.</b> Zona RBL2 .....	45
<b>Gambar 5.8.</b> Zona RBL3 .....	46
<b>Gambar 5.9.</b> Zona BASEMENT.....	46
<b>Gambar 5.10.</b> Zona Plenum.....	47
<b>Gambar 5.11.</b> Konsumsi Energi Listrik Sistem Tata Cahaya Tiap Zona .....	62
<b>Gambar 5.12.</b> Konsumsi Energi Listrik Sistem Tata Udara.....	62
<b>Gambar 5.13.</b> Konsumsi Energi Listrik Peralatan Listrik .....	63
<b>Gambar 5.14.</b> Konsumsi Energi Keseluruhan tiap Sistem .....	64
<b>Gambar 5.15.</b> Konsumsi energi listrik keseluruhan bangunan dengan sistem VAV dan LED .....	65

## DAFTAR TABEL

<b>Tabel 3.1.</b> Nilai Absorptansi Radiasi Matahari ( $\alpha$ ) untuk cat permukaan.....	17
<b>Tabel 3.2.</b> Nilai Densitas Bahan Bangunan.....	18
<b>Tabel 3.3.</b> Atribut Kerja Refrigeran .....	31
<b>Tabel 3.4.</b> Nilai GWP, ODP dan tahun atmosferik refrigeran primer.....	32
<b>Tabel 4.1.</b> Alat-alat yang digunakan .....	34
<b>Tabel 4.2.</b> Bahan Penelitian.....	35
<b>Tabel 5.1.</b> Konversi Data.....	41
<b>Tabel 5.2.</b> Daftar Zona Termal .....	44
<b>Tabel 5.3.</b> Zona Plenum .....	46
<b>Tabel 5.4.</b> Estimasi Pengunjung Zona Lobi .....	48
<b>Tabel 5.5.</b> Estimasi Pengunjung Zona Ruang Baca 1 Lantai 1 .....	49
<b>Tabel 5.6.</b> Estimasi Pembaca Zona Ruang Baca 2 Lantai 1 .....	50
<b>Tabel 5.7.</b> Estimasi Pembaca Zona Ruang Baca Lantai 2.....	51
<b>Tabel 5.8.</b> Estimasi Pembaca Zona Ruang Baca Lantai 3.....	52
<b>Tabel 5.9.</b> Estimasi Pengunjung Zona Parkir Sepeda Basement.....	53
<b>Tabel 5.10.</b> Rekapitulasi Okupansi tiap zona .....	54
<b>Tabel 5.11.</b> Nilai laju metabolisme penghuni zona .....	55
<b>Tabel 5.12.</b> Estimasi beban pendinginan okupansi tiap zona (W/orang) .....	56
<b>Tabel 5.13.</b> Jenis, Jumlah dan daya maksimum komponen sistem tata cahaya ...	57
<b>Table 5.14.</b> Nilai $f_{ret}$ , $f_{lw}$ dan $f_{conv}$ untuk berbagai jenis <i>luminaire</i> .....	57
<b>Tabel 5.15.</b> Nilai $f_{ret}$ , $f_{lw}$ , $f_{sw}$ dan $f_{conv}$ untuk berbagai jenis <i>luminaire</i> yang dipasang.....	58
<b>Tabel 5.16.</b> Fraksi panas yang dihasilkan setiap zona.....	58
<b>Tabel 5.17.</b> Spesifikasi Peralatan Listrik untuk tiap zona .....	59
<b>Tabel 5.18.</b> Pemodelan Sistem Tata Udara .....	60
<b>Tabel 5.19.</b> Variabel input simulasi dan sumber data .....	60
<b>Tabel 5.20.</b> Perbandingan Konsumsi Energi Listrik dan IKE Sebelum dan Sesudah Skenario Konservasi Energi.....	66
<b>Tabel 5.21.</b> Nilai 1-WWR di Gedung L4 Berdasarkan Orientasi Tertentu .....	67
<b>Tabel 5.22.</b> Nilai $R$ pada Lapisan Batu Bata dan Lapisan Plester .....	67
<b>Tabel 5.23.</b> Nilai $Q_w$ Berdasarkan Orientasi Tertentu.....	68
<b>Tabel 5.24.</b> Nilai WWR di Gedung L4 Berdasarkan Orientasi Tertentu .....	68

<b>Tabel 5.25.</b> Nilai $R$ pada Lapisan Kaca .....	69
<b>Tabel 5.26.</b> Nilai $Q_f$ Berdasarkan Orientasi Tertentu .....	69
<b>Tabel 5.27.</b> Nilai $SF$ untuk Berbagai Orientasi .....	69
<b>Tabel 5.28.</b> Nilai $Q_g$ Berdasarkan Orientasi Tertentu.....	70
<b>Tabel 5.29.</b> Nilai $OTTV$ pada Gedung L4 Berdasarkan Orientasi Tertentu .....	70
<b>Tabel 5.30.</b> Perbandingan Nilai $OTTV$ Hasil Simulasi dan Perhitungan Manual.	72
<b>Tabel 5.31.</b> Perhitungan Biaya Komponen Refrigeran dan <i>Ducting</i> .....	71
<b>Tabel 5.32.</b> Harga Lampu LEDtube 18W .....	72
<b>Tabel 5.33.</b> Biaya Instalasi Pencahayaan Gedung L4 .....	72
<b>Tabel 5.34.</b> Biaya Operasional sistem tata cahaya .....	73
<b>Tabel 5.35.</b> Total Biaya Keseluruhan .....	73

## DAFTAR LAMBANG DAN SINGKATAN

### Lambang

Huruf Latin	Arti	Satuan
$q''_{sol}$	fluks radiasi matahari langsung dan difus yang diserap	$W/m^2$
$q''_{LWR}$	pertukaran netto fluks radiasi gelombang panjang dengan udara dan lingkungan sekitar	$W/m^2$
$q''_{conv}$	fluks pertukaran konveksi dengan udara luar	$W/m^2$
$q''_{ko}$	fluks konduksi ( $q/A$ ) menuju dinding	$W/m^2$
$X_j$	FTK sisi luar, $j=0,1,\dots,nz,\dots$	-
$Y_j$	FTK di dalam selubung bangunan, $j=0,1,\dots,nz,\dots$	-
$Z_j$	FTK sisi dalam, $j=0,1,\dots,nz,\dots$	-
$q''_{ki}$	fluks perpindahan panas konduksi pada sisi dalam	$W/m^2$
$q''_{ko}$	fluks perpindahan konduksi pada sisi luar	$W/m^2$
$q''_{LWX}$	netto pertukaran fluks radiasi gelombang panjang antar permukaan selubung zona	$W/m^2$
$q''_{SW}$	fluks radiasi gelombang pendek dari cahaya ke permukaan	$W/m^2$
$q''_{LWS}$	fluks radiasi gelombang panjang dari peralatan yang ada di dalam ruangan	$W/m^2$
$q''_{sol}$	fluks transmisi radiasi matahari yang diserap pada permukaan	$W/m^2$
$q''_{conv}$	fluks perpindahan panas konveksi menuju udara ruangan	$W/m^2$
$q_{conv}$	laju panas konveksi dari permukaan	W
$q_{CE}$	komponen laju panas konveksi dari beban internal	W
$q_{IV}$	beban sensibel yang disebabkan oleh infiltrasi dan ventilasi	W
$q_{sys}$	perpindahan panas dari atau ke sistem tata udara	W
$T_o$	temperatur sisi luar	$^{\circ}C$
$T_i$	temperatur sisi dalam	$^{\circ}C$
$f_{conv}$	fraksi panas yang didistribusikan secara konveksi	-
$f_{ret}$	fraksi panas yang diserap oleh udara balik	-

$f_{lw}$	fraksi radiasi gelombang panjang	-
$f_{sw}$	fraksi radiasi gelombang pendek	-

### **Huruf Yunani**

<i>Lambang</i>	<i>Arti</i>
$\delta$	langkah waktu ( <i>time step</i> )
$\Phi_j$	FTK fluks, $j=1,2,\dots,nq$

### **Singkatan**

FTK	Fungsi Transfer Konduksi
CTF	<i>Conduction Transfer Function</i>
SHGC	<i>Solat Heat Gain Coeficient</i>
VT	<i>Visible Transmittance</i>
HVAC	<i>Heating, Ventilating and Air Conditioning</i>
AHU	<i>Air Handling Unit</i>
VAV	<i>Variable Air Volume</i>
IKE	Intensitas Konsumsi Energi
VAV	<i>Variable Air Volume</i>

## **SIMULASI SISTEM ENERGI PADA RANCANGAN GEDUNG L4 PERPUSTAKAAN PUSAT UNIVERSITAS GADJAH MADA DENGAN *ENERGYPLUS***

Oleh  
Yulia Puspasari Handayani  
11/319714/TK/38832

Diajukan kepada Departemen Teknik Fisika Fakultas Teknik  
Universitas Gadjah Mada pada tanggal 8 April 2016  
untuk memenuhi sebagian persyaratan untuk memperoleh derajat  
Sarjana S-1 Program Studi Teknik Fisika

### **INTISARI**

*Green building* adalah suatu konsep dalam mendesain, membangun, mengelola, dan memelihara bangunan dengan tujuan untuk menjaga kesehatan penghuni, meningkatkan produktivitas penghuni bangunan dan mengurangi dampak buruk bangunan terhadap lingkungan. Penelitian ini bertujuan untuk mengkaji konsumsi energi bangunan perpustakaan dalam penghematan energi tetapi tetap mengutamakan kenyamanan untuk penggunanya. Penelitian ini menggunakan *EnergyPlus* versi 8.1.0.009 64-bit untuk melakukan proses simulasi konsumsi energi Perpustakaan Pusat Universitas Gadjah Mada Gedung L4.

Data yang dibutuhkan antara lain data geometri, data cuaca, dan data beban pendinginan (*cooling load*). Data geometri disajikan dalam model tiga dimensi menggunakan perangkat lunak *Google SketchUp 8* yang dilengkapi *OpenStudio*. Data cuaca yang digunakan adalah data cuaca untuk wilayah Surakarta. Data beban pendinginan meliputi data beban penghuni, sistem tata cahaya dan sistem peralatan listrik.

Hasil simulasi menunjukkan jumlah konsumsi keluruhan bangunan Perpustakaan Pusat UGM Gedung L4 adalah sebesar 941,19 GJ per tahun. Nilai Intensitas Konsumsi Energi (IKE) bangunan Perpustakaan Pusat UGM Gedung L1 sebesar 264,47 kWh/m<sup>2</sup>/tahun. Skenario yang dilakukan untuk penghematan konsumsi energi bangunan Perpustakaan Pusat UGM Gedung L4 adalah dengan mengganti sistem *Constant Air Volume (CAV)* menjadi *Variable Air Volume (VAV)* dan mengganti jenis luminaire dari fluorescent ke LED. Penghematan yang didapatkan sebesar 23,67 %. Total biaya penggunaan refrigeran dan *ducting* selama 1 tahun adalah Rp 78.356.000,-

**Kata kunci:** *green building*, simulasi konsumsi energi, *EnergyPlus*, beban pendinginan, Intensitas Konsumsi Energi (IKE), CAV, VAV

Pembimbing Utama : Dr.Eng. M.Kholid Ridwan, S.T., M.Sc.

Pembimbing Pendamping : Sentagi Sesotya Utami, S.T., M.Sc., Ph.D.

## **ENERGY SYSTEM SIMULATION IN THE DESIGN OF CENTRAL LIBRARY UNIVERSITAS GADJAH MADA BUILDING L4 USING ENERGYPLUS**

By

Yulia Puspasari Handayani

11/319714/TK/38832

Submitted to the Department of Engineering Physics  
Faculty of Engineering Gadjah Mada University on April 8, 2016  
in partial fulfillment of  
Degree of Bachelor of Engineering in Engineering Physics

### **ABSTRACT**

Green building is a concept in designing , building , managing, and maintaining a building for the purpose of maintaining the health of residents, improve the productivity of building occupants and reduce the negative impact of buildings on the environment. This research aims to study the library building energy consumption in energy saving but still gives priority to convenience for its users. This research uses EnergyPlus version 8.1.0.009 for 64-bit to simulate Central Library Universitas Gadjah Mada Building L4 energy consumption. Data required by the simulation are building geometry, weather data and cooling load data. Geometry Data presented in three-dimensional models using Google SketchUp 8 software that includes OpenStudio.

Weather data that is utilized in this research is weather data for the Surakarta area. Cooling load data includes demands data of occupants, lighting systems and electric equipment systems.

Results of the simulation showed the amount of consumption of Central Library Universitas Gadjah Mada Building L4 is 941,19 GJ per year. The value of energy consumption intensity of Central Library Universitas Gadjah Mada Building L4 is 264,47 kWh/m<sup>2</sup>/year. The scenario to reduce building energy consumption in the Central Library Universitas Gadjah Mada Building L4 is by replacing the system of Constant Air Volume (CAV) into a Variable Air Volume (VAV) and replace the type of luminaire from fluorescent to LED. The savings obtained by 23,67%. Total cost of the use refrigerant and ducting for 1 year is IDR 78,356,000.

**Keywords:** green building, energy consumption simulation, EnergyPlus, cooling load , Energy Consumption Intensity, CAV, VAV

Supervisor : Dr.Eng. M.Kholid Ridwan, S.T., M.Sc.

Co- Supervisor : Sentagi Sesotya Utami, S.T., M.Sc., Ph.D.

## **BAB I**

### **PENDAHULUAN**

#### **I.1. Latar Belakang**

Bangunan berkontribusi lebih dari sepertiga emisi gas rumah kaca per tahunnya dan mengkonsumsi energi lebih dari 40% dari konsumsi energi dunia. Hal ini terjadi baik di negara maju maupun negara berkembang. Pada Laporan Penilaian Keempat, IPCC memperkirakan emisi gas rumah kaca pada bangunan adalah sekitar 8,6 juta metrik ton CO<sup>2</sup> tahun 2004.

*Green building* atau bisa disebut dengan bangunan hijau adalah suatu konsep dalam mendesain, membangun, mengelola, dan memelihara bangunan dengan tujuan untuk menjaga kesehatan penghuni, meningkatkan produktivitas penghuni bangunan, menggunakan bahan-bahan alam dengan baik, dan mengurangi dampak buruk bangunan terhadap lingkungan. *Green building* berfokus kepada desain, konstruksi, operasional, dan perawatan bangunan yang mengedepankan efisiensi tata letak dan pembangunan, efisiensi energi dan air, efisiensi sumber daya, kualitas udara di dalam ruangan, perawatan pemilik bangunan, dan dampak keseluruhan gedung terhadap lingkungan [8].

Perpustakaan merupakan sarana bagi mahasiswa ataupun pelajar untuk mendukung kegiatan belajar. Semakin tinggi aktivitas akademik mahasiswa ataupun pelajar maka semakin tinggi tuntutan akan fasilitas pada perpustakaan. Kenyamanan pengguna perpustakaan harus terpenuhi untuk mendukung semua aktivitas di dalamnya. Penelitian ini bertujuan untuk mengkaji konsumsi energi bangunan perpustakaan dalam penghematan energi tetapi tetap mengutamakan kenyamanan untuk penggunanya.

Audit energi bangunan dengan menggunakan simulasi perangkat lunak adalah salah satu cara untuk mengetahui bagaimana konsumsi energi bangunan dan mencari alternatif untuk mengurangi konsumsi energi agar memenuhi kriteria sebagai *green building*. Penelitian ini menggunakan perangkat lunak *EnergyPlus* yang memiliki keunggulan dibandingkan perangkat lunak simulasi energi lainnya.

Perangkat lunak simulasi energi akan memberikan keadaan termal bangunan berupa tempertaur udara, humiditas relatif ruangan dan akan memberikan profil

konsumsi energi dalam jangka waktu tertentu sekaligus memberikan perincian berdasarkan peralatan, seperti sistem tata udara, sistem tata cahaya dan peralatan listrik. Penggunaan simulasi juga dapat memberikan data dalam waktu dan kondisi tertentu pada kondisi maksimal ataupun minimal. Data keadaan termal yang disertai dengan data konsumsi energi sistem bangunan dapat digunakan untuk mengetahui kinerja bangunan dalam memberikan kenyamanan termal kepada penggunanya. Adanya data keadaan termal dan data konsumsi energi juga akan memudahkan identifikasi peluang-peluang penghematan energi.

Perpustakaan Pusat Universitas Gadjah Mada Gedung L4 merupakan bangunan yang dirancang sebagai salah satu bangunan hemat energi di Universitas Gadjah Mada. Bangunan ini dirancang menggunakan banyak kaca untuk memaksimalkan pencahayaan alami. Untuk itu dilakukan simulasi untuk mengetahui perkiraan konsumsi energi dan tingkat kenyamanan pada Perpustakaan Pusat Universitas Gadjah Mada, sehingga dapat dilakukan analisis peluang penghematan konsumsi energi pada bangunan tersebut.

## **I.2. Batasan Masalah**

1. Objek yang diteliti adalah rancangan Gedung L4 Perpustakaan Pusat Universitas Gadjah Mada.
2. Perangkat lunak yang digunakan untuk membuat model bangunan dalam penelitian ini adalah *Google SketchUp 8*.
3. Perangkat lunak yang digunakan untuk simulasi sistem energi dalam penelitian ini adalah *EnergyPlus 8.1.0.007 64-bit*.
4. Perangkat lunak yang digunakan sebagai antarmuka grafis pengguna (*graphical user interface*) bagi perangkat lunak *EnergyPlus* dalam penelitian ini adalah *OpenStudio 1.1.10*.
5. Analisis dan pembahasan hasil simulasi energi pada rancangan Gedung L4 Perpustakaan pusat Universitas Gadjah Mada hanya berdasarkan asumsi-asumsi yang diberikan dan berdasarkan keadaan operasional perpustakaan pusat Universitas Gadjah Mada pada saat penelitian.

### **I.3. Tujuan Penelitian**

1. Memperoleh perkiraan nilai konsumsi energi pada rancangan Gedung L4 Perpustakaan pusat Universitas Gadjah Mada dengan menggunakan *EnergyPlus* berdasarkan asumsi-asumsi yang diberikan.
2. Mengidentifikasi peluang penghematan energi berdasarkan parameter *Energy Efficiency and Conservation* pada *Rating Tool* GBCI.
3. Mengetahui penghematan energi yang dihasilkan dari penerapan skenario penghematan.
4. Memperoleh analisis biaya penggunaan komponen sistem tata udara dan tata cahaya.

### **I.4. Manfaat Penelitian**

1. Pengelola gedung yang dijadikan objek penelitian mendapatkan perkiraan data-data konsumsi energi.
2. Pengelola gedung mendapatkan gambaran awal penghematan energi.
3. Hasil penelitian dapat digunakan sebagai bahan acuan untuk penghematan energi.

## **BAB II**

### **TINJAUAN PUSTAKA**

#### **II.1. Audit Energi Bangunan**

Audit energi adalah proses evaluasi dan identifikasi peluang penghematan energi serta rekomendasi peningkatan efisiensi pada pengguna energi dan sumber energi dalam rangka konservasi energi. Tujuan dilakukan audit energi bangunan adalah untuk mengidentifikasi peluang-peluang penghematan energi dan menghasilkan rekomendasi langkah-langkah penghematan energi yang dapat ditindaklanjuti oleh pihak pengelola gedung yang akan dibangun [1]. Feni Wijiastuti (2014) melakukan penelitian pada Perpustakaan Pusat UGM sayap selatan (L1) dengan tujuan untuk mengetahui profil penggunaan energi dan tingkat kenyamanan dengan parameter suhu, kelembaban relatif dan tingkat pencahayaan berdasarkan standar yang telah ditetapkan [2].

#### **II.2. Simulasi Energi Bangunan**

Penggunaan perangkat lunak simulasi untuk mengetahui konsumsi energi bangunan telah dilakukan oleh sejumlah peneliti dari berbagai negara. Adanya berbagai perangkat lunak simulasi energi yang beredar di pasaran dengan kelebihan dan kekurangan masing-masing mengakibatkan adanya variasi perangkat lunak yang digunakan untuk simulasi energi bangunan. Agra Arie Munanda (2014) melakukan simulasi energi bangunan menggunakan *EnergyPlus* dengan studi kasus Gedung L1 Perpustakaan Pusat Universitas Gadjah Mada [3]. Laksana Gema Perdamaian (2012) melakukan simulasi bangunan menggunakan *EnergyPlus* dengan studi kasus Terminal 3 Bandara Soekarno-Hatta Jakarta [4]. Nanda Kania Pradita (2013) melakukan simulasi energi bangunan pada Ruang Rawat Inap Rumah Sakit Yadika Pondok Bambu, juga dengan *EnergyPlus* [5]. Dewati Widitama (2013) melakukan simulasi energi bangunan dengan menggunakan *EnergyPlus* pada bangunan Hotel Novotel Yogyakarta [6].

### **II.2.1. Tujuan Penggunaan Simulasi Energi Bangunan**

Simulasi energi bangunan merupakan sarana untuk mendapatkan profil konsumsi energi bangunan dalam rentang waktu tertentu. Data konsumsi energi bangunan dapat digunakan untuk berbagai tujuan. Agra Arie Munanda (2014) menggunakan simulasi energi bangunan untuk memperoleh nilai konsumsi energi, mengidentifikasi peluang penghematan energi dan mengetahui penghematan energi yang dihasilkan dari penerapan skenario penghematan pada Perpustakaan Pusat Universitas Gadjah Mada Gedung L1. Sementara itu, Laksana Gema Perdamaian (2012) menggunakan simulasi energi bangunan untuk mengetahui dinamika konsumsi energi bangunan serta melakukan audit energi berupa evaluasi berbagai macam alternatif konservasi energi dan dampaknya terhadap konsumsi energi keseluruhan bangunan. Nanda Kania Pradita (2013) menggunakan simulasi energi bangunan untuk memperoleh perkiraan nilai konsumsi energi dan informasi mengenai kenyamanan termal pada ruang rawat inap RS Yadika Pondok Bambu. Dewati Widitama (2013) melakukan simulasi energi bangunan untuk menganalisis nilai Intensitas Konsumsi Energi (IKE) pada lantai 1 bangunan dengan standar *GreenShip Rating Tools* dan mengevaluasi penerapan sistem *Variable Air Volume* pada bangunan eksisting.

### **II.2.2. Pemodelan Bangunan**

Penelitian yang melibatkan simulasi energi bangunan diawali dengan mendefinisikan bangunan yang dijadikan objek penelitian dari sisi keadaan lingkungan (direpresentasikan oleh data cuaca dan keadaan iklim), geometri dan sifat-sifat termal selubung bangunan, beban pendinginan internal dan sistem-sistem yang ada di dalam bangunan seperti sistem tata udara dan sistem tata cahaya.

Laksana Gema Perdamaian (2012) menggunakan data cuaca wilayah Jakarta. Model geometri bangunan dibuat dengan perangkat lunak *OpenStudio*. Beban pendinginan internal bangunan terdiri dari beban pendinginan dari penghuni, peralatan listrik, sistem tata cahaya dan sistem transportasi bangunan. Beban pendinginan bergantung kepada okupansi bangunan dan aktivitas yang dilakukan oleh penghuni. Beban pendinginan peralatan listrik, perangkat pencahayaan dan

sistem transportasi bangunan ditetapkan pada satu nilai tertentu. Deskripsi sistem tata udara memberikan informasi mengenai sistem HVAC yang digunakan.

Agra Arie Munanda (2014) menggunakan data cuaca wilayah Jakarta. Model geometri bangunan dibuat oleh perangkat lunak *OpenStudio*, meliputi selubung bangunan dan pembagian zona. Beban pendinginan internal terdiri dari beban pendinginan dari penghuni, sistem tata cahaya dan peralatan listrik. Sistem tata udara dideskripsikan secara rinci, antara lain dengan memberikan jenis sistem tata udara, jenis kipas, nilai COP, temperatur udara suplai dan penjadwalan operasi.

Nanda Kania Pradita (2013) menggunakan data cuaca wilayah Jakarta. Model geometri bangunan dibuat oleh perangkat lunak *OpenStudio*, meliputi selubung bangunan dan pembagian zona. Beban pendinginan internal terdiri dari beban pendinginan dari penghuni, sistem tata cahaya dan peralatan listrik. Sistem tata udara dideskripsikan secara rinci, antara lain dengan memberikan jenis sistem tata udara, jenis kipas, nilai COP, temperatur udara suplai, kelembaban relatif udara suplai dan penjadwalan operasi.

Dewati Widitama (2013) menggunakan data cuaca wilayah Jakarta. Model geometri bangunan dibuat oleh perangkat lunak *OpenStudio*, meliputi selubung bangunan dan pembagian zona. Beban pendinginan internal terdiri dari beban pendinginan dari penghuni, sistem tata cahaya dan peralatan listrik. Sistem tata udara dideskripsikan secara rinci, antara lain dengan memberikan jenis sistem tata udara, jenis kipas, nilai COP, temperatur udara suplai dan penjadwalan operasi.

### **II.2.3. *EnergyPlus***

*EnergyPlus* merupakan suatu program yang berakar dari program BLAST (*Building Loads Analysis and System Thermodynamics*) dan DOE-2 yang telah dikembangkan dan dirilis sejak 1980-an sebagai alat simulasi energi dan beban. Program simulasi ini bertujuan untuk menyesuaikan peralatan HVAC, mengembangkan analisis biaya operasi, dan mengoptimalkan kinerja energi pada bangunan. Konsumsi energi pada bangunan merupakan komponen utama penggunaan energi di Amerika, oleh karena itu *Department Energy of America* mengembangkan program tersebut guna memecahkan masalah penggunaan energi.

*EnergyPlus* adalah suatu program yang melakukan simulasi beban termal serta analisis energi berdasarkan deskripsi penggunaan bangunan, serta sistem mekanik-elektrik yang digunakan untuk pengkondisian udara dalam bangunan [7].

*EnergyPlus* mampu membuat perhitungan mengenai beban pemanasan dan pendinginan, kondisi HVAC, dan juga konsumsi energi dari peralatan-peralatan yang digunakan pada bangunan. Dapat dikatakan bahwa *EnergyPlus* ini merupakan program simulasi untuk merancang pemodelan suatu bangunan beserta penggunaan energi di dalamnya. Secara umum, *EnergyPlus* merupakan program integrasi dari BLAST dan DOE-2 dimana kedua program tersebut memiliki keunggulan dan kelemahan masing-masing, sehingga dengan dikembangkannya *EnergyPlus* ini menjadi program simulasi yang lengkap dan kompeten untuk melakukan simulasi energi pada bangunan dengan fitur-fitur yang modern. Selain itu, *EnergyPlus* juga dapat diintegrasikan dengan program-program lainnya, program integrasi ini dapat digunakan untuk melakukan deskripsi bangunan dan juga memvisualisasikan hasil perhitungan. *EnergyPlus* merupakan perangkat lunak yang tidak *user interface* sehingga untuk memudahkan dalam simulasi, dapat menggunakan perangkat lunak lain yang sudah direkomendasikan oleh tim pengembang *EnergyPlus* itu sendiri, seperti *Google SketchUp*, dengan plugin *OpenStudio* [7].

#### **II.2.4. *Google SketchUp***

*Google SketchUp* merupakan salah satu program integrasi *EnergyPlus* yang digunakan untuk membuat bentuk geometri suatu bangunan. Dengan perangkat lunak ini, pembentukan zona-zona pada suatu bangunan beserta permukaan (*surfaces*) dan juga penetrasi (jendela, pintu) dapat dibuat dengan mudah.

#### **II.2.5. *OpenStudio***

*OpenStudio* merupakan seluruh perangkat lunak yang mendukung pemodelan energi seluruh bangunan menggunakan *EnergyPlus*. Perangkat lunak ini memudahkan penggunaannya dalam membentuk zona-zona pada suatu bangunan beserta permukaannya dan juga penetrasinya pada saat pemodelan bangunan menggunakan *Google SketchUp*.

## **BAB III**

### **DASAR TEORI**

#### **III.1. *Green Building***

*Green building* atau bisa disebut dengan bangunan hijau adalah suatu konsep dalam mendesain, membangun, mengelola, dan memelihara bangunan dengan tujuan untuk menjaga kesehatan penghuni, meningkatkan produktivitas penghuni bangunan, menggunakan bahan-bahan alam dengan baik, dan mengurangi dampak buruk bangunan terhadap lingkungan. *Green building* berfokus kepada desain, konstruksi, operasional, dan perawatan bangunan yang mengedepankan efisiensi tata letak dan pembangunan, efisiensi energi dan air, efisiensi sumber daya, kualitas udara di dalam ruangan, perawatan pemilik bangunan, dan dampak keseluruhan gedung terhadap lingkungan [8]. Konsep ini diperluas dengan tetap memperhatikan aspek-aspek ekonomi, utilitas daya tahan dan juga kenyamanan.

Tujuan umum dari konsep *Green Building* adalah merancang bangunan yang dapat mengurangi dampak keseluruhan dari lingkungan yang dibangun pada kesehatan manusia dan lingkungan alam meliputi :

1. Efisiensi energi, air dan sumber daya lain
2. Kesehatan penghuni
3. Pengurangan limbah, polusi dan degradasi lingkungan

#### **III.2. Beban Pendinginan Selubung Bangunan**

Beban pendinginan eksternal atau beban pendinginan selubung bangunan adalah komponen beban pendinginan bangunan yang dipengaruhi oleh proses perpindahan panas dari atau ke lingkungan melalui selubung bangunan [3].

##### **III.2.1. Metode Keseimbangan Panas**

Metode keseimbangan panas adalah metode perhitungan beban panas sensibel yang mengaplikasikan hukum pertama termodinamika yaitu hukum kekekalan energi dan prinsip-prinsip aljabar matriks [9]. Hal yang paling mendasar

dari metode kesetimbangan panas adalah udara dalam zona termal dimodelkan tercampur merata (*well-stirred*) yang artinya udara dalam zona tersebut memiliki keseragaman temperatur. Asumsi berikutnya adalah bahwa permukaan ruangan (dinding, jendela, lantai dll) dapat diperlakukan sebagai entitas yang memiliki :

1. Suhu permukaan yang seragam
2. Keseragaman radiasi gelombang panjang dan gelombang pendek
3. Permukaan radiasi difus
4. Perpindahan panas secara konduksi satu dimensi

Perhitungan beban panas sensibel ruangan dengan metode kesetimbangan panas terdiri dari empat unsur yaitu : [7]

1. Kesetimbangan panas sisi luar (*outside-face heat balance*)
2. Proses konduksi panas pada dinding
3. Kesetimbangan panas sisi dalam (*inside-face heat balance*)
4. Kesetimbangan panas udara di dalam zona

### **III.2.1.1. Kesetimbangan Panas Sisi Luar (*Outside-face Heat Balance*)**

Kesetimbangan panas sisi luar terdiri dari empat gaya termal yang bekerja pada kontrol volume permukaan luar setiap dinding. Empat gaya tersebut harus menghasilkan gaya netto nol sesuai dengan prinsip kekekalan energi, dengan asumsi kontrol volume tidak memiliki massa sehingga tidak memiliki kemampuan untuk menyimpan energi [10]. Kesetimbangan panas sisi luar dapat dirumuskan secara matematis dengan persamaan 3.1 [9] :

$$q''_{asol} + q''_{LWR} + q''_{conv} + q''_{ko} = 0 \quad (3.1)$$

dengan

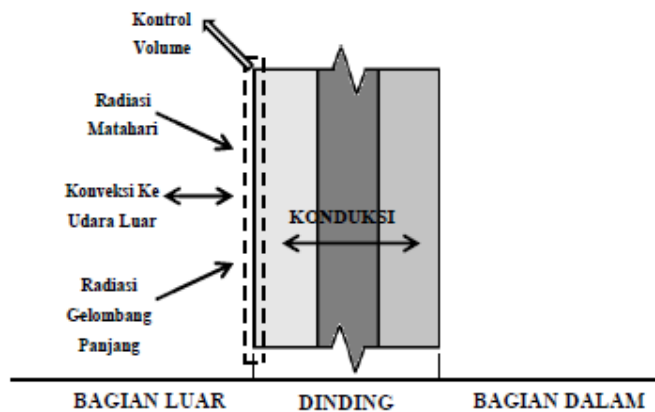
$q''_{asol}$  = fluks radiasi matahari langsung dan difusi yang diserap ( $q/A$ ) ( $W/m^2$ ),

$q''_{LWR}$  = pertukaran netto fluks radiasi gelombang panjang dengan udara dan lingkungan sekitar ( $W/m^2$ ),

$q''_{conv}$  = fluks pertukaran konveksi dengan udara luar ( $W/m^2$ ),

$q''_{ko}$  = fluks konduksi ( $q/A$ ) menuju dinding ( $W/m^2$ ).

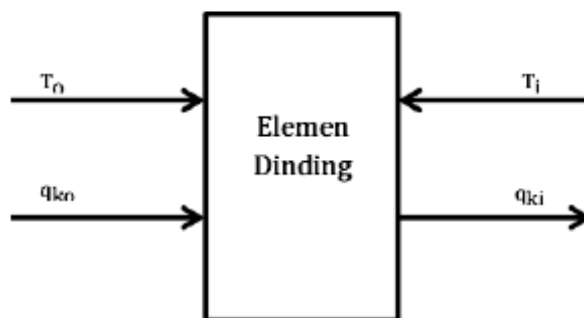
Semua variabel  $q''$  bernilai positif apabila fluks netto besaran yang bersangkutan menuju ke sisi luar selubung bangunan kecuali variabel fluks konduksi ( $q''_{ko}$ ). Fluks konduksi dianggap positif apabila fluks nettonya dari luar menuju ke dalam dinding. Skema kesetimbangan panas sisi luar dapat dilihat pada Gambar 3.1.



**Gambar 3.1.** Skema Kesetimbangan panas sisi luar

### III.2.1.2. Konduksi pada Dinding

Perpindahan panas konduksi pada dinding memasukkan sebagian dari unsur ketergantungan terhadap waktu (*time dependence*) yang inheren dalam perhitungan beban. Pada Gambar 3.2 memperlihatkan proses perpindahan panas konduksi pada dinding. Empat variabel yang terlibat adalah fungsi waktu. Proses konduksi menggunakan fungsi temperatur sebagai *input* dan fluks panas sebagai *output* [9].



**Gambar 3.2** Proses perpindahan panas konduksi pada dinding.

Perpindahan panas konduksi pada dinding atau selubung bangunan menghubungkan kesetimbangan panas sisi luar dan sisi dalam sehingga perpindahan panas konduksi mengatur beban pendinginan ruangan terhadap waktu. Perpindahan panas konduksi pada selubung bangunan dalam perangkat lunak simulasi energi bangunan menggunakan persamaan yang disebut dengan fungsi transfer konduksi (FTK) atau *conduction transfer function* (CTF).

FTK adalah fungsi deret waktu yang menghubungkan fluks perpindahan panas konduksi suatu lapisan dengan temperatur permukaan dan fluks panas yang sebelumnya. FTK pada lapisan dalam selubung bangunan menggunakan persamaan 3.2 [9].

$$q''_{ki}(t) = -Z_o T_{i,t} - \sum_{j=1}^{nz} Z_j T_{i,t-j\delta} + Y_o T_{o,t} + \sum_{j=1}^{nz} Y_j T_{o,t-j\delta} + \sum_{j=1}^{nq} \Phi_j q''_{ki,t-j\delta} \quad (3.2)$$

Sedangkan FTK untuk lapisan luar selubung bangunan menggunakan persamaan 3.3 [9].

$$q''_{ko}(t) = -Y_o T_{i,t} - \sum_{j=1}^{nz} Y_j T_{i,t-j\delta} + X_o T_{o,t} + \sum_{j=1}^{nz} X_j T_{o,t-j\delta} + \sum_{j=1}^{nq} \Phi_j q''_{ko,t-j\delta} \quad (3.3)$$

dengan

$X_j$  = FTK sisi luar,  $j= 0,1,\dots,nz$ ,

$Y_j$  = FTK di dalam selubung bangunan,  $j = 0,1,\dots,nz$ ,

$Z_j$  = FTK sisi dalam,  $j = 0,1,\dots,nz$ ,

$\Phi_j$  = FTK fluks,  $j = 1,2,\dots,nq$ ,

$\delta$  = langkah waktu (*time step*),

$T_i$  = temperatur sisi dalam ( $^{\circ}\text{C}$ ),

$T_o$  = temperatur sisi luar ( $^{\circ}\text{C}$ ),

$q''_{ki}$  = fluks perpindahan panas konduksi pada sisi dalam ( $\text{W}/\text{m}^2$ ),

$q''_{ko}$  = fluks perpindahan konduksi pada sisi luar ( $\text{W}/\text{m}^2$ ).

Subskrip yang diikuti dengan koma menunjukkan jangka waktu untuk besaran yang diungkapkan dengan langkah waktu (*time step*)  $\delta$ . Suku pertama pada deret telah dipisahkan dari suku-suku lainnya untuk memudahkan memecahkan temperatur saat ini (*current temperature*) pada skema penyelesaian. Batas penjumlahan  $n_z$  dan  $n_q$  bergantung pada konstruksi dinding dan skema yang digunakan untuk perhitungan FTK. Jika  $n_q = 0$ , maka secara umum FTK berlaku sebagai faktor tanggapan tetapi secara teori nilai  $n_z$  tak terhingga. Pada umumnya nilai  $n_z$  dan  $n_q$  ditetapkan untuk meminimalkan jumlah komputasi [9].

### III.2.1.3. Kesenjangan Panas Sisi Dalam (*Inside-face Heat Balance*)

Metode kesetimbangan panas adalah kesetimbangan panas internal yang melibatkan permukaan dalam dari selubung zona termal bangunan [9]. Kesenjangan panas sisi dalam memiliki enam gaya termal yang bekerja pada kontrol volume yang ada di permukaan tiap dinding zona. Enam komponen perpindahan panas ini saling terkait satu sama lain. Radiasi gelombang panjang maupun gelombang pendek sama pentingnya begitu pula konduksi dan konveksi ke udara luar. Kesenjangan panas sisi dalam menggunakan persamaan 3.4 [9].

$$q''_{LWX} + q''_{SW} + q''_{LWS} + q''_{ki} + q''_{sol} + q''_{conv} = 0 \quad (3.4)$$

dengan

$q''_{LWX}$  = netto pertukaran fluks radiasi gelombang panjang antar permukaan selubung zona ( $W/m^2$ ),

$q''_{SW}$  = fluks radiasi gelombang pendek dari cahaya ke permukaan ( $W/m^2$ ),

$q''_{LWS}$  = fluks radiasi gelombang panjang dari peralatan yang ada di dalam ruangan ( $W/m^2$ ),

$q''_{ki}$  = fluks perpindahan panas konduksi melalui dinding ( $W/m^2$ ),

$q''_{sol}$  = fluks transmisi radiasi matahari yang diserap pada permukaan ( $W/m^2$ ),

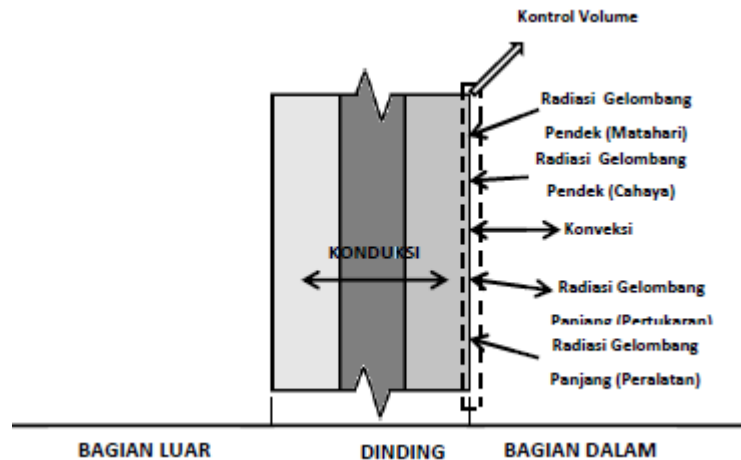
$q''_{conv}$  = fluks perpindahan panas konveksi menuju udara ruangan ( $W/m^2$ ).

Perhitungan pertukaran radiasi gelombang panjang antara permukaan zona termal ( $q''_{LWX}$ ) dapat dilakukan dengan memodelkan udara ruangan dengan dua keadaan, yaitu udara ruangan dimodelkan transparan sempurna melewati radiasi gelombang panjang dan udara ruangan dimodelkan menyerap radiasi gelombang panjang secara sempurna. Perangkat lunak *EnergyPlus* memodelkan komponen udara dalam kesetimbangan panas sisi dalam sebagai udara transparan [12]. Udara ruang yang dimodelkan transparan sempurna dianggap tidak berperan dalam pertukaran radiasi gelombang panjang antara permukaan yang ada di zona termal.

Radiasi gelombang pendek dari cahaya ( $q''_{sw}$ ) diasumsikan terdistribusi di permukaan dengan beberapa cara. Prosedur metode kesetimbangan panas menahan pendekatan ini tetapi memperbolehkan perubahan fungsi distribusi. Radiasi gelombang panjang dari sumber-sumber internal ( $q''_{LWS}$ ) pada umumnya dimodelkan dengan memisahkan panas radiasi dan konveksi yang dihasilkan oleh peralatan. Bagian panas radiasi terdistribusi di seluruh permukaan zona dengan beberapa cara.

Transmisi radiasi matahari yang diserap pada permukaan ( $q''_{sol}$ ) terdistribusi dengan cara yang ditentukan (*prescribed manner*). Perhitungan posisi aktual berkas cahaya matahari dapat dilakukan, namun hal ini melibatkan iradiasi parsial permukaan yang tidak konsisten dengan model zona yang lainnya, yang mengasumsikan keadaan seragam di semua permukaannya.

Perhitungan komponen perpindahan panas konveksi menuju udara ruangan ( $q''_{conv}$ ) yang banyak digunakan pada metode penentuan beban pendinginan atau pemanasan berbasis pada eksperimen ventilasi alami, sehingga ketika digunakan pada sistem yang memakai ventilasi mekanik, hasilnya tidak akurat. Skema kesetimbangan panas sisi dalam dapat dilihat pada Gambar 3.3.



**Gambar 3.3.** Skema kesetimbangan panas sisi dalam

#### III.2.1.4. Kesetimbangan Panas Udara Di Dalam Zona

Persamaan kesetimbangan panas yang ditujukan untuk menentukan beban pendinginan, kemampuan penyimpanan udara di dalam zona diabaikan sehingga perhitungan kesetimbangan panas diselesaikan dalam keadaan setimbang setiap periode waktu. Persamaan kesetimbangan panas di dalam zona ditunjukkan oleh persamaan 3.5 [9].

$$q''_{conv} + q''_{CE} + q''_{IV} + q''_{sys} = 0 \quad (3.5)$$

dengan

$q_{conv}$  = laju panas konveksi dari permukaan (W),

$q_{CE}$  = komponen laju panas konveksi dari beban internal (W),

$q_{IV}$  = beban sensibel yang disebabkan oleh udara infiltrasi dan ventilasi (W),

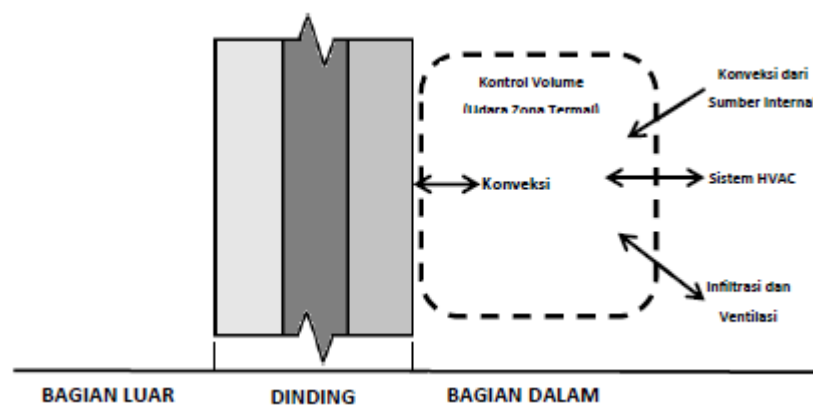
$q_{sys}$  = perpindahan panas dari atau ke sistem tata udara (W).

Konveksi panas dari permukaan ( $q_{conv}$ ) adalah jumlah seluruh variabel perpindahan panas konveksi yang terdapat dalam persamaan kesetimbangan panas sisi-dalam. Variabel ini berasal dari koefisien perpindahan panas konveksi pada permukaan. Komponen laju panas konveksi dari beban internal ( $q_{CE}$ ) berpasangan

dengan ( $q''_{LWS}$ ) pada persamaan (3.4). Komponen ini ditambahkan secara langsung pada perhitungan kesetimbangan panas udara zona. Hal ini melanggar prinsip pendekatan kesetimbangan panas karena permukaan yang menghasilkan panas mengalami pertukaran panas dengan udara di dalam zona melalui proses perpindahan panas konveksi. Namun hal ini secara umum tidak diperhatikan dalam perhitungan kesetimbangan panas sehingga  $q_{CE}$  ditambahkan secara langsung pada persamaan kesetimbangan panas udara zona.

Untuk menyesuaikan dengan model udara yang tercampur sempurna (*well-mixed*), udara yang memasuki zona secara langsung melalui infiltrasi atau ventilasi ( $q_{IV}$ ) akan secara langsung tercampur dengan udara zona. Udara yang masuk melalui infiltrasi atau ventilasi tidak tentu, dipengaruhi dengan perbedaan temperatur antara sisi luar atau dalam dan kecepatan angin. Namun komponen ini dapat ditetapkan pada nilai tertentu sehingga dapat ditambahkan secara langsung ke dalam persamaan.

Udara terkondisi yang masuk ke dalam zona dari sistem tata udara  $q_{sys}$  juga tercampur secara langsung dengan udara zona. Sistem tata udara komersial pada umumnya memberikan ventilasi dengan cara menyalurkan udara luar ke dalam zona sehingga udara ventilasi dianggap sebagai beban sistem bukan merupakan beban yang berkaitan langsung dengan ruangan. Skema kesetimbangan panas udara di dalam zona dapat dilihat pada Gambar 3.4.



**Gambar 3.4.** Skema kesetimbangan panas udara di dalam zona

### III.2.2. Overall Thermal Transfer Value (OTTV)

*Overall Thermal Transfer Value* (OTTV) adalah angka yang ditetapkan sebagai kriteria perancangan untuk selubung bangunan yang dikondisikan [24]. Selubung bangunan yang dimaksud adalah elemen bangunan yang menyelubungi bangunan gedung, diantaranya dinding luar termasuk kaca jendela serta atap tembus cahaya atau atap yang tidak tembus cahaya dimana sebagian besar energi termal berpindah melalui elemen-elemen tersebut. Untuk membatasi perolehan panas akibat radiasi matahari lewat selubung bangunan, maka ditentukan nilai perpindahan termal menyeluruh (OTTV) untuk selubung bangunan tidak melebihi 45 watt/m<sup>2</sup>. Berdasarkan SNI 03-6389-2000, Persamaan 3.6 berikut merupakan persamaan untuk menentukan nilai dari OTTV untuk setiap bidang dinding luar bangunan dengan orientasi tertentu. Sedangkan untuk setiap bidang dinding luar bangunan dengan orientasi tertentu dengan lebih dari satu jenis material penyusun dinding dapat dirumuskan pada Persamaan 3.7 [25].

$$OTTV = \alpha[U_w \times (1 - WWR) \times TD_{EK}] + (U_f \times WWR \times \Delta T) + (SC \times WWR \times SF) \quad (3.6)$$

$$OTTV = \left\{ \alpha_1 \left[ U_w \times \frac{A_1}{\sum A} (1 - WWR) \times TD_{EK} \right] \right\} + \left\{ \alpha_2 \left[ U_w \times \frac{A_2}{\sum A} (1 - WWR) \times TD_{EK} \right] \right\} + \dots + \left\{ \alpha_n \left[ U_w \times \frac{A_n}{\sum A} (1 - WWR) \times TD_{EK} \right] \right\} + (U_f \times WWR \times \Delta T) + (SC \times WWR \times SF) \quad (3.7)$$

dimana:

$OTTV$  = nilai perpindahan termal menyeluruh pada dinding luar yang memiliki arah atau orientasi tertentu (W/m<sup>2</sup>)

$\alpha$  = absorptansi radiasi matahari

$U_w$  = transmitansi termal dinding tidak tembus cahaya (W/m<sup>2</sup>.K)

$A_1$  = area dinding dengan material 1 (m<sup>2</sup>)

$A_2$  = area dinding dengan material 2 (m<sup>2</sup>)

$A_n$  = area dinding dengan material n (m<sup>2</sup>)

$\sum A$  = luas total area dinding luar bangunan pada orientasi tertentu (m<sup>2</sup>)

$WWR$  = perbandingan luas jendela dengan luas total dinding luar bangunan pada orientasi tertentu

- $TD_{EK}$  = beda temperatur ekuivalen (K)
- $SF$  = faktor radiasi matahari ( $W/m^2$ )
- $SC$  = koefisien peneduh dari sistem fenestrasi
- $U_f$  = transmitansi termal fenestrasi ( $W/m^2.K$ )
- $\Delta T$  = beda temperatur perencanaan antara bagian luar bangunan dan bagian dalam bangunan ( $\Delta T = 5 K$ )

Tabel 3.1 dan Tabel 3.2 berturut-turut berikut ini menyajikan nilai absorptansi radiasi matahari ( $\alpha$ ) untuk beberapa jenis cat permukaan dinding tak tembus cahaya dan nilai densitas bahan bangunan serta nilai konduktifitas termal bahan bangunan (K).

**Tabel 3.1.** Nilai Absorptansi Radiasi Matahari ( $\alpha$ ) untuk cat permukaan dinding luar [25]

Cat permukaan dinding luar	$\alpha$
Hitam merata	0,95
Pernis hitam	0,92
Abu-abu tua	0,91
Pernis biru tua	0,91
Cat minyak hitam	0,90
Coklat tua	0,88
Abu-abu / biru tua	0,88
Biru/hijau tua	0,88
Coklat medium	0,84
Pernis hijau	0,79
Hijau medium	0,59
Kuning medium	0,58
Hijau/biru medium	0,57
Hijau muda	0,47
Putih semi kilap	0,30
Putih kilap	0,25
Perak	0,25
Pernis putih	0,21

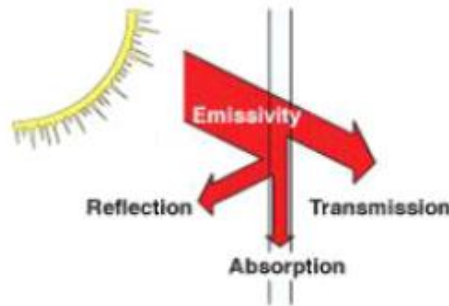
**Tabel 3.2.** Nilai Densitas Bahan Bangunan  
dan Konduktifitas Termal Bahan Bangunan (K) [25]

Bahan Bangunan	Densitas (kg/m <sup>3</sup> )	K (W/m.K)
Beton	2400	1,448
Beton ringan	960	0,303
Bata dengan lapisan plester	1760	0,807
Plesteran pasir-semen	1568	0,533
Kaca Lembaran	2512	1,053
Papan gypsum	880	0,170
Papan gypsum	880	0,170
Kayu lunak	608	0,125
Kayu keras	702	0,138
Kayu lapis	528	0,148
<i>Glasswool</i>	32	0,035
<i>Fiberglass</i>	32	0,035
Paduan aluminium	2672	211
Tembaga	8784	285
Baja	7840	47,6
Granit	2640	2,927
Marmar/terazo/keramik/mozaik	2640	1,298

### III.2.3. Beban Pendinginan Kaca Jendela

Gelombang elektromagnetik dalam radiasi matahari memiliki panjang gelombang yang berbeda-beda. Berdasarkan panjang gelombangnya, radiasi matahari dikelompokkan menjadi dua, yaitu radiasi gelombang panjang dan radiasi gelombang pendek. Radiasi gelombang panjang adalah gelombang inframerah sedangkan radiasi gelombang pendek adalah cahaya tampak dan gelombang ultraviolet.

Kaca jendela adalah bagian dari selubung bangunan yang menjadi pembatas antara ruang di dalam bangunan dan menjadi tempat perpindahan panas (energi) antara ruangan dengan lingkungan. Transfer energi radiasi pada kaca jendela dipengaruhi oleh empat hal, yaitu transmitansi (*transmittance*), reflektansi (*reflectance*), absorptansi (*absorptance*) dan emitansi (*emittance*) [14].



**Gambar 3.5.** Sifat kaca jendela yang mempengaruhi transfer energi [11].

Transmitansi adalah persentase radiasi yang dilewatkan oleh kaca jendela. Transmitansi didefinisikan untuk berbagai jenis gelombang cahaya atau energi, yaitu transmitansi cahaya tampak, transmitansi sinar UV atau transmitansi radiasi matahari keseluruhan. Reflektansi adalah kemampuan untuk memantulkan atau merefleksikan sebagian dari radiasi matahari yang diterima. Reflektivitas kaca dipengaruhi oleh material kaca, kualitas permukaan kaca, pelapis (*coating*) dan sudut datang cahaya. Reflektivitas kaca terlihat ketika kondisi mendekati gelap (*low light condition*). Emisivitas adalah kemampuan material untuk meradiasikan energi yang telah diserap. Pada umumnya kaca jendela mengemisikan atau meradiasikan panas dalam bentuk energi inframerah-jauh gelombang-panjang. Panjang gelombang inframerah-jauh bervariasi berdasarkan temperatur. Emisi panas radiasi adalah salah satu dari jalan perpindahan panas yang penting dari kaca. Untuk meningkatkan kemampuan insulasi kaca adalah dengan mengurangi kemampuan kaca dalam mengemisikan panas [11].

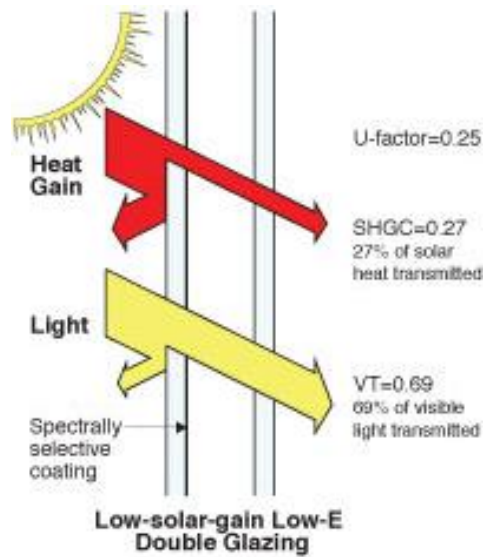
Terdapat empat sifat yang dapat dijadikan sebagai dasar mengkuantifikasi kinerja energi sebuah kaca, yaitu faktor-U, Koefisien Perolehan Panas Matahari atau *Solar Heat Gain Coefficient* (SHGC), transmitansi cahaya tampak atau *Visible Transmittance* (VT) dan kebocoran udara. Faktor-U adalah laju perpindahan panas keseluruhan atau nilai insulasi susunan kaca. SHGC adalah kemampuan susunan kaca untuk mengendalikan radiasi matahari langsung atau tidak langsung yang mengenai susunan kaca. Transmitansi cahaya tampak adalah sifat optis yang mengindikasikan jumlah cahaya tampak yang ditransmisikan oleh sebuah kaca.

Kebocoran udara pada umumnya terjadi pada kusen dan sambungan di sekitar kaca jendela [11].

Untuk memperbaiki nilai SHGC dan VT dengan cara memasang lapisan tambahan berupa film pada kaca. Film yang dipasang pada kaca disebut dengan *solar control window film*. *Solar control window film* dapat mengurangi perolehan panas dari radiasi matahari dengan refleksi dan absorpsi. Film kaca dapat digelapkan yang berguna untuk mengendalikan panas dan kesilauan dari radiasi matahari, namun film-film kaca dengan teknologi terbaru mampu memantulkan radiasi panas dengan tetap menjaga kebeningan kaca [11]

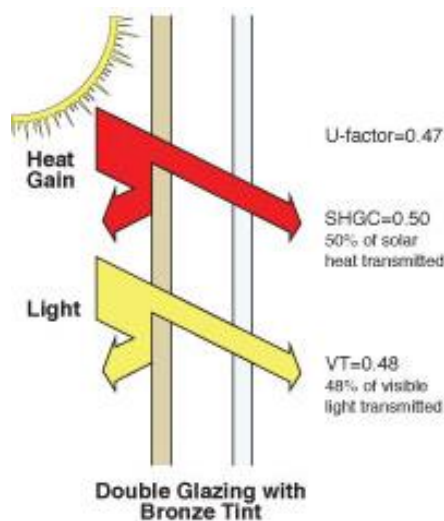
Nilai SHGC dan VT dapat diperbaiki supaya sesuai dengan kualifikasi bangunan dan keadaan lingkungan dengan cara menambahkan tiga hal pada kaca, yaitu lapisan rendah emisi (*low e-coating*), lapisan reflektif dan lapisan gelap (*tints*). Lapisan rendah emisi berfungsi untuk mengurangi emisivitas kaca sehingga meningkatkan kemampuan insulasi kaca. Reflektansi lapisan rendah emisi dapat dimanipulasi sehingga mengikutsertakan bagian dari spektrum cahaya tampak dan inframerah. Lapisan yang memiliki kemampuan ini disebut lapisan selektif spektral (*spectrally selected coating*). Lapisan ini dapat menyeleksi bagian tertentu dari spektrum energi sehingga panjang gelombang yang diinginkan akan ditransmisikan dan panjang gelombang yang tidak diinginkan akan dipantulkan. Lapisan gelap pada kaca (*tint*) berfungsi untuk mengurangi kesilauan dari lingkungan dan mengurangi jumlah energi matahari yang ditransmisikan melalui kaca sekaligus meningkatkan privasi. Kaca gelap tetap mempertahankan transparansi dari dalam ruangan sedangkan kecerahan pemandangan luar akan berkurang dan warna kaca berubah. Pada umumnya warna kaca gelap adalah warna abu-abu netral, perunggu dan biru-kehijauan.

Desain kaca gelap dibuat secara khusus untuk memaksimalkan absorpsi sebagian atau keseluruhan spektrum matahari, sehingga sering disebut sebagai penyerap panas. Energi matahari yang diserap akan berubah menjadi panas sehingga meningkatkan temperatur. Kaca yang berglasir tunggal, panas yang diserap akan berpindah ke dalam ruangan melalui radiasi dan konveksi, sehingga hanya akan terjadi sedikit pengurangan panas matahari [11].



**Gambar 3.6.** Jendela glasir ganda, lapisan rendah emisi dan rendah panas matahari

Solusi yang dapat diberikan dalam penggunaan kaca gelap adalah dengan menggunakan kaca ganda (*double glazing*). Kaca gelap diposisikan di bagian luar sehingga panas yang terserap harus melewati jeda antara kaca luar dan kaca dalam. Jeda ini pada umumnya diisi oleh gas yang memiliki nilai transfer panas yang rendah atau hampa udara sehingga akan menghambat perpindahan panas dari kaca luar.



**Gambar 3.7.** Kaca berglasir ganda dengan lapisan gelap warna perunggu

### **III.3. Beban Pendinginan Internal**

Beban pendinginan internal adalah beban pendinginan yang dipengaruhi oleh sumber-sumber panas yang ada di dalam bangunan. Beban pendinginan internal bangunan meliputi beban pendinginan penghuni (*occupant*), beban pendinginan sistem tata cahaya dan beban pendinginan peralatan listrik.

#### **III.3.1. Beban Pendinginan Penghuni (*occupant*)**

Beban pendinginan penghuni adalah beban pendinginan internal bangunan yang memiliki karakteristik tersendiri dibandingkan beban pendinginan internal yang lain. Beban pendinginan penghuni dipengaruhi oleh dua faktor yaitu, tingkat hunian (okupansi) dan aktivitas yang dilakukan oleh penghuni.

Bangunan berfungsi untuk memberikan kenyamanan bagi manusia yang berada di dalamnya. Faktor kenyamanan yang harus dipenuhi oleh bangunan adalah kenyamanan termal. Definisi kenyamanan termal adalah kondisi pikiran yang menyatakan kepuasan terhadap lingkungan termal (*thermal environment*) [9].

Aktivitas metabolisme manusia akan menghasilkan panas yang didisipasikan dan diatur untuk menjaga temperatur tubuh. Pembuangan panas yang kurang akan menyebabkan tubuh mengalami hipertermia, tetapi pembuangan panas dari tubuh yang berlebihan akan menyebabkan hipotermia. Panas yang dihasilkan dari aktivitas metabolisme menyebabkan keberadaan manusia di dalam bangunan mempengaruhi konsumsi energi bangunan secara keseluruhan. Laju panas yang dihasilkan oleh aktivitas metabolisme bergantung pada kegiatan yang dilakukan.

#### **III.3.2. Beban Pendinginan Sistem Tata Cahaya**

Salah satu faktor yang perlu mendapat perhatian dalam simulasi energi bangunan adalah sistem tata cahaya. Ketika beroperasi sistem tata cahaya tidak hanya mengonsumsi energi, tetapi juga menghasilkan panas yang akan menambah konsumsi energi listrik bangunan secara keseluruhan. Bagian sistem tata cahaya yang menghasilkan panas adalah yang menghasilkan cahaya yaitu lampu.

Konsumsi energi sistem cahaya berubah menjadi energi panas dalam tiga bagian, yaitu radiasi gelombang pendek, radiasi gelombang panjang dan konveksi.

Ketiga fraksi tersebut ada yang didistribusikan ke dalam ruangan (*space fraction*) dan ada pula yang didistribusikan ke dalam langit-langit sehingga berinteraksi dengan udara balik sistem tata udara (*plenum/return air fraction*). Pembagian fraksi panas yang dihasilkan oleh sistem tata cahaya dapat dihitung menggunakan persamaan 3.8 berikut, [12]

$$f_{conv} = 1,0 - (f_{ret} + f_{lw} + f_{sw}) \quad (3.8)$$

dengan

$f_{conv}$  = fraksi panas yang didistribusikan secara konveksi

$f_{ret}$  = fraksi panas yang diserap oleh udara balik

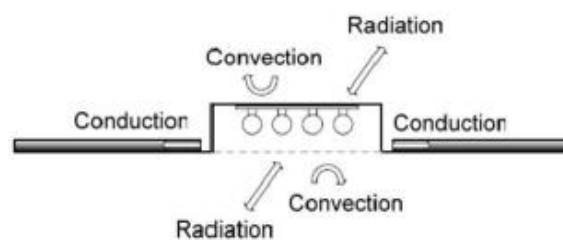
$f_{lw}$  = fraksi radiasi gelombang panjang

$f_{sw}$  = fraksi radiasi gelombang pendek

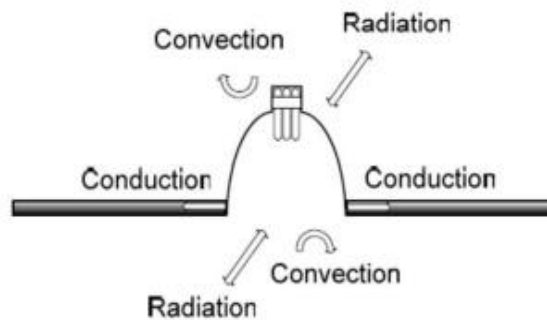
Nilai  $f_{ret}$ ,  $f_{lw}$  dan  $f_{sw}$  bervariasi bergantung pada jenis lampu atau *luminaire*.

### III.3.2.1. Luminaire

*Luminaire* adalah unit lengkap pencahayaan, yang terdiri dari satu atau lebih lampu bersamaan dengan soket dan bagian lain yang memegang lampu dan melindunginya, kabel yang menghubungkan lampu ke sumber listrik, dan reflektor yang membantu langsung dan mendistribusikan cahaya. Jenis-jenis *luminaire* dalam penelitian Fisher dan Chantrasrisalai dikelompokkan menjadi tiga kategori, yaitu *recessed luminaire*, *downlight luminaire* dan *non-in-ceiling luminaire* seperti yang ditunjukkan pada Gambar 3.8 dan 3.9. [17]



**Gambar 3.8.** *Recessed luminaire*

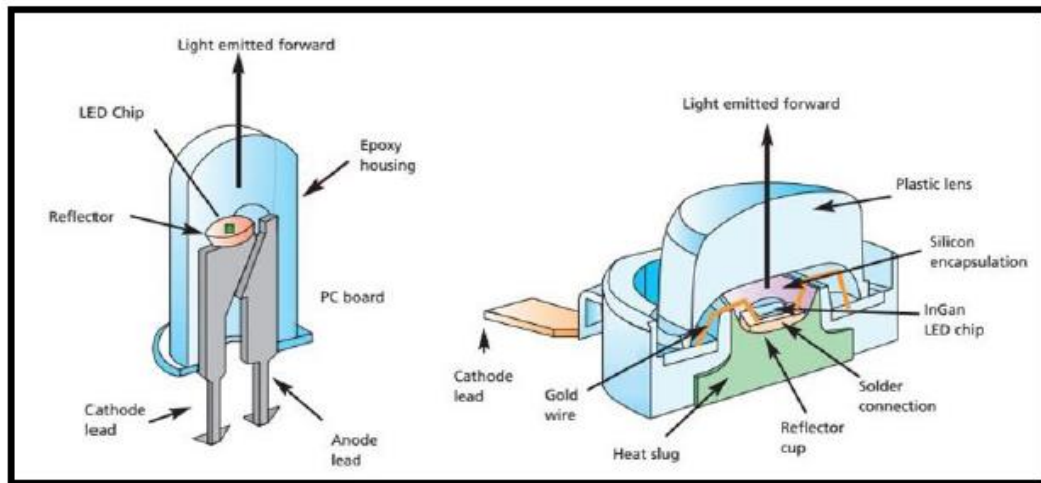


**Gambar 3.9.** *Downlight luminaire*

*Non-in-ceiling* adalah jenis *luminaire* yang tidak menempel pada langit-langit ruangan.

### III.3.2.2. Lampu LED (*Light Emitting Diode*)

Lampu LED menghasilkan cahaya melalui *electroluminescence* ketika tegangan rendah dengan arus searah diberikan ke kristal *solid-state*. Lampu LED dapat dibagi menjadi dua tipe berdasarkan kekuatan dan ukurannya, yaitu: LED berkekuatan rendah dan LED berkekuatan tinggi. Gambar 3.10 menunjukkan konstruksi dari kedua jenis LED [18]. LED umumnya memiliki umur yang panjang dan dapat bertahan sampai 100.000 jam dengan efisiensi yang lebih tinggi dibanding lampu neon. Lampu LED yang akan diterapkan dalam skenario penghematan energi pada Perpustakaan Pusat UGM Gedung L4 adalah jenis lampu LED Phillips Tube T8-18 Watt.



**Gambar 3.10.** Konstruksi dari LED kekuatan rendah (kiri) dan kekuatan tinggi (kanan)

### III.3.2.3. Kalkulasi Jumlah Lampu Untuk Suatu Ruangan

Dalam merencanakan instalasi pencahayaan suatu ruangan, kita membuat kalkulasi untuk menghitung atau memperkirakan berapa banyak lampu yang dibutuhkan supaya tingkat penerangan rata-rata dapat dicapai, atau apakah jumlah dan tata letak lampu dapat menghasilkan tingkat penerangan rata-rata yang memadai.. Untuk mengetahui jumlah unit lampu ( $N$ ) yang dibutuhkan suatu ruangan sesuai dengan intensitas cahaya yang telah ditetapkan, dengan menggunakan persamaan 3.9 berikut : [19]

$$N \text{ (unit)} = \frac{E \cdot A}{n \times \emptyset \times kp \times kd} \quad (3.9)$$

dengan:

$E$  = Tingkat penerangan yang dikehendaki (lux),

$A$  = Luas ruangan ( $m^2$ ),

$N$  = Jumlah *armature* yang diperlukan,

$n$  = Jumlah lampu per *armature* ,

$\emptyset$  = Total lumen lampu (lm) ,

$kp$  = koefisien penggunaan,

$kd$  = koefisien depresiasi (penyusutan) ,

### III.3.3. Beban Pendinginan Peralatan Listrik

Konsumsi energi dari peralatan listrik berubah menjadi energi panas dan kerja. Energi yang berubah menjadi energi panas terbagi dalam tiga bagian, yaitu dalam bentuk panas laten, radiasi gelombang dan konveksi. Pembagian energi yang dikonsumsi oleh peralatan listrik dapat dihitung menggunakan persamaan 3.10 berikut, [12]

$$fcv = 1,0 - (fl + fr + fw) \quad (3.10)$$

dengan

- $fcv$  = fraksi panas yang didistribusikan secara konveksi
- $fl$  = fraksi panas laten
- $fr$  = fraksi panas radiasi
- $fw$  = fraksi energi yang berubah menjadi kerja

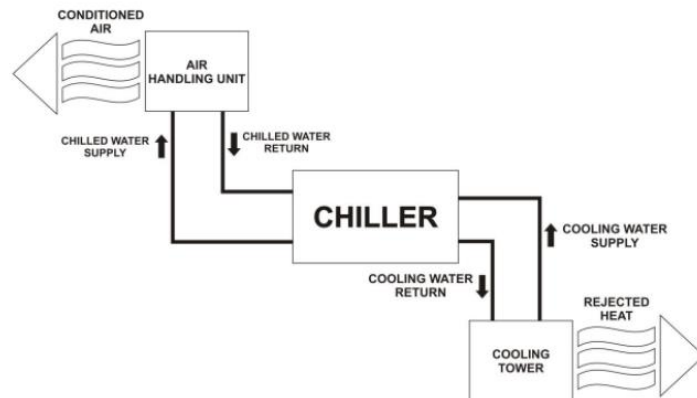
### III.4. Sistem Tata Udara

Sistem tata udara atau yang sering disebut dengan HVAC merupakan singkatan dari *Heating, Ventilating and Air Conditioning*. HVAC adalah proses pengkondisian udara yang meliputi pemanasan (*heating*), pendinginan (*cooling*), humidifikasi (*humidifying*), dehumidifikasi (*dehumidifying*), pembersihan (*cleaning*), ventilasi (*ventilating*) dan pergerakan udara (*air movement*) [13]. Sistem pengkondisian ini bertujuan untuk mengontrol dan mempertahankan suhu, kelembaban udara, gerakan udara, kebersihan udara, tingkat suara dan tekanan diferensial di dalam ruang sesuai dengan batas-batas yang telah ditentukan untuk kenyamanan dan kesehatan penghuni ruang yang dikondisikan dalam beraktivitas produktif. Kenyamanan termal bagi penghuni didasari oleh dua hal, yaitu suhu dan kelembaban. Ada rentang nilai tertentu yang harus dipenuhi agar kenyamanan termal bagi penghuni dapat terpenuhi. Manusia akan merasakan kenyamanan secara termal jika suhu ruangan antara 20°C – 26°C, dengan kelembaban 45% - 55% dan kecepatan udara 0,25m/s.

Menurut penggunaannya, pengkondisian udara dikelompokkan menjadi dua macam, yaitu pengkondisian udara proses (*process air conditioning*) dan pengkondisian udara kenyamanan (*comfort air conditioning*) [14]. Pengkondisian udara proses meliputi pengkondisian udara yang diaplikasikan di industri, seperti industri elektronik dan pangan, sedangkan pengkondisian udara kenyamanan meliputi pengkondisian udara yang diaplikasikan di bangunan atau transportasi untuk memperoleh kenyamanan termal bagi penghuni. Sistem pengkondisian udara industri dirancang untuk memperoleh suhu, kelembaban dan distribusi udara yang sesuai dengan proses serta penggunaan peralatan di dalam ruangan.

Ditinjau dari konstruksinya, sistem pengkondisian udara dibagi menjadi dua kelompok, yaitu sistem pengkondisian udara lokal dan sistem pengkondisian udara terpusat. Pada sistem pengkondisian udara lokal, pendinginan secara langsung dilakukan oleh refrigerant yang diekspansikan melalui koil pendingin, sedangkan udara disirkulasikan dengan cara menghembuskan menggunakan blower/fan meliputi koil pendinginan tersebut. Sistem ini biasanya dipergunakan untuk beban pendinginan udara yang tidak terlalu besar dan banyak digunakan di sektor residensial sedangkan sistem pengkondisian udara terpusat banyak digunakan di bangunan-bangunan besar seperti pusat perbelanjaan, gedung perkantoran dan bandara.

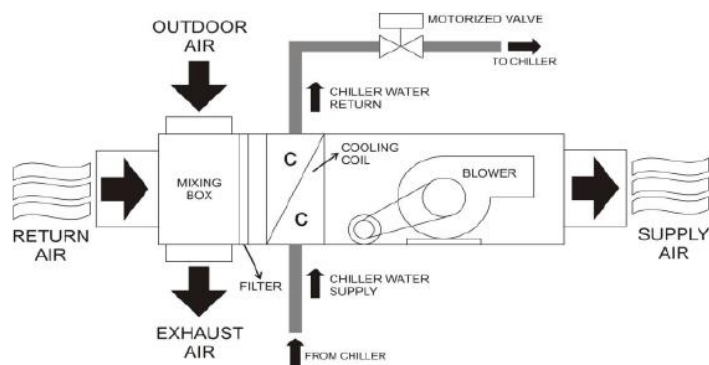
Sistem pengkondisian terpusat pada umumnya berupa sistem pengkondisian udara hidronik terpusat (*central hydronic air conditioning system*). Sistem ini memanfaatkan air untuk mendistribusikan panas dari atau ke dalam ruangan. Sistem pengkondisian udara terpusat terdiri atas tiga komponen utama, yaitu sistem udara (*air system*), sistem air (*water system*) dan mesin pusat (*central plant*). Sistem pengkondisian udara terpusat ditunjukkan oleh Gambar 3.11.



**Gambar 3.11.** Sistem Pengkondisian Udara Terpusat [16]

Sistem tata udara atau sering disebut dengan air handling system memiliki tugas untuk mengkondisikan, mengantarkan dan mendistribusikan udara yang telah terkondisi, udara balik (resirkulasi), udara luar, udara buang dan untuk mengendalikan lingkungan ruangan berdasarkan kebutuhan [15].

*Air Handling Unit* (AHU) atau unit penanganan udara adalah peralatan yang bertanggung jawab untuk menangani sistem udara. AHU pada umumnya terdiri atas kipas suplai, filter, koil pendingin, koil pemanas, ruang pencampuran (*mixing box*) dan aksesoris lain. AHU berfungsi untuk mengkondisikan udara luar dan udara balik (resirkulasi), memasok udara terkondisi ke ruangan dan memindahkan udara balik dari ruangan melalui saluran udara (*duct*) dan perangkat difusi [14]. Skema AHU ditunjukkan oleh Gambar 3.12.



**Gambar 3.12.** Skema AHU [16]

Kotak terminal merupakan komponen lain dalam sistem tata udara yang terdiri atas sebuah kipas kecil dengan atau tanpa koil pemanas yang bertugas untuk menarik atau menghisap udara dari ruang kosong di langit-langit (*ceiling plenum*) dan mencampurkannya dengan udara terkondisi dari AHU kemudian mendistribusikan udara yang telah tercampur tersebut ke dalam ruangan. Kotak terminal ada dua jenis berdasarkan volume udara yang disuplai yaitu *Constant Air Volume* (CAV) dan *Variable Air Volume* (VAV).

Sistem air terdiri atas sistem air dingin dan air panas, pompa air dingin dan air panas, sistem air kondensor dan pompa air kondensor. Sistem air yang hanya ada sistem air dingin (*chilled water*) ada pada bangunan yang terletak di daerah beriklim tropis. Sistem air bertugas untuk memindahkan air dingin dari mesin pusat (*central Plant*) ke AHU dan memindahkan air kondensor dari menara pendingin ke kondensor yang terdapat di dalam mesin pusat. Pada sistem yang hanya terdapat sistem air dingin, mesin pusat hanya berupa mesin pendingin (*chiller*) [14].

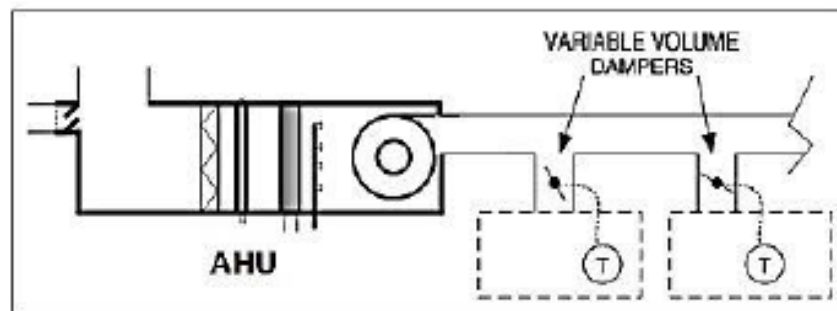
Air dingin memindahkan panas dari ruangan dengan cara , air dingin akan didinginkan oleh mesin pendingin kemudian didistribusikan melalui pipa menuju koil pendingin yang terdapat di berbagai perangkat AHU. Temperatur air yang meninggalkan koil pendingin akan meningkat setelah menyerap panas dari aliran udara di dalam AHU yang melewati koil. Selanjutnya, air dingin dialirkan ke dalam mesin pendingin untuk didinginkan kembali. Sementara itu, aliran air kondensor bertugas untuk memindahkan panas dari mesin pendingin dengan cara mengambil panas dari kondensor mesin pendingin kemudian dibuang melalui menara pendingin [3].

#### **III.4.1. Sistem *Constant Air Volume* (CAV)**

CAV adalah sistem tata udara yang mendistribusikan udara terkondisi dari chiller pada temperatur tertentu. Temperatur tersebut didesain untuk beban pendinginan maksimum di semua zona. Volume udara yang didistribusikan untuk setiap zona adalah konstan sehingga zona dengan perubahan beban pendinginan yang fluktuatif menjadi tidak efektif dan efisien terhadap penggunaan sistem CAV [13].

### III.4.2. Sistem *Variable Air Volume* (VAV)

Sistem tata udara VAV didesain dengan damper pengontrol volume udara suplai yang dikontrol oleh termostat yang berada di ruangan atau zona yang disuplai. Damper pengontrol bekerja seperti katup yang mengatur besar volume udara suplai ke zona. Sistem VAV dapat menyesuaikan kerjanya dengan beban pendinginan yang bervariasi pada zona berbeda dengan katup damper yang bekerja masing-masing di tiap zona [3]. Skema sederhana VAV ditunjukkan pada Gambar 3.13.



**Gambar 3.13.** Sistem *Variable Air Volume*

### III.4.3. Refrigeran

ASHRAE (2005) mendefinisikan refrigeran sebagai fluida kerja di dalam mesin refrigerasi, pengkondisian udara, dan sistem pompa kalor. Refrigeran menyerap panas dari suatu lokasi dan membuangnya ke lokasi yang lain, melalui proses evaporasi dan kondensasi [8].

Calm (2002) membagi perkembangan refrigeran dalam tiga periode yaitu periode pertama (1830-an hingga 1930-an) dengan kriteria refrigeran apapun yang bekerja di dalam mesin refrigerasi [20], yaitu CO<sub>2</sub>, NH<sub>3</sub>, SO<sub>2</sub>, hidrokarbon, H<sub>2</sub>O, CCl<sub>4</sub>, dan CHCs. Sedangkan periode kedua (1930-an hingga 1990-an) dengan kriteria refrigeran yang aman dan tahan lama, yaitu HFCs, NH<sub>3</sub>, dan H<sub>2</sub>O. Pada periode ketiga (setelah tahun 1990-an) dengan kriteria refrigeran yang ramah lingkungan, yaitu HCFCs, NH<sub>3</sub>, HFCs, H<sub>2</sub>O, dan CO<sub>2</sub>. Titik didih refrigeran merupakan indikator yang menyatakan apakah refrigeran dapat menguap pada

temperatur rendah yang diinginkan, tetapi pada tekanan yang tidak terlalu rendah. Refrigeran R-12, R-22, R-500, R-502, dan ammonia dapat dipakai untuk daerah suhu yang luas, dari segi keperluan pendinginan udara sampai refrigerasi.

Pemilihan refrigeran dibuat berdasarkan atribut kerja dan lingkungan. Atribut kerja refrigeran adalah sifat yang berkaitan dengan penggunaan refrigeran. Sifat ini antara lain COP, efek pendinginan, serta tekanan kondensasi dan evaporasi. Sifat-sifat tersebut dibandingkan oleh beban kerja sama, suhu evaporasi sama atau suhu kondensasi sama. Tabel 3.3 menampilkan atribut kerja beberapa refrigeran pada suhu kondensasi 300°C dan suhu evaporasi 150°C.

**Tabel 3.3. Atribut Kerja Refrigeran [21]**

Refrigeran	Tekanan Evaporasi (kPa)	Tekanan Kondensasi (kPa)	Rasio Tekanan	Efek Refrigerasi (kJ/kg)	Laju aliran masa per kW refrigerasi (l/detik)	COP
R-11	20,4	125,5	6,15	155,4	4,9	5,03
R-12	182,7	744,6	4,08	116,3	0,782	4,70
R-22	295,8	1192,1	4,03	162,8	0,476	4,66
R502	349,6	1308,6	3,74	106,2	0,484	4,37
R-707	236,5	1166,6	4,93	1103,4	0,462	4,76

Atribut lingkungan berhubungan dengan reaksi refrigeran saat terlepas ke atmosfer. Terdapat tiga jenis atribut yang dikenal, yaitu GWP (*Global Warming Potential*), ODP (*Ozone Depletion Potential*) dan tahun atmosferik. ODP merupakan nilai yang menunjukkan potensi suatu jenis refrigeran terhadap kerusakan ozon dan GWP merupakan nilai yang menunjukkan potensi suatu jenis refrigeran terhadap pemanasan global [22]. Nilai potensial *global warming* polutan atau gas rumah kaca ditunjukkan pada Tabel 3.4. Nilai potensial *global warming* menunjukkan seberapa besar kontribusi suatu massa polutan tertentu terhadap pemanasan global selama periode tertentu dibandingkan dengan kontribusi karbondioksida dengan massa yang sama [23].

**Tabel 3.4.** Nilai GWP, ODP dan tahun atmosferik refrigeran primer

Refrigeran	GWP	ODP	Tahun Atmosferik
Karbon dioksida (CO <sub>2</sub> )	1	0	50-200
Metana (CH <sub>4</sub> )	21	0	12 ± 3
Nitrous Oksida (N <sub>2</sub> O)	310		
CFC-12 (CCl <sub>2</sub> F <sub>2</sub> )/R-144	6.200-7.100		
R502	5.600	0,283	
Perfluorometana (CF <sub>4</sub> )	6.500		
Sulfur Heksa Flourida (SF <sub>6</sub> )	23.900		
R-11	4.000	1,0	50 ± 5
R-717 (Ammonia)	Tidak ada	0	
HCFC-22 (CHClF <sub>2</sub> )/R-22	1.300-1.400	0,055	13,3

#### III.4.4. Instalasi Saluran Udara (*Ducting*)

Fungsi dari *Ducting* adalah untuk mendistribusikan udara di dalam gedung terdapat berbagai macam *ducting* dalam penggunaannya, fungsi sebagai *supply* udara dingin ke ruang yang dikondisikan (*supply air*), *ducting* yang berfungsi sebagai *supply* dari udara luar (*fresh air*) dan ada pula *ducting* yang berfungsi untuk membuang udara dari dalam ke luar (*exhaust air*) secara fisik bentuk *ducting supply air* ini berinsulasi karena untuk mempertahankan udara dingin yang didistribusikan tidak terbuang, sedangkan untuk *ducting fresh air* dan *exhaust air* ini tidak menggunakan insulasi, lapisan dari insulasi ini antara lain : *Glasswool*, *Aluminium Foil*, *Spindle pin*/pengikat/tali/flinkote. Sedangkan untuk lapisan *ducting* didekat unit AC Indoor (untuk sistem AC Split) atau Unit AHU (Untuk sistem *central*) biasanya bagian dalamnya menggunakan *Glasswool* dan *glassclotch*, untuk meredam bunyi bising dari unit. Bahan yang digunakan untuk *ducting* itu sendiri bermacam-macam, ada yang terbuat dari bahan PVC, mild steel, BJLS (baja lapis seng), PU (*Polyurethane*), untuk *ducting* yang terbuat dari bahan PU tidak perlu menggunakan lapisan luar karena lapisannya sudah tersedia dari pabrikan hanya untuk lapisan dalamnya saja yang terdapat didekat unit menggunakan *glassclotch*.

Secara umum *ducting* yang banyak digunakan adalah jenis *ducting* BJLS (Baja Lapis Seng) terdapat berbagai macam ukuran BJLS dan penggunaan ukuran pada *ducting* berikut ini beberapa ukurannya :

1. BJLS 50 untuk ukuran *ducting* (mm): 0-300
2. BJLS 60 untuk ukuran *ducting* (mm) : 350-700
3. BJLS 80 untuk ukuran *ducting* (mm) : 750-1200
4. BJLS100 untuk ukuran *ducting* (mm) : 1200-1900
5. BJLS120 untuk ukuran *ducting* (mm) : 1900-2400
6. BJLS140 untuk ukuran *ducting* (mm) : 2400

## BAB IV

### PELAKSANAAN PENELITIAN

#### IV.1. Alat dan Data Penelitian

Pada bagian ini akan dijelaskan alat dan bahan yang digunakan untuk melakukan penelitian

##### IV.1.1. Alat

Alat-alat yang digunakan dalam penelitian ini dapat dilihat pada Tabel 4.1.

**Tabel 4.1.** Alat-alat yang digunakan

No	Alat	Spesifikasi	Fungsi
1	Laptop	ASUS A455L Sistem Operasi (OS) : Windows 8.1 Pro 64-bit Processor : Intel Core i5-5200U CPU @2,19 GHz Memory : 4,00 GB	Untuk pembuatan model penelitian, pengolahan , penyimpanan data serta simulasi.
2	Perangkat Lunak	<i>Google SketchUp 8</i>	Untuk Membuat model bangunan
		<i>Open Studio</i>	Sebagai Antar muka grafis pengguna bagi perangkat lunak <i>EnergyPlus</i>
		<i>Microsoft Word 2013</i>	Untuk penulisan laporan penelitian
		<i>Microsoft Excel 2013</i>	Untuk pengolahan data kuantitatif
		<i>EnergyPlus</i>	Untuk melakukan simulasi

#### IV.1.2. Data Penelitian

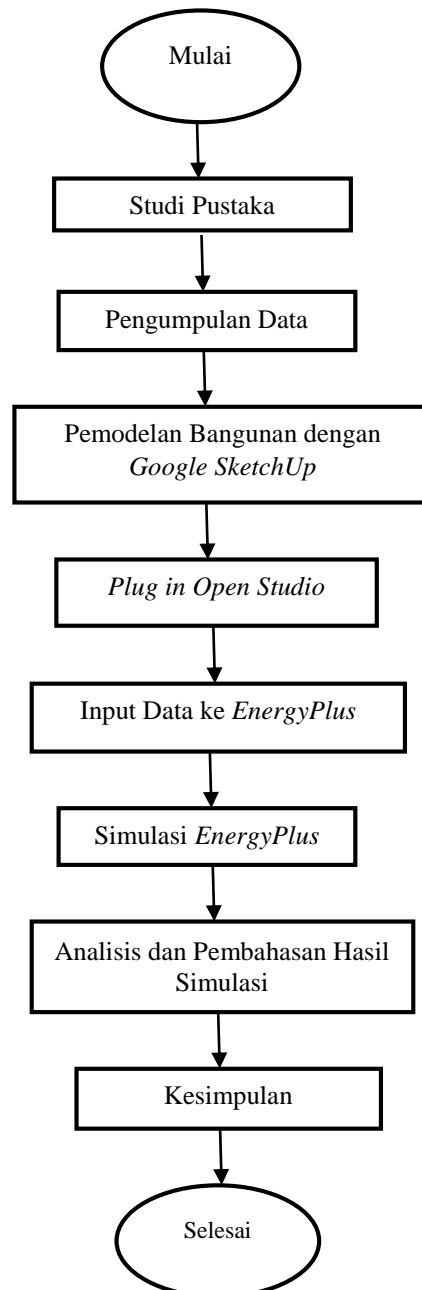
Data yang digunakan dalam penelitian ini diperoleh dari berbagai sumber seperti ditunjukkan pada Tabel 4.2.

**Tabel 4.2** Bahan Penelitian

No	Bahan	Sumber
1	Gambar Tata Letak bangunan Perpustakaan Pusat UGM gedung L4	Renbang
2	Gambar potongan bangunan Perpustakaan Pusat UGM gedung L4	Renbang
3	Gambar instalasi saluran AC bangunan Perpustakaan Pusat UGM gedung L4	Renbang
4	Gambar instalasi pencahayaan bangunan Perpustakaan Pusat UGM gedung L4	Renbang
5	Data peralatan listrik	Perpustakaan Pusat UGM
6	Data cuaca wilayah Surakarta	Forum Grup Yahoo <i>EnergyPlus</i>

## IV.2. Tata Laksana Penelitian

Penelitian ini dilakukan dengan beberapa tahap, seperti dijabarkan pada Gambar 4.1.



**Gambar 4.1.** Diagram Alir Penelitian

#### **IV.2.1. Studi Pustaka**

Studi pustaka didapatkan dari penelitian-penelitian sebelumnya yang membahas tentang aplikasi simulasi energi pada bangunan dan juga mengenai audit bangunan. Studi pustaka pada penelitian ini mengambil lima penelitian Tugas Akhir. Kelima penelitian tersebut mewakili tiga tema yang berhubungan dengan penelitian ini.

Tema pertama mengenai audit energi bangunan. Pengambilan tema ini bertujuan untuk mengetahui hasil audit energi secara manual.

Tema kedua tentang aplikasi perangkat lunak *EnergyPlus* dengan studi kasus sebuah bangunan. Pengambilan tema ini bertujuan untuk mengetahui metode yang digunakan dalam mengaplikasikan perangkat lunak simulasi energi suatu bangunan.

Tema ketiga mengenai skenario penghematan konsumsi energi suatu bangunan. Pengambilan tema ini bertujuan untuk mengetahui peluang-peluang penghematan konsumsi energi pada suatu bangunan.

#### **IV.2.2. Pengumpulan Data**

Data yang diperlukan untuk penelitian adalah data yang berkaitan dengan kinerja energi bangunan supaya dapat memberikan hasil simulasi yang menggambarkan perilaku sistem. Data yang diperlukan meliputi bentuk geometri bangunan, konstruksi selubung bangunan, beban internal dan sistem tata udara, serta data besarnya konsumsi energi listrik pada Perpustakaan Pusat Universitas Gadjah Mada. Sumber pengumpulan data penelitian ini adalah sebagai berikut:

1. Cetak Biru

Cetak biru (*blueprint*) yang digunakan sebagai sumber data untuk penelitian ini meliputi bentuk geometri bangunan dan sistem elektrikal-mekanikal. Cetak biru geometri bangunan meliputi tata letak bangunan (*layout*) dan gambar potongan. Cetak biru sistem elektrikal-mekanikal meliputi tata letak saluran udara (*ducting*) serta tata letak sistem tata cahaya dan jaringan listrik.

## 2. Wawancara

Wawancara dilakukan untuk memperoleh data yang tidak diperoleh dari cetak biru seperti aktivitas dan jumlah pengunjung perpustakaan setiap harinya.

## 3. Internet

Internet digunakan untuk mencari spesifikasi peralatan listrik yang digunakan di Perpustakaan Pusat Universitas Gadjah Mada. Selain itu, internet juga berfungsi untuk mencari spesifikasi detail untuk material dan konstruksi bangunan. Sebagian spesifikasi tidak memenuhi variabel data input yang diperlukan oleh *EnergyPlus*, dengan demikian untuk variabel input yang tidak didapatkan diganti dengan data bawaan (*default*) dari perangkat lunak.

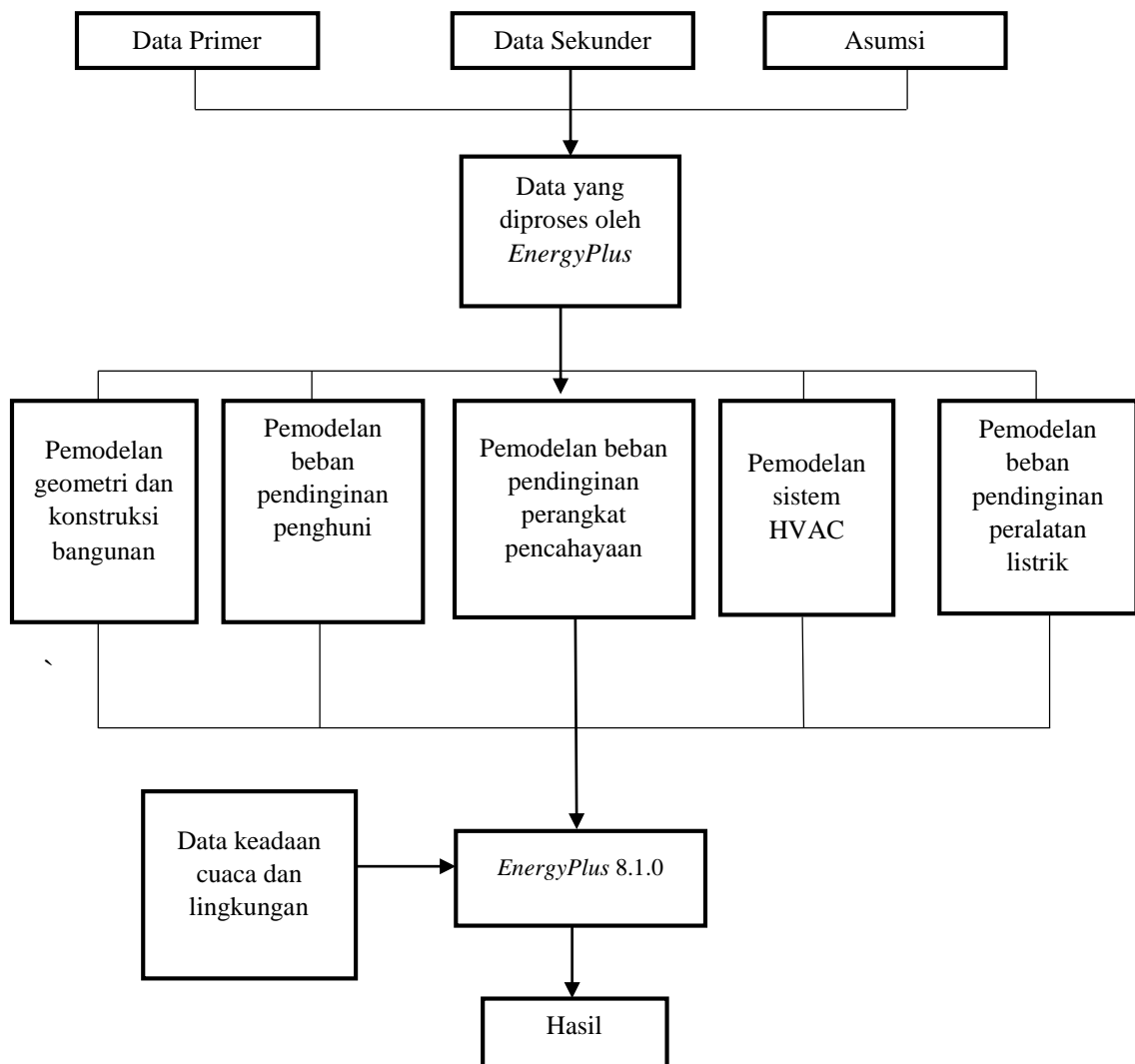
### **IV.2.3. Pemodelan Bangunan dengan *Google SketchUp* + *Plug in Open Studio***

Proses pemodelan geometri bangunan dibagi menjadi tiga langkah yaitu pemodelan geometri selubung bangunan, pembagian zona termal dan pemodelan material penyusun selubung bangunan. Model geometri bangunan perpustakaan dibuat dengan perangkat lunak *Google SketchUp* yang dilengkapi dengan *Plug in Open Studio*. Perangkat lunak *Open Studio* diperlukan untuk menerjemahkan geometri bangunan dari format .skp menjadi format .idf yang dapat dimengerti oleh *EnergyPlus*. *Open Studio* juga menerjemahkan beberapa fitur pemodelan yang tersedia di *EnergyPlus*, sehingga dapat dimasukkan dari *Google SketchUp* tanpa harus membuka editor *EnergyPlus*. Fitur – fitur tersebut adalah zona, konstruksi dan material.

### **IV.2.4. Input Data ke *EnergyPlus***

Data yang akan dimasukkan ke perangkat lunak *EnergyPlus* dibagi menjadi dua kelompok, yaitu data primer dan data sekunder. Data primer adalah data yang langsung didapatkan di tempat penelitian. Sedangkan data sekunder adalah data yang didapatkan dari pengelola perpustakaan atau data yang didapatkan dari situs internet. Data primer ataupun data sekunder yang diperoleh pada umumnya tidak

dapat langsung dimasukkan ke dalam perangkat lunak *EnergyPlus* karena format data yang diperoleh berbeda dengan format data yang dibutuhkan *EnergyPlus*. Pada sebagian variabel seperti beban pendinginan dari peralatan, *EnergyPlus* memerlukan data emisi panas yang terbagi dalam periode waktu per jam (*hourly*), sedangkan data yang didapat merupakan data emisi panas sesaat. Oleh karena itu data yang telah diperoleh harus dikonversi terlebih dahulu sehingga dapat diproses oleh *EnergyPlus*. Diagram alir proses input data ke perangkat lunak *EnergyPlus* ditunjukkan pada Gambar 4.2.



**Gambar 4.2.** Proses Input data ke *EnergyPlus*

#### **IV.2.5. Simulasi *EnergyPlus***

Pada bagian simulasi, data-data yang sudah dimasukkan sebagai input *EnergyPlus* akan dikalkulasi oleh *EnergyPlus* berdasarkan persamaan-persamaan yang digunakan di dalam *EnergyPlus*. Simulasi akan beroperasi apabila tidak ditemukan *error* pada pemodelan dan input data.

#### **IV.2.6. Analisis dan Pembahasan Hasil**

Pada bagian Hasil dan Pembahasan akan dibahas hal-hal berikut.

1. Nilai-nilai yang dimasukkan pada persamaan persamaan yang telah dikemukakan pada bagian Dasar Teori.
2. Penjelasan asal dari nilai-nilai variabel pada persamaan, apakah dari data atau asumsi.
3. Hasil dari simulasi yang dilakukan oleh perangkat lunak *EnergyPlus*.
4. Penjelasan singkat setiap nilai yang dihasilkan oleh simulasi perangkat lunak *EnergyPlus*.
5. Rekapitulasi nilai konsumsi energi hasil simulasi berdasarkan sektor tata udara, tata cahaya dan peralatan listrik.
6. Penentuan nilai Intensitas Konsumsi Energi (IKE) berdasarkan hasil simulasi.
7. Penentuan peluang penghematan energi.
8. Penentuan skenario penghematan energi serta dampaknya terhadap konsumsi energi keseluruhan.
9. Analisis biaya penggunaan komponen sistem tata udara dan tata cahaya

## BAB V

### HASIL DAN PEMBAHASAN

#### V.1. Proses Konversi Data

Ada beberapa konversi data yang variabel-variabelnya tidak dijumpai sehingga harus diberikan beberapa konversi. Supaya data yang diperoleh valid, maka sebagian nilai-nilai asumsi diperoleh dari standar yang sudah ada. Sedangkan untuk data-data yang tidak terdapat pada standar yang sudah ada, asumsi dilakukan berdasarkan pengamatan yang dilakukan di lapangan. Proses konversi data ditunjukkan pada Tabel 5.1.

**Tabel 5.1.** Konversi Data

No	Permasalahan	Cara Mengatasi Masalah
1	Data pengunjung tiap jam per hari dalam satu tahun	Menggunakan pengamatan pola laju pengunjung dan asumsi
2	Pakaian pengunjung	Menggunakan asumsi memakai jenis pakaian yang sama
3	Jenis Material Bangunan	Menggunakan asumsi standar <i>EnergyPlus</i> dan penelitian pada Gedung L1

Data-data yang menjadi input *EnergyPlus* adalah sebagai berikut:

1. Geometri dan konstruksi bangunan
2. Beban pendinginan penghuni
3. Beban pendinginan sistem tata cahaya
4. Beban pendinginan peralatan listrik

#### V.1.1. Deskripsi Bangunan

Gedung Perpustakaan Pusat Universitas Gadjah Mada terletak di koordinat  $7^{\circ} 46,151$  Lintang Selatan dan  $110^{\circ} 22,675$  Lintang Utara. Luas Gedung Perpustakaan Pusat Gedung L4 adalah  $988,56 \text{ m}^2$ . Gedung ini terdiri dari 4 lantai yang tiap lantai terdiri dari beberapa ruangan berdasarkan fungsinya.

Pembagian ruangan pada gedung ini adalah

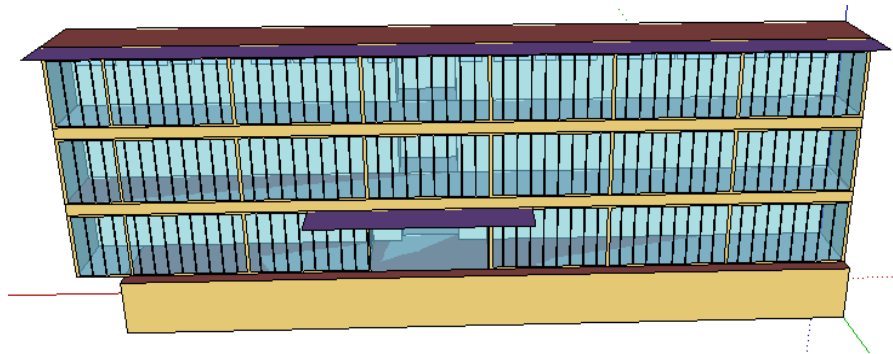
1. Lantai Basement
  - Parkir Sepeda
2. Lantai 1
  - Lobi
  - Ruang Baca 24 Jam
3. Lantai 2
  - Ruang Baca 24 Jam
4. Lantai 3
  - Ruang Baca 24 Jam

### **V.1.2. Pemodelan Geometri Bangunan**

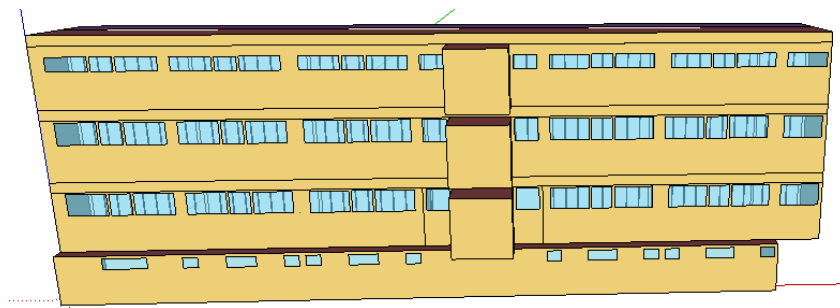
Proses pemodelan geometri bangunan dibagi menjadi tiga langkah, yaitu pemodelan geometri selubung bangunan, pembagian zona bangunan dan pemodelan material penyusun selubung bangunan. Proses pemodelan bangunan ditunjukkan pada Gambar 5.1 sampai dengan Gambar 5.3.

Model geometri bangunan perpustakaan dibuat dengan perangkat lunak *Google SketchUp* yang dilengkapi dengan *plug-in OpenStudio*. Perangkat lunak *OpenStudio* diperlukan untuk menerjemahkan geometri bangunan dari format *.skp* menjadi format *.idf* yang dapat dimengerti oleh perangkat lunak *EnergyPlus*. *OpenStudio* juga menerjemahkan beberapa fitur pemodelan yang tersedia di *EnergyPlus*, sehingga dapat dimasukkan dari *Google SketchUp* tanpa harus membuka editor *EnergyPlus*. Fitur-fitur tersebut adalah zona, konstruksi dan material.

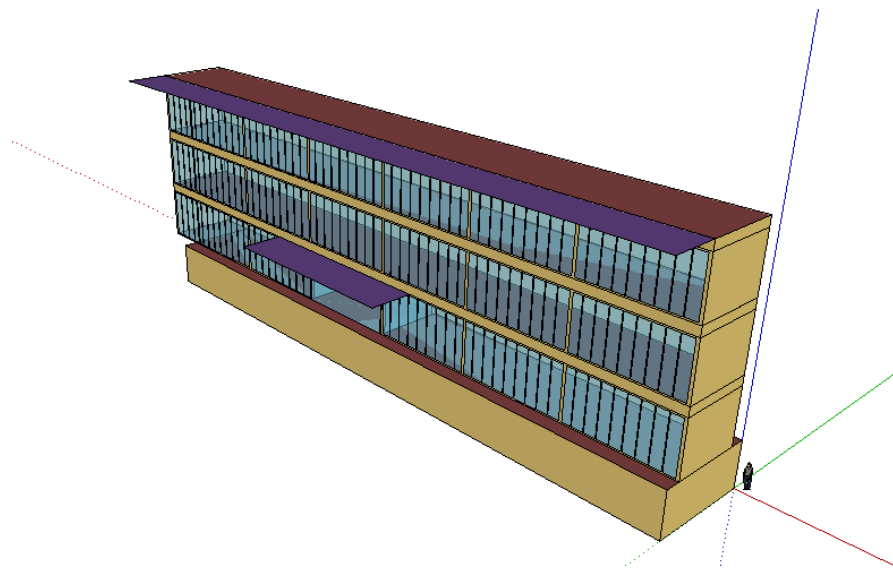
Model bangunan Perpustakaan Pusat UGM Gedung L4 dibuat berdasarkan data *AutoCAD* yang didapatkan dari pihak Renbang. Untuk menyesuaikan kemampuan *EnergyPlus*, maka dilakukan penyederhanaan pada model bangunan yaitu penyederhanaan pada tangga. Penyederhanaan pada tangga dikarenakan tingkat kesulitan pada pembuatan tangga. Tetapi untuk luas permukaan pada tiap lantainya disesuaikan dengan ukuran aslinya.



**Gambar 5.1.** Tampak utara model bangunan Perpustakaan Pusat UGM Gedung L4



**Gambar 5.2.** Tampak selatan model bangunan Perpustakaan Pusat UGM Gedung L4



**Gambar 5.3.** Tampak samping model bangunan Perpustakaan Pusat UGM Gedung L4

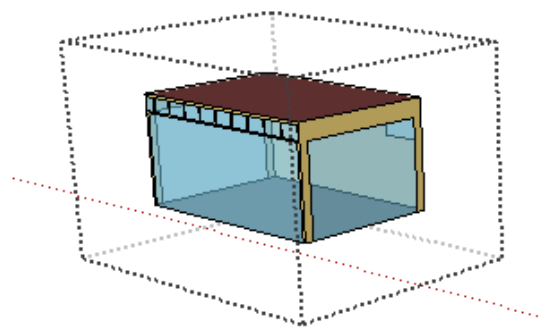
Langkah selanjutnya adalah membuat pemodelan zona termal. Zona termal (*thermal zone*) adalah bagian dari suatu bangunan yang memiliki sebuah sensor yang umumnya berupa *thermostat* untuk mengendalikan sistem tata udara yang melayani bagian tersebut.

Pada model bangunan yang akan disimulasikan, zona tersebut dibagi berdasarkan jenis kegunaan ruangan tersebut, sehingga pada model bangunan kali ini, zona bangunan dibagi menjadi 6 zona. Zona – zona yang dimodelkan pada bangunan Perpustakaan Pusat UGM Gedung L4 dapat dilihat pada Tabel 5.2 berikut.

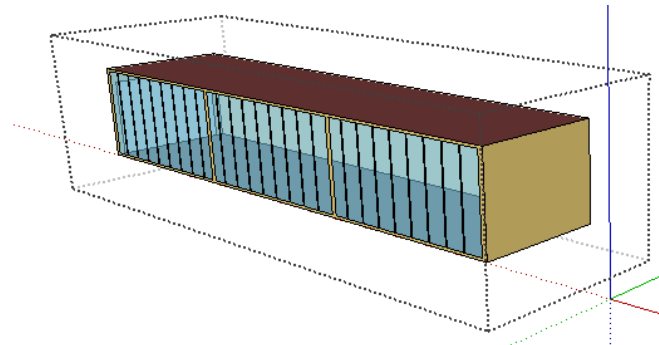
**Tabel 5.2.** Daftar Zona Termal

No	Nama Zona	Keterangan
1	LOBI	Lobi perpustakaan
2	RB1	Ruang Baca 1 24jam Lantai 1 Perpustakaan
3	RB2	Ruang Baca 2 24jam Lantai 1 Perpustakaan
4	RBL2	Ruang Baca 24jam Lantai 2 Perpustakaan
5	RBL3	Ruang Baca 24jam Lantai 3 Perpustakaan
6	BASEMENT	Parkir Sepeda Basement Perpustakaan

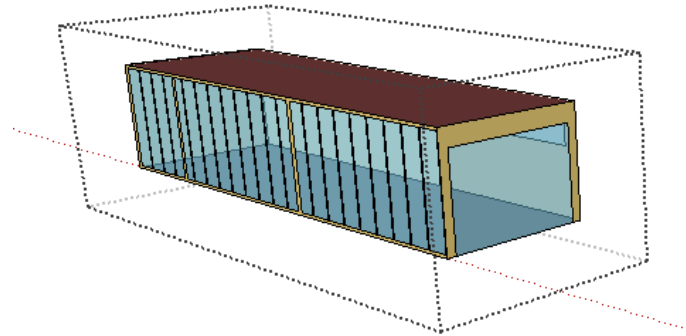
Pembagian zona termal pada bangunan Perpustakaan Pusat UGM Gedung L4 ditunjukkan oleh Gambar 5.4 sampai dengan Gambar 5.9.



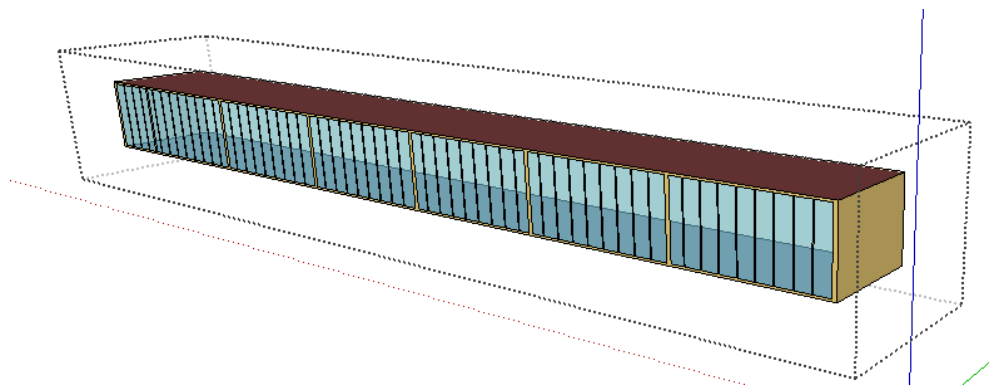
**Gambar 5.4.** Zona LOBI



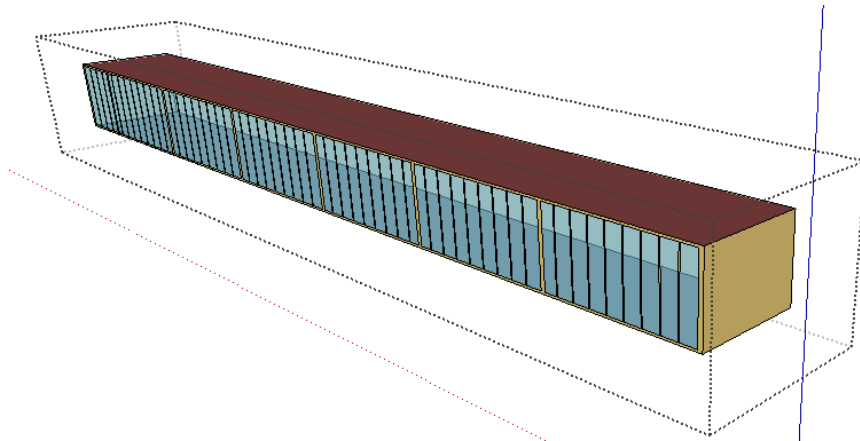
**Gambar 5.5. Zona RB1**



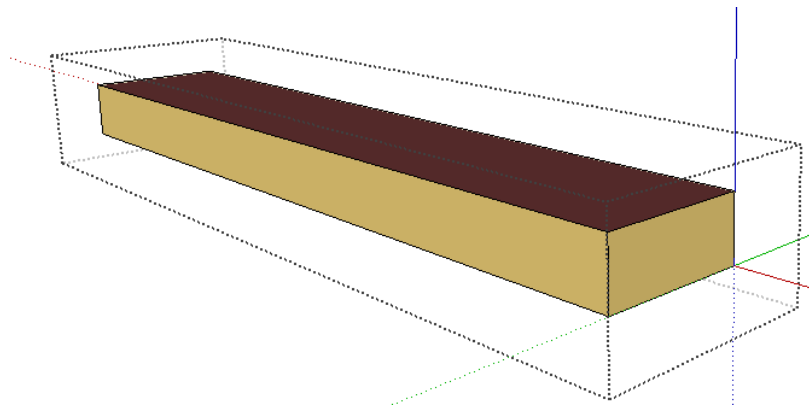
**Gambar 5.6. Zona RB2**



**Gambar 5.7. Zona RBL2**



**Gambar 5.8.** Zona RBL3

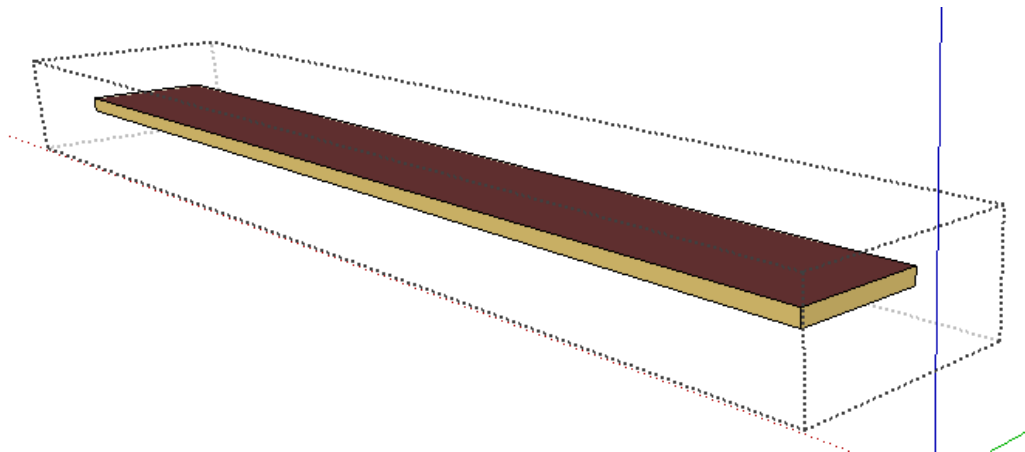


**Gambar 5.9.** Zona BASEMENT

Selain pembagian zona termal, model bangunan Perpustakaan Pusat UGM gedung L4 juga dilengkapi dengan ruang kosong diantara dua lantai yang disebut sebagai plenum. Plenum tersebut digunakan untuk menyuplai udara terkondisi dari AHU untuk setiap lantai. Pada pemodelan bangunan kali ini, terdapat 3 Zona Plenum untuk zona-zona tertutup seperti ditunjukkan oleh Tabel 5.3.

**Tabel 5.3.** Zona Plenum

No	Nama Zona
1	Plenum Lantai 1
2	Plenum Lantai 2
3	Plenum Lantai 3



**Gambar 5.10.** Zona Plenum

Langkah ketiga setelah pemodelan geometri selubung bangunan dan zona termal adalah pemodelan elemen konstruksi bangunan. Elemen konstruksi bangunan adalah objek yang mendeskripsikan sifat-sifat fisik serta konfigurasi untuk selubung bangunan dan elemen interior, meliputi dinding, atap, lantai, jendela dan pintu bangunan. Dengan kata lain, elemen konstruksi adalah sejumlah material yang dirangkai untuk menjadi komponen bangunan.

Pada saat pengambilan data jenis-jenis material penyusun bangunan terdapat kesulitan pada proses mendapatkan dokumen, maka data material penyusun elemen konstruksi bangunan tidak diperoleh. Untuk memenuhi data – data yang diperlukan oleh *EnergyPlus*, maka spesifikasi material penyusun bangunan diasumsikan dengan menggunakan spesifikasi material standar dalam perangkat lunak *EnergyPlus*.

### **V.1.3. Estimasi Beban Pendinginan Penghuni**

Beban pendinginan dari manusia (*human occupant*) merupakan representasi dari jumlah manusia yang menghuni suatu zona, dengan asumsi keseluruhan penghuni memakai pakaian yang sama, melakukan aktivitas yang sama.

Untuk mendapatkan model beban internal, maka diperlukan data tingkat hunian di setiap zona. Hal yang perlu dilakukan untuk mendapatkan data tingkat hunian zona adalah dengan melakukan observasi dengan beberapa asumsi. Data

tingkat hunian terdiri dari zona Lobi, Ruang Baca 1 Lantai 1, Ruang Baca 2 Lantai 1, Ruang Baca Lantai 2, Ruang Baca Lantai 3 dan Parkir Sepeda Basement.

### V1.3.1. Estimasi Okupansi Zona LOBI

Untuk memodelkan beban internal okupansi zona LOBI, diperlukan data laju pengunjung harian, karena data untuk laju pengunjung harian tidak tersedia, maka data laju pengunjung dihitung dengan asumsi berdasarkan pada pengamatan pola laju pengunjung.

Estimasi beban okupansi untuk Lobi menerapkan beberapa asumsi sebagai berikut:

1. Pada zona LOBI , beban okupansi terdiri dari pengunjung dan karyawan perpustakaan.
2. Karyawan perpustakaan pada zona LOBI terdiri dari 1 orang setiap harinya.
3. Estimasi beban okupansi pengunjung perpustakaan berdasarkan dengan asumsi pengunjung zona LOBI pada lantai 1, dari observasi di lapangan jumlah pengunjung terbanyak ada pada jam produktif yaitu jam 09.00-11.00 dan jam 19.00-21.00. Jadwal operasi perpustakaan gedung L4 adalah 24jam.

Data estimasi pengunjung tiap jam dalam satu hari pada zona LOBI setelah menerapkan beberapa asumsi diunjukkan pada Tabel 5.4.

**Tabel 5.4.** Estimasi Pengunjung Zona Lobi

Jam	Karyawan Perpustakaan	Pengunjung	Total
07.00	1	4	5
08.00	1	8	9
09.00	1	13	14
10.00	1	16	17
11.00	1	22	23
12.00	1	15	16
13.00	1	5	6
14.00	1	6	7
15.00	1	8	9
16.00	1	7	8
17.00	1	4	5
18.00	1	3	4
19.00	1	13	14
20.00	1	16	17

**Tabel 5.4.** (Lanjutan) Estimasi Pengunjung Zona Lobi

Jam	Karyawan Perpustakaan	Pengunjung	Total
21.00	1	12	13
22.00	1	4	5
23.00	1	3	4
24.00	1	2	3
01.00	1	1	2
02.00	1	1	2
03.00	1	1	2
04.00	1	1	2
05.00	1	1	2
06.00	1	1	2

### V.1.3.2. Estimasi Okupansi Zona Ruang Baca 1 Lantai 1(RB1)

Estimasi beban zona RB1, diberikan beberapa asumsi sebagai berikut:

1. Pada Zona RB1 , beban okupansi terdiri dari pengunjung dan karyawan perpustakaan.
2. Karyawan perpustakaan pada zona RB1 terdiri dari 1 orang setiap harinya.
3. Estimasi beban okupansi pengunjung perpustakaan berdasarkan observasi di lapangan, jumlah pengunjung terbanyak ada pada jam produktif yaitu jam 09.00-11.00 dan jam 19.00-21.00.

Data estimasi pengunjung tiap jam dalam satu hari pada zona RB1 setelah menerapkan beberapa asumsi diunjukkan pada Tabel 5.5.

**Tabel 5.5.** Estimasi Pengunjung Zona Ruang Baca 1 Lantai 1

Jam	Karyawan Perpustakaan	Pengunjung	Total
07.00	1	5	6
08.00	1	10	11
09.00	1	12	13
10.00	1	13	14
11.00	1	15	16
12.00	1	9	10
13.00	1	8	9
14.00	1	7	8
15.00	1	6	7
16.00	1	7	8
17.00	1	4	5
18.00	1	3	4
19.00	1	13	14

**Tabel 5.5.** (Lanjutan) Estimasi Pengunjung Zona Ruang Baca 1 Lantai 1

Jam	Karyawan Perpustakaan	Pengunjung	Total
20.00	1	12	13
21.00	1	10	11
22.00	1	7	8
23.00	1	6	7
24.00	1	3	4
01.00	1	2	3
02.00	1	2	3
03.00	1	2	3
04.00	1	2	3
05.00	1	2	3
06.00	1	2	3

### V.1.3.3. Estimasi Okupansi Zona Ruang Baca 2 Lantai 1 (RB2)

Estimasi beban penghuni zona RB2 diberikan beberapa asumsi sebagai berikut:

1. Pada Zona RB2 , beban okupansi terdiri dari pengunjung dan karyawan perpustakaan.
2. Karyawan perpustakaan pada zona RB2 terdiri dari 1 orang setiap harinya.
3. Estimasi beban okupansi pengunjung perpustakaan berdasarkan observasi di lapangan, jumlah pengunjung terbanyak ada pada jam produktif yaitu jam 09.00-11.00 dan jam 19.00-21.00.

Data estimasi pengunjung tiap jam dalam satu hari pada zona RB2 setelah menerapkan beberapa asumsi diunjukkan pada Tabel 5.6.

**Tabel 5.6.** Estimasi Pembaca Zona Ruang Baca 2 Lantai 1

Jam	Karyawan Perpustakaan	Pengunjung	Total
07.00	1	4	5
08.00	1	9	10
09.00	1	11	12
10.00	1	12	13
11.00	1	14	15
12.00	1	8	9
13.00	1	7	8
14.00	1	6	7
15.00	1	5	6
16.00	1	6	7
17.00	1	3	4
18.00	1	2	3

**Tabel 5.6.** (Lanjutan) Estimasi Pengunjung Zona Ruang Baca 2 Lantai 1

Jam	Karyawan Perpustakaan	Pengunjung	Total
19.00	1	12	13
20.00	1	11	12
21.00	1	9	10
22.00	1	6	7
23.00	1	5	6
24.00	1	3	4
01.00	1	2	3
02.00	1	2	3
03.00	1	2	3
04.00	1	2	3
05.00	1	2	3
06.00	1	2	3

#### V.1.3.4. Estimasi Okupansi Zona Ruang Baca Lantai 2 (RBL2)

Perhitungan beban penghuni zona RBL2 diberikan beberapa asumsi sebagai berikut:

1. Pada Zona RBL2 , beban okupansi terdiri dari pengunjung dan karyawan perpustakaan.
2. Karyawan perpustakaan pada zona RBL2 terdiri dari 2 orang setiap harinya.
3. Estimasi beban okupansi pengunjung perpustakaan berdasarkan observasi di lapangan, jumlah pengunjung terbanyak ada pada jam produktif yaitu jam 09.00-11.00 dan jam 19.00-21.00.

Data estimasi pengunjung tiap jam dalam satu hari pada zona RBL2 setelah menerapkan beberapa asumsi diunjukkan pada Tabel 5.7.

**Tabel 5.7.** Estimasi Pembaca Zona Ruang Baca Lantai 2

Jam	Karyawan Perpustakaan	Pengunjung	Total
07.00	2	7	7
08.00	2	10	12
09.00	2	16	18
10.00	2	17	19
11.00	2	15	17
12.00	2	11	13
13.00	2	9	11
14.00	2	12	14
15.00	2	11	13
16.00	2	10	12

**Tabel 5.7.** (Lanjutan) Estimasi Pembaca Zona Ruang Baca Lantai 2

Jam	Karyawan Perpustakaan	Pengunjung	Total
17.00	2	7	9
18.00	2	3	5
19.00	2	17	19
20.00	2	15	17
21.00	2	13	15
22.00	2	9	11
23.00	2	6	8
24.00	2	4	6
01.00	2	2	4
02.00	2	2	4
03.00	2	2	4
04.00	2	2	4
05.00	2	2	4
06.00	2	2	4

#### V.1.3.5. Estimasi Okupansi Zona Ruang Baca Lantai 3 (RBL3)

Estimasi beban penghuni zona RBL3 diberikan beberapa asumsi sebagai berikut:

1. Pada Zona RBL3 , beban okupansi terdiri dari pengunjung dan karyawan perpustakaan.
2. Karyawan perpustakaan pada zona RBL3 terdiri dari 2 orang setiap harinya.
3. Estimasi beban okupansi pengunjung perpustakaan berdasarkan observasi di lapangan, jumlah pengunjung terbanyak ada pada jam produktif yaitu jam 09.00-11.00 dan jam 19.00-21.00.

Data estimasi pengunjung tiap jam dalam satu hari pada zona RBL3 setelah menerapkan beberapa asumsi diunjukkan pada Tabel 5.8.

**Tabel 5.8.** Estimasi Pembaca Zona Ruang Baca Lantai 3

Jam	Karyawan Perpustakaan	Pengunjung	Total
07.00	2	4	6
08.00	2	9	11
09.00	2	15	17
10.00	2	17	19
11.00	2	14	16
12.00	2	10	12
13.00	2	8	10
14.00	2	13	15

**Tabel 5.8.** (Lanjutan) Estimasi Pembaca Zona Ruang Baca Lantai 3

Jam	Karyawan Perpustakaan	Pengunjung	Total
15.00	2	10	12
16.00	2	9	11
17.00	2	5	7
18.00	2	2	4
19.00	2	17	19
20.00	2	16	18
21.00	2	14	16
22.00	2	8	10
23.00	2	5	7
24.00	2	3	5
01.00	2	2	4
02.00	2	2	4
03.00	2	2	4
04.00	2	2	4
05.00	2	2	4
06.00	2	2	4

#### V.1.3.6. Estimasi Okupansi Zona BASEMENT

Estimasi beban penghuni zona BASEMENT diberikan beberapa asumsi sebagai berikut:

1. Pada Zona BASEMENT, beban okupansi terdiri dari pengunjung perpustakaan.
2. Estimasi beban okupansi pengunjung perpustakaan berdasarkan observasi di lapangan.

Data estimasi pengunjung tiap jam dalam satu hari pada zona BASEMENT setelah menerapkan beberapa asumsi diunjukkan pada Tabel 5.9.

**Tabel 5.9.** Estimasi Pengunjung Zona Parkir Sepeda Basement

Jam	Pengunjung
07.00	3
08.00	2
09.00	3
10.00	4
11.00	3
12.00	3
13.00	2
14.00	2

**Tabel 5.9.** (Lanjutan) Estimasi Pengunjung Zona Parkir Sepeda Basement

Jam	Pengunjung
15.00	3
16.00	4
17.00	2
18.00	3
19.00	2
20.00	3
21.00	2
22.00	2
23.00	1
24.00	1
01.00	1
02.00	1
03.00	1
04.00	1
05.00	1
06.00	1

#### V.1.3.7. Rekapitulasi Okupansi Tiap Zona

Setelah dilakukan estimasi jumlah penghuni pada masing-masing zona dengan berdasarkan asumsi dan observasi lapangan, maka didapatkan jumlah penghuni tiap jam untuk semua zona yang dapat dilihat pada Tabel 5.10.

**Tabel 5.10.** Rekapitulasi Okupansi tiap zona

Jam	LOBI	RB1	RB2	RBL2	RBL3	BASEMENT
07.00	5	6	5	7	6	3
08.00	9	11	10	12	11	2
09.00	14	13	12	18	17	3
10.00	17	14	13	19	19	4
11.00	23	16	15	17	16	3
12.00	16	10	9	13	12	3
13.00	6	9	8	11	10	2
14.00	7	8	7	14	15	2
15.00	9	7	6	13	12	3
16.00	8	8	7	12	11	4
17.00	5	5	4	9	7	2
18.00	4	4	3	5	4	3
19.00	14	14	13	19	19	2
20.00	17	13	12	17	18	3
21.00	13	11	10	15	16	2

**Tabel 5.10.** Rekapitulasi Okupansi tiap zona

Jam	LOBI	RB1	RB2	RBL2	RBL3	BASEMENT
22.00	5	8	7	11	10	2
23.00	4	7	6	8	7	1
24.00	3	4	4	6	5	1
01.00	2	3	3	4	4	1
02.00	2	3	3	4	4	1
03.00	2	3	3	4	4	1
04.00	2	3	3	4	4	1
05.00	2	3	3	4	4	1
06.00	2	3	3	4	4	1

### V.1.3.8 Beban Pendinginan Penghuni

Langkah berikutnya adalah menentukan aktivitas penghuni. Jenis aktivitas akan berpengaruh pada laju metabolisme sehingga akan memengaruhi beban pendinginan. Penghuni terdiri dari pengunjung perpustakaan dan karyawan. Aktivitas pengunjung pada zona LOBI terbagi menjadi dua yaitu berjalan dan duduk, aktivitas pengunjung pada zona BASEMENT hanya berjalan, sedangkan aktivitas pengunjung pada zona lainnya diasumsikan hanya duduk. Untuk aktivitas karyawan perpustakaan diasumsikan duduk setiap zona. Nilai laju metabolisme penghuni zona dan rekapitulasi estimasi beban pendinginan okupansi tiap zona secara berturut-turut ditunjukkan pada Tabel 5.11 dan Tabel 5.12.

**Tabel 5.11.** Nilai laju metabolisme penghuni zona

Zona	Penghuni	Aktivitas	W/m <sup>2</sup>	W/orang
Lobi	Karyawan	Duduk	60	108
	Pengunjung	Berjalan (1,2 m/s)	150	270
Ruang Baca 1 Lantai 1	Karyawan	Duduk	60	108
	Pembaca	Duduk	60	108
Ruang Baca 2 Lantai 1	Karyawan	Duduk	60	108
	Pembaca	Duduk	60	108
Ruang Baca Lantai 2	Karyawan	Duduk	60	108
	Pembaca	Duduk	60	108
Ruang Baca Lantai 3	Karyawan	Duduk	60	108
	Pembaca	Duduk	60	108
Parkir Sepeda Basement	Pengunjung	Berjalan (1,2 m/s)	150	270

**Tabel 5.12.** Estimasi beban pendinginan okupansi tiap zona (W/orang)

Jam	LOBI	RB1	RB2	RBL2	RBL3	BASEMENT
07.00	237.60	108	108	108	108	270
08.00	252.00	108	108	108	108	270
09.00	258.43	108	108	108	108	270
10.00	260.47	108	108	108	108	270
11.00	262.96	108	108	108	108	270
12.00	259.88	108	108	108	108	270
13.00	243.00	108	108	108	108	270
14.00	246.86	108	108	108	108	270
15.00	252.00	108	108	108	108	270
16.00	249.75	108	108	108	108	270
17.00	237.60	108	108	108	108	270
18.00	229.50	108	108	108	108	270
19.00	258.43	108	108	108	108	270
20.00	260.47	108	108	108	108	270
21.00	257.54	108	108	108	108	270
22.00	237.60	108	108	108	108	270
23.00	229.50	108	108	108	108	270
24.00	216.00	108	108	108	108	270
01.00	189.00	108	108	108	108	270
02.00	189.00	108	108	108	108	270
03.00	189.00	108	108	108	108	270
04.00	189.00	108	108	108	108	270
05.00	189.00	108	108	108	108	270
06.00	189.00	108	108	108	108	270

#### **V.1.4. Perhitungan Konsumsi Energi dan Beban Pendinginan Sistem Tata Cahaya**

Untuk menghitung beban pendinginan yang dihasilkan oleh sistem tata cahaya, maka yang harus dilakukan adalah menentukan daya keseleruhan sistem tata cahaya yang digunakan pada suatu zona. Berdasarkan data yang disediakan oleh Renbang pada Perpustakaan Pusat Universitas Gadjah Mada Gedung L4, diperoleh jenis jenis komponen sistem tata cahaya beserta jumlah satuan dan dayanya seperti yang ditunjukkan pada Tabel 5.13.

**Tabel 5.13.** Jenis, Jumlah dan daya maksimum komponen sistem tata cahaya

Zona	Jenis Lampu								Total Daya (W)
	T5 28W		TL 8 W		T5 2x28W		Down light PLC 18 W		
	Unit	Daya (W)	Unit	Daya (W)	Unit	Daya (W)	Unit	Daya (W)	
Lobi	-	-	1	8	6	336	4	72	416
Ruang Baca 1 Lantai 1	-	-	-	-	20	1120	-	-	1120
Ruang Baca 2 Lantai 1	-	-	1	8	16	896	-	-	904
Ruang Baca Lantai 2	-	-	1	8	40	2240	4	72	2320
Ruang Baca Lantai 3	-	-	1	8	40	2240	4	72	2320
Parkir Sepeda Basement	18	504	2	16	-	-	-	-	520

Nilai *fret*, *flw*, *fsw* dan *fconv* diperoleh berdasarkan penyesuaian dengan hasil penelitian yang dilakukan oleh Fisher dan Chantrasrisalai [19]. Penelitian tersebut membahas tentang distribusi beban pendinginan pada bangunan yang berasal dari komponen sistem tata cahaya. Untuk memperoleh nilai *fret*, *flw* dan *fconv* perlu ditentukan terlebih dahulu jenis *luminaire* yang terpasang di dalam ruangan.

Fisher dan Chantrasrisalai meneliti lima jenis *luminaire* yaitu *recessed fluorescent luminaire without lens*, *recessed fluorescent luminaire with lens*, *downlight compact fluorescent luminaire*, *downlight incandescent luminaire*, dan *non-in-ceiling luminaire*. Penelitian tersebut menghasilkan nilai *fret*, *flw*, *fsw* dan *fconv* seperti ditunjukkan pada Tabel 5.14.

**Table 5.14.** Nilai *fret*, *flw* dan *fconv* untuk berbagai jenis *luminaire*

Jenis Luminaire	<i>Return fraction (fret)</i>	<i>Shortwave radiation fraction (fsw)</i>	<i>Longwave radiation fraction (flw)</i>
<i>Recessed Fluorescent Luminaire without Lens</i>	0,26 – 0,36	0,23-0,31	0,25-0,27
<i>Recessed Fluorescent Luminaire with Lens</i>	0,50 – 0,60	0,39-0,45	0,22-0,28

**Table 5.14.** (Lanjutan) Nilai *fret*, *flw* dan *fconv* untuk berbagai jenis *luminaire*

Jenis Luminaire	<i>Return fraction (fret)</i>	<i>Shortwave radiation fraction (fsw)</i>	<i>Longwave radiation fraction (flw)</i>
<i>Downlight Compact Fluorescent Luminaire</i>	0,76-0,88	0,6-0,7	0,30-0,40
<i>Downlight Incandescent Luminaire</i>	0,20-0,30	0,85-0,9	0,10-0,15
<i>Non-In-Ceiling Fluorescent Luminaire</i>	0	0,23-0,25	0,27-0,32

Untuk menentukan nilai *fret*, *flw*, *fsw* dan *fconv luminaire* yang dipasang di Perpustakaan Pusat UGM Gedung L4, dilakukan penyesuaian jenis-jenis *luminaire* yang diteliti oleh Fisher dan Chantrasrisalai. Hasil penyesuaian tersebut ditunjukkan pada Tabel 5.15.

**Tabel 5.15.** Nilai *fret*, *flw*, *fsw* dan *fconv* untuk berbagai jenis *luminaire* yang dipasang

Jenis Lampu	Jenis Luminaire	<i>fret</i>	<i>fsw</i>	<i>flw</i>	<i>fcov</i>
T5 28W	<i>recessed fluorescent luminaire without lens</i>	0,31	0,186	0,214	0,29
TL 8 W	<i>recessed flourescent luminaire without lens</i>	0,31	0,186	0,214	0,29
Down light PLC 18 W	<i>downlight compact fluorescent luminaire</i>	0,82	0,117	0,063	0

Beban pendinginan dari sistem tata cahaya yang dihitung oleh *EnergyPlus* berlaku untuk satu zona termal. Padahal di dalam suatu zona bisa jadi terdapat lebih dari satu jenis lumener, dengan demikian untuk mendapatkan nilai *fret*, *flw*, *fsw*, dan *fconv* dari suatu zona, maka dilakukan perhitungan fraksi panas rata-rata untuk tiap zona. Hasil pembobotan disajikan dalam Tabel 5.16.

**Tabel 5.16.** Fraksi panas yang dihasilkan setiap zona

Zona	<i>fret</i>	<i>fsw</i>	<i>flw</i>	<i>fcov</i>
LOBI	0,430	0,170	0,178	0,222
RB1	0,310	0,186	0,214	0,290
RB2	0,310	0,186	0,214	0,290
RBL2	0,334	0,183	0,207	0,276
RBL3	0,334	0,183	0,207	0,276
BASEMENT	0,310	0,186	0,214	0,290

### V.1.5. Perhitungan Konsumsi Energi dan Beban Pendinginan Peralatan Listrik

Berdasarkan data-data dan observasi lapangan diperoleh jenis-jenis peralatan listrik beserta jumlah satuan dan dayanya seperti ditunjukkan pada Tabel 5.17.

**Tabel 5.17.** Spesifikasi Peralatan Listrik untuk tiap zona

Jenis Peralatan Listrik		Zona					
		LOBI	RB1	RB2	RBL2	RBL3	BASEMENT
TV LED 32 inch	Unit	1	-	-	-	-	-
	Daya (W)	120	-	-	-	-	-
CCTV dome	Unit	2	1	-	2	2	1
	Daya (W)	60	30	-	60	60	30
CCTV infrared	Unit	-	-	-	-	-	2
	Daya (W)	-	-	-	-	-	90
Stop Kontak	Unit	-	10	10	24	24	-
	Daya (W)	-	600	600	1440	1440	-
Exhaust Fan	Unit	-	-	-	-	-	4
	Daya (W)	-	-	-	-	-	880
Total (W)		180	630	600	1500	1500	1000

### V.1.6. Pemodelan Sistem Tata Udara

Untuk menyimulasikan model sistem tata udara, objek yang digunakan adalah objek HVAC Template. Objek HVAC Template adalah objek EnergyPlus yang dimaksudkan untuk jenis – jenis HVAC yang umum dengan input minimal. Berdasarkan data dan observasi lapangan maka objek HVAC Template yang dipilih untuk penyusunan model sistem tata udara Perpustakaan Pusat UGM Gedung L4 ditunjukkan pada Tabel 5.18.

**Tabel 5.18.** Pemodelan Sistem Tata Udara

No	Nama Objek	Keterangan
1	HVACTemplate:Thermostat	Mendeskripsikan termostat (pengaturan temperatur ruangan).
2	HVACTemplateZone:ConstantVolume	Mendeskripsikan komponen zona dari konfigurasi CAV HVAC.
3	HVACTemplateSystem:ConstantVolume	Mendeskripsikan komponen sistem dari konfigurasi CAV HVAC.
4	HVACTemplate:ChilledWaterLoop	Mendeskripsikan sistem pemipaan ( <i>loop</i> ) yang meliputi sistem pemipaan menghubungkan coil pendingin di dalam objek HVAC Template dengan mesin pendingin dan sistem pemipaan yang menghubungkan sistem pendingin dengan menara pendingin serta pompa dan pengendalian kedua sistem pemipaan tersebut.
5	HVACTemplate:Chiller	Mendeskripsikan mesin pendingin
6	HVACTemplate:Tower	Mendeskripsikan menara pendingin

## V.2. Validasi Perangkat Lunak *EnergyPlus*

Untuk mengetahui apakah perangkat lunak *EnergyPlus* sudah memberikan hasil yang cukup valid dalam simulasi energi bangunan pada penelitian ini, dapat dilakukan pengecekan sumber data yang dijadikan sebagai variabel input. Berbagai sumber data yang dijadikan variabel input disajikan dalam Tabel 5.19.

**Tabel 5.19.** Variabel input simulasi dan sumber data

Variabel Input	Real Data	Asumsi	Default <i>EnergyPlus</i>
Data Cuaca Wilayah Surakarta	√		
Data Geometri Bangunan	√		
Material Konstruksi Bangunan		√	√
Penjadwalan	√	√	
Okupansi		√	
Sistem Tata Cahaya	√		
Peralatan Listrik	√		
Sistem HVAC	√		√

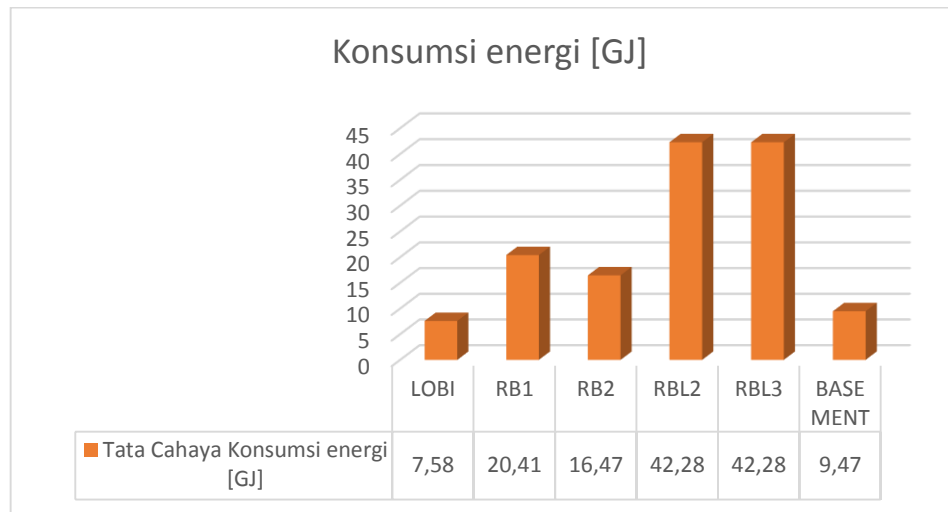
Dari Tabel 5.19 dapat dilihat bahwa sebagian besar perolehan data untuk variabel input simulasi didapatkan dari *real* data atau data berdasarkan kondisi sebenarnya. Hal tersebut menunjukkan bahwa hasil yang diperoleh dari simulasi ini sudah cukup valid.

### **V.3. Hasil Simulasi *EnergyPlus***

Hasil simulasi *EnergyPlus* dibagi berdasarkan konsumsi energi tiap sistem, yaitu konsumsi energi sistem tata cahaya, tata udara dan peralatan listrik.

#### **V.3.1. Konsumsi Energi Listrik Sistem Tata Cahaya**

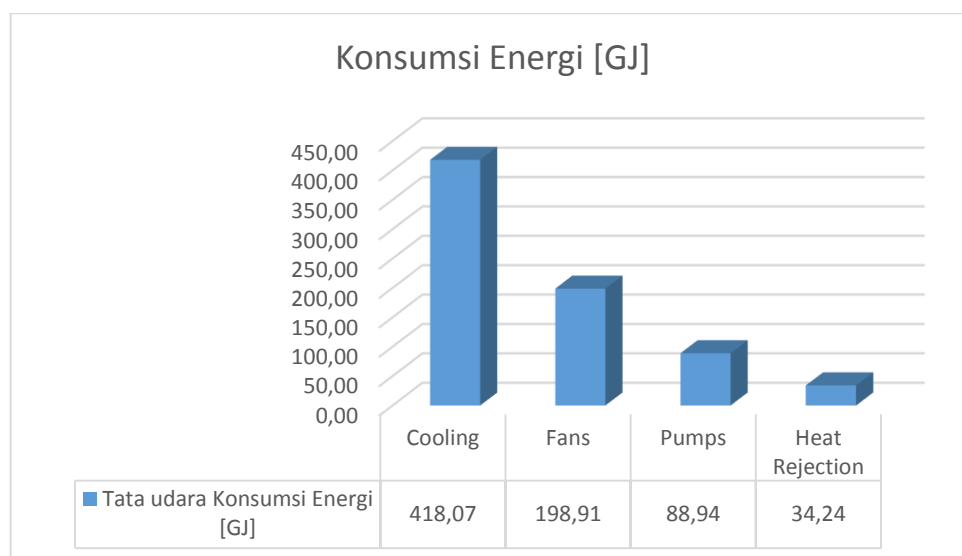
Konsumsi energi listrik sistem tata cahaya pada Perpustakaan Pusat UGM Gedung L4 disajikan untuk per tahunnya dan dibagi berdasarkan zona termal yang menggunakan interior light, yaitu zona LOBI, zona RB1, zona RB2, zona RBL2, zona RBL3 dan zona BASEMENT. Dari hasil simulasi, konsumsi energi terbesar untuk sistem tata cahaya adalah konsumsi energi pada zona RBL2 dan zona RBL3 yang memiliki besar konsumsi energi yang sama yaitu 42,28 GJ. Hal ini dikarenakan zona RBL 2 dan zona RBL3 memiliki spesifikasi pencahayaan yang sama. Untuk RB1, zona RB2 dan zona BASEMENT masing-masing secara berurutan memiliki konsumsi energi sebesar 20,41 GJ, 16,47 GJ dan 9,47 GJ. Sedangkan konsumsi energi terendah adalah konsumsi energi pada zona LOBI yaitu 7,58 GJ. Total konsumsi energi sistem tata cahaya pada semua zona adalah 138,49 GJ per tahunnya. Konsumsi energi sistem tata cahaya ditunjukkan pada Gambar 5.11.



**Gambar 5.11.** Konsumsi Energi Listrik Sistem Tata Cahaya Tiap Zona

### V.3.2. Konsumsi Energi Listrik Sistem Tata Udara

Untuk konsumsi energi listrik sistem tata udara pada Perpustakaan Pusat UGM Gedung L4 disajikan per tahunnya. Dari hasil simulasi, konsumsi energi total untuk sistem tata udara adalah 740,16 GJ. Konsumsi energi sistem tata udara per tahunnya mencakup komponen yang beroperasi pada sistem tata udara, yaitu *fans*, *cooling*, *pumps* dan *heat rejection*. Data tiap komponen ditunjukkan pada Gambar 5.12.

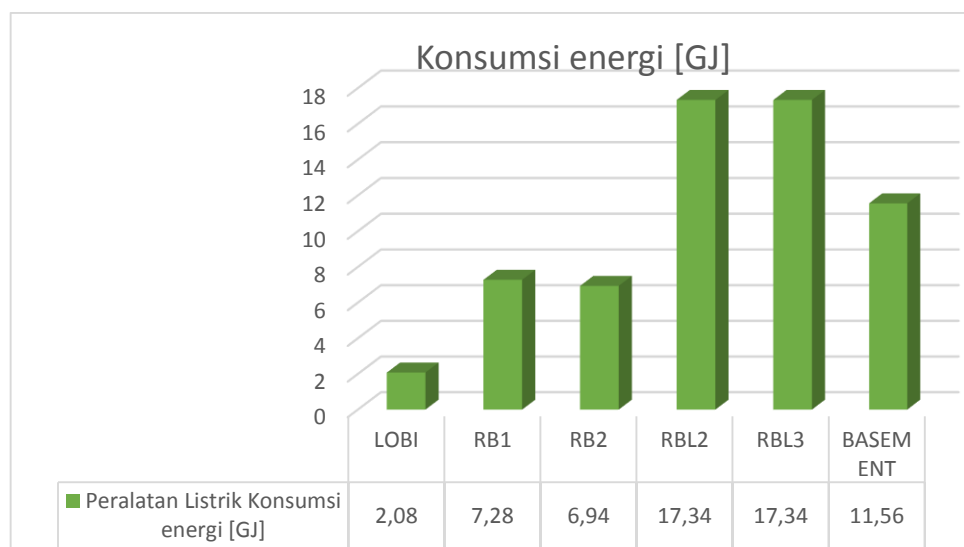


**Gambar 5.12.** Konsumsi Energi Listrik Sistem Tata Udara

Pada Gambar 5.12 menunjukkan bahwa konsumsi energi paling besar untuk sistem tata udara adalah komponen *cooling*, yaitu sebesar 418,07 GJ. Sedangkan untuk konsumsi energi paling rendah adalah komponen *heat rejection*, yaitu sebesar 34,24 GJ.

### V.3.3. Konsumsi Energi Listrik Peralatan Listrik

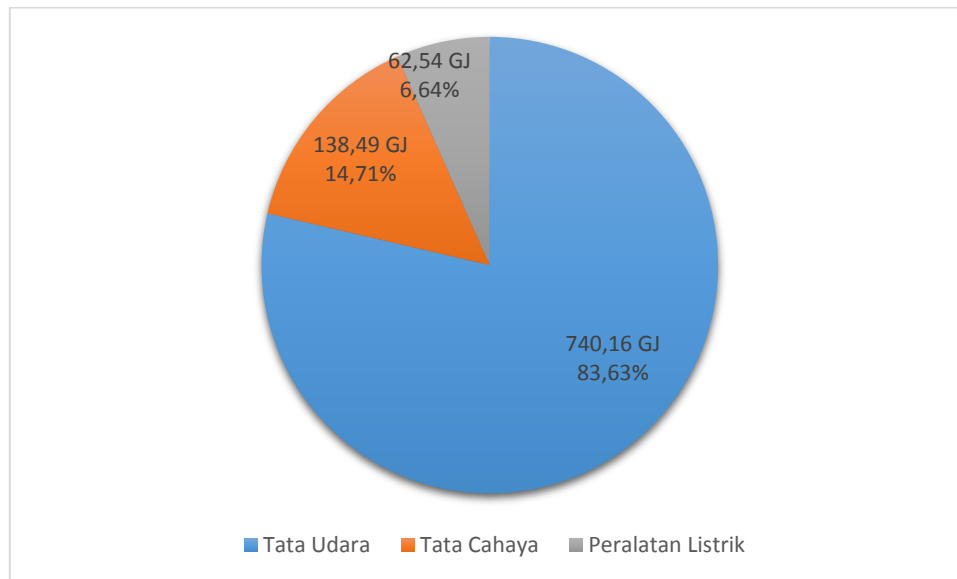
Konsumsi energi peralatan listrik dibagi berdasarkan zona. Untuk konsumsi energi peralatan listrik yang paling besar adalah zona RBL2 dan RBL3 yaitu sebesar 17,34 GJ , sedangkan konsumsi energi paling rendah adalah zona LOBI yaitu sebesar 2,08 GJ. Total konsumsi energi listrik peralatan listrik adalah 62,54 GJ. Konsumsi energi listrik peralatan listrik ditunjukkan pada Gambar 5.13.



**Gambar 5.13.** Konsumsi Energi Listrik Peralatan Listrik

### V.3.4. Konsumsi Energi Listrik Keseluruhan Bangunan

Konsumsi energi listrik untuk keseluruhan bangunan dibagi tiap sistem. Konsumsi energi paling tinggi adalah sistem tata udara dengan 83,63% dan paling rendah adalah peralatan listrik dengan 6,64%. Pembagian konsumsi energi keseluruhan bangunan ditunjukkan pada Gambar 5.14.



**Gambar 5.14.** Konsumsi Energi Keseluruhan tiap Sistem

### V.3.5. Intensitas Konsumsi Energi Bangunan

Salah satu parameter yang dapat digunakan untuk menentukan kinerja energi bangunan (*building energy performance*) adalah nilai Intensitas Konsumsi Energi (IKE). IKE adalah konsumsi total energi bangunan selama satu tahun dibagi dengan luas lantai bangunan. Satuan yang digunakan untuk menyatakan IKE pada umumnya adalah kWh/m<sup>2</sup>/tahun.

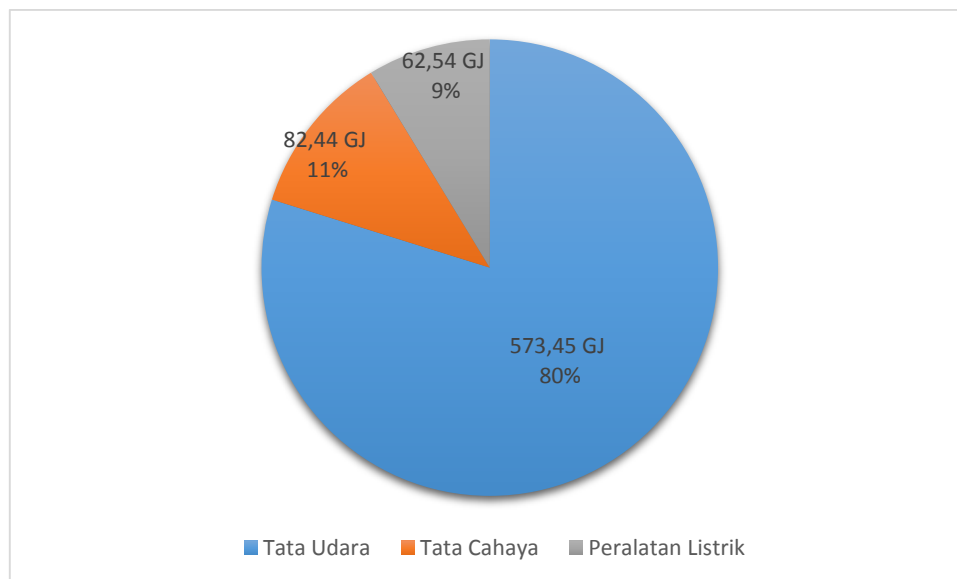
Nilai IKE untuk bangunan Perpustakaan Pusat UGM Gedung L4 yang telah disimulasikan adalah 264,47 kWh/m<sup>2</sup>/tahun. Nilai ini didapatkan dari nilai konsumsi energi listrik keseluruhan Perpustakaan Pusat UGM Gedung L4 yang bernilai 941,19 GJ atau 261.443,76 kWh dibagi luas lantai sebesar 988,56 m<sup>2</sup>.

### V.4. Skenario Konservasi Energi

Skenario yang dapat dilakukan untuk melakukan konservasi energi adalah dengan mengganti Sistem HVAC dan jenis *luminaire* yang digunakan pada Bangunan Perpustakaan Pusat UGM Gedung L4. Sistem HVAC yang diganti adalah dari *Constant Air Volume* (CAV) menjadi *Variable Air Volume* (VAV). Sistem VAV adalah sistem yang memberikan variasi volume udara yang konstan untuk memenuhi kondisi beban pendinginan ruangan yang berubah. Sedangkan

*luminaire* yang diganti adalah dari *luminaire* jenis *fluorescent* menjadi LED yang lebih hemat energi. *Luminaire* yang akan digunakan adalah Philips LED Tube T8-18 watt.

Nilai konsumsi energi listrik pada skenario penerapan sistem VAV dan menggunakan *luminaire* jenis LED dengan simulasi *EnergyPlus* ditunjukkan pada Gambar 5.15



**Gambar 5.15.** Konsumsi energi listrik keseluruhan bangunan dengan sistem VAV dan LED

Konsumsi energi terbesar setelah dilakukan skenario konservasi energi menunjukkan bahwa sistem tata udara masih memiliki nilai konsumsi energi tertinggi. Nilai konsumsi energi sistem tata udara dengan VAV adalah sebesar 573,45 GJ. Konsumsi energi sistem tata cahaya dengan LED adalah sebesar 82,44 GJ. Sedangkan konsumsi energi peralatan listrik memiliki konsumsi energi yang sama dengan sistem sebelumnya yaitu 62,54 GJ. Konsumsi energi listrik keseluruhan setelah dilakukan skenario konservasi energi adalah 718,44 GJ. Nilai IKE setelah dilakukan konservasi energi adalah 201,88 kWh/m<sup>2</sup>/tahun.

### V.5. Analisis Pergantian Sistem *Constant Air Volume* (CAV) dengan sistem *Variable Air Volume* (VAV) dan *Luminaire Jenis Fluorescent* dengan LED Phillips Tube T8-18 Watt

Penghematan konsumsi energi listrik bangunan Perpustakaan Pusat UGM Gedung L4 dengan penerapan sistem VAV dan LED Phillips Tube T8-18 Watt ditunjukkan pada Tabel 5.20. Penggantian lampu LED tidak diterapkan pada semua zona. Zona yang menerapkan lampu LED adalah zona RB1, zona RB2, zona RBL2 dan zona RBL3.

**Tabel 5.20.** Perbandingan Konsumsi Energi Listrik dan IKE Sebelum dan Sesudah Skenario Konservasi Energi

	Sebelum	Sesudah	Penghematan	
Konsumsi Energi Listrik Keseluruhan (GJ)	941,19	718,44	222,75 GJ	23,67%
IKE (kWh/m <sup>2</sup> /tahun)	264,47	201,88	62,59 kWh/m <sup>2</sup> /tahun	

Nilai penghematan energi dan IKE untuk sistem keseluruhan bangunan adalah sebesar 222,75 GJ dan 62,59 kWh/m<sup>2</sup>/tahun atau 23,67 % per tahun. Sehingga penghematan konsumsi energi pada bangunan Perpustakaan Pusat UGM Gedung L4 dengan menerapkan sistem VAV dan LED mencapai 61.875,50 kWh/tahun.

### V.6. Analisis Perhitungan *Overall Thermal Transfer Value* (OTTV)

Standar SNI dimana persamaan untuk menghitung OTTV yang ditunjukkan pada persamaan 3.6 menetapkan standar OTTV sebesar 45 W/m<sup>2</sup>.

Berikut perhitungan OTTV berdasarkan standar SNI di Gedung L4.

a. Perpindahan Panas Konduksi pada Dinding Tak Tembus Cahaya ( $Q_w$ )

Lapisan dinding pada Gedung L4 diasumsikan terdiri dari dua bagian yaitu lapisan batu bata dan lapisan plester. Tebal batu bata sekitar 12cm dan tebal lapisan plester sekitar 5cm. Persamaan untuk menghitung  $Q_w$  adalah sebagai berikut.

$$Q_W = \alpha \{ U_W \times (1 - WWR) \times TD_{EK} \}$$

Nilai  $1-WWR$  adalah rasio perbandingan antara luas dinding tak tembus cahaya dengan luas total dinding luar pada orientasi tertentu seperti ditunjukkan pada Tabel 5.21.

**Tabel 5.21.** Nilai  $1-WWR$  di Gedung L4 Berdasarkan Orientasi Tertentu

Orientasi	Luas Total (m <sup>2</sup> )	Luas Dinding Tak Tembus Cahaya (m <sup>2</sup> )	1-WWR
Utara	709,20	280,35	0,40
Selatan	709,20	580,58	0,82
Barat	113,28	113,28	1,00
Timur	113,28	113,28	1,00

Nilai  $U_w$  adalah transmitansi termal pada dinding tak tembus cahaya ( $1/R$ ) dimana  $R$  adalah resistansi termal pada material ( $b/K$ ) seperti ditunjukkan pada Tabel 5.22. Nilai  $b$  adalah tebal lapisan pada dinding sedangkan  $K$  adalah konduktivitas termal pada suatu bahan bangunan. Sedangkan  $\alpha$  adalah nilai absorbtansi radiasi matahari.

Berdasarkan Tabel 3.1 dan 3.2 didapatkan:

$\alpha$  cat putih kilap = 0,25

$K$  dinding bata = 0,807 W/m.K      Densitas dinding bata = 1760 kg/m<sup>3</sup>

$K$  lapisan plester = 0,533 W/m.K      Densitas lapisan plester = 1568 kg/m<sup>3</sup>

**Tabel 5.22.** Nilai  $R$  pada Lapisan Batu Bata dan Lapisan Plester

Komponen	$b/K$	$R$ (m <sup>2</sup> .K/W)
Film udara luara		0,044
Dinding bata	0,12 / 0,807	0,148
Plesteran semen	0,05 / 0,533	0,094
Film udara dalam		0,120
Total		0,406

Maka didapatkan  $U_w = 1/R = 2,46$  W/m<sup>2</sup>.K

Berat dinding / satuan luas = densitas bahan x tebal bahan

$$= (1760 \times 0,12) + (1568 \times 0,05) = 289,6 \text{ kg/m}^2$$

Berdasarkan SNI jika berat dinding per satuan luas lebih besar dari 195 kg/m<sup>2</sup> maka besar  $TD_{EK}$  adalah 10 K.

Sehingga diperoleh nilai  $Q_w$  di Gedung L4 berdasarkan orientasi tertentu pada Tabel 5.23.

**Tabel 5.23.** Nilai  $Q_w$  Berdasarkan Orientasi Tertentu

Orientasi	1-WWR	$U_w$ (W/m <sup>2</sup> .K)	$TD_{EK}$ (K)	$Q_w$ (W/m <sup>2</sup> )
Utara	0,40	2,46	10	2,43
Selatan	0,82	2,46	10	5,03
Barat	1,00	2,46	10	6,15
Timur	1,00	2,46	10	6,15

b. Perpindahan Panas Konduksi pada Dinding Tembus Cahaya ( $Q_f$ )

Lapisan jendela pada dinding Gedung L4 diasumsikan terdiri dari satu lapisan kaca. Tebal lapisan kaca pada Gedung L4 0,5 cm. Persamaan untuk menghitung  $Q_f$  adalah sebagai berikut.

$$Q_f = U_f \times WWR \times \Delta T$$

Nilai  $WWR$  adalah rasio perbandingan antara luas dinding tembus cahaya dengan luas total dinding luar pada orientasi tertentu seperti ditunjukkan pada Tabel 5.24.

**Tabel 5.24.** Nilai  $WWR$  di Gedung L4 Berdasarkan Orientasi Tertentu

Orientasi	Luas Total (m <sup>2</sup> )	Luas Dinding Tembus Cahaya (m <sup>2</sup> )	$WWR$
Utara	709,20	428,85	0,60
Selatan	709,20	128,62	0,18
Barat	113,28	0	0
Timur	113,28	0	0

Nilai  $U_f$  adalah transmitansi termal di dinding tembus cahaya ( $1/R$ ) dimana  $R$  adalah resistansi termal pada material kaca ( $b/K$ ) seperti ditunjukkan pada Tabel 5.25. Nilai  $b$  adalah tebal lapisan pada kaca sedangkan  $K$  adalah konduktivitas termal pada lapisan kaca ( $K = 1,053$  W/m.K berdasarkan pada Tabel 3.2)

**Tabel 5.25.** Nilai  $R$  pada Lapisan Kaca

Komponen	$b/K$	$R$ ( $m^2.K/W$ )
Film udara luara		0,044
Lapisan kaca	0,005 / 1,053	0,0047
Film udara dalam		0,120
Total		0,169

Maka didapatkan  $U_f = 1/R = 5,92 \text{ W/m}^2.K$

Beda temperatur antara bagian luar dan bagian dalam bangunan ( $\Delta T$ ) ditentukan oleh SNI sebesar 5 K.

Sehingga diperoleh nilai  $Q_f$  pada Gedung L4 berdasarkan orientasi tertentu pada Tabel 5.26.

**Tabel 5.26.** Nilai  $Q_f$  Berdasarkan Orientasi Tertentu

Orientasi	$WWR$	$U_f$ ( $W/m^2.K$ )	$TD_{EK}$ (K)	$Q_f$ ( $W/m^2$ )
Utara	0,60	5,92	5	17,90
Selatan	0,18	5,92	5	5,37
Barat	0	5,92	5	0
Timur	0	5,92	5	0

c. Radiasi pada Dinding Tembus Cahaya ( $Q_g$ )

Persamaan untuk menghitung  $Q_g$ .

$$Q_g = SC \times WWR \times SF$$

Nilai  $SF$  adalah faktor radiasi matahari seperti ditunjukkan pada Tabel 5.27.

**Tabel 5.27.** Nilai  $SF$  untuk Berbagai Orientasi

Orientasi	$SF$ ( $W/m^2$ )
Utara	130
Selatan	97
Barat	243
Timur	112

Nilai  $SC$  adalah koefisien peneduh dari sistem fenestrasi (dinding tembus cahaya). Nilai  $SC$  yang digunakan untuk perhitungan ini mengacu kepada panduan SNI 03-6389-2000 Apendiks A dimana nilai  $SC$  untuk kaca yang terbuka penuh memiliki nilai 1, kaca yang terlindung memiliki nilai 0, dan

kaca yang setengah terlindung memiliki nilai 0,5. Untuk perhitungan pada Gedung L4 diasumsikan nilai  $SC$  adalah 0,5.

Sehingga diperoleh nilai  $Q_g$  di Gedung L4 berdasarkan orientasi tertentu pada Tabel 5.28.

**Tabel 5.28.** Nilai  $Q_g$  Berdasarkan Orientasi Tertentu

Orientasi	WWR	SF (W/m <sup>2</sup> )	SC	$Q_g$ (W/m <sup>2</sup> )
Utara	0,60	130	0,5	39,31
Selatan	0,18	97	0,5	8,80
Barat	0	243	0,5	0
Timur	0	112	0,5	0

Maka, didapatkan nilai  $OTTV$  pada masing-masing orientasi yang ditunjukkan oleh Tabel 5.29.

**Tabel 5.29.** Nilai  $OTTV$  pada Gedung L4 Berdasarkan Orientasi Tertentu

Orientasi	$OTTV$ (W/m <sup>2</sup> )
Utara	59,64
Selatan	19,20
Barat	6,15
Timur	6,15
<b>Nilai OTTV Semua Orientasi</b>	<b>22,78</b>

Berdasarkan hasil perhitungan pada Tabel 5.29, nilai  $OTTV$  pada Gedung L4 untuk semua orientasi sudah masuk ke dalam standar SNI dimana standar  $OTTV$  tidak lebih dari 45 W/m<sup>2</sup>.

### V.7. Validasi Hasil Simulasi *EnergyPlus*

Untuk mengetahui apakah perangkat lunak *EnergyPlus* sudah memberikan hasil yang cukup valid dalam simulasi energi bangunan pada penelitian ini, dapat dilakukan pengecekan dengan cara membandingkan nilai  $OTTV$  hasil simulasi *EnergyPlus* dengan nilai  $OTTV$  perhitungan manual berdasarkan standar SNI. Perbandingan nilai  $OTTV$  hasil simulasi *EnergyPlus* dengan nilai  $OTTV$  perhitungan manual disajikan dalam Tabel 5.30.

**Tabel 5.30.** Perbandingan Nilai *OTTV* Hasil Simulasi dan Perhitungan Manual

Metode Validasi	Nilai <i>OTTV</i> (W/m <sup>2</sup> )
Hasil Simulasi	22,54
Perhitungan Manual	22,78

Dari Tabel 5.30 dapat dilihat bahwa selisih nilai *OTTV* berdasarkan hasil simulasi dan perhitungan manual tidak terlalu besar yaitu 0,24 W/m<sup>2</sup> atau 1,05%. Hal tersebut menunjukkan bahwa hasil yang diperoleh dari simulasi ini sudah cukup valid.

### V.8. Analisis Perhitungan Biaya Pembelian Komponen Refrigeran dan *Ducting*

Refrigeran yang digunakan pada Perpustakaan Pusat UGM Gedung L4 adalah refrigeran jenis R410a dengan asumsi:

1. Berat total refrigeran yang dibutuhkan adalah 113,5*lb* tiap tahun.
2. Harga refrigeran R410a setiap 25*lb* adalah Rp 1.200.000,-

Sedangkan *Ducting* yang digunakan adalah Seng BJLS 0,5 dengan asumsi:

1. Panjang *ducting* yang dibutuhkan tiap lantai adalah 80m<sup>2</sup>
2. Jumlah lantai yang dipasang *ducting* adalah 3 lantai. Maka panjang total *ducting* yang dibutuhkan adalah 240m<sup>2</sup>.
3. Harga *ducting* Seng BJLS 0,5 : Rp 300.000 /m<sup>2</sup>.

Analisis perhitungan biaya berdasarkan asumsi yang telah ditetapkan, ditunjukkan pada Tabel 5.31

**Tabel 5.31.** Perhitungan Biaya Komponen *Refrigerant* dan *Ducting*

No	Jenis Refrigeran dan <i>Ducting</i>	Jumlah	Total harga
1	R410a	300 <i>lb</i>	Rp 6.356.000,-
2	Seng BJLS 0,5	240m <sup>2</sup>	Rp 72.000.000,-

Dari tabel 5.31 diperoleh bahwa total biaya pembelian komponen Refrigeran dan *Ducting* selama 1 tahun adalah Rp 78.356.000,-

## V.9. Analisis Perhitungan Ekonomi Sistem Tata Cahaya menggunakan Lampu LEDtube T8

Perencanaan ekonomi dilakukan untuk mengetahui biaya yang dibutuhkan oleh sistem tata cahaya. Perancangan dasar pada penelitian ini tidak membahas lebih lanjut tentang biaya yang dibutuhkan selama siklus hidup sistem.

### V.9.1. Biaya Pembelian Komponen

Sistem tata cahaya pada skenario konservasi energi menggunakan Lampu LEDtube 1200mm 18 Watt. Harga dan jumlah lampu LED yang dibutuhkan ditunjukkan pada Tabel 5.32.

**Tabel 5.32.** Harga Lampu LEDtube 18W

Harga satuan Lampu T8 LEDtube 18 W	Jumlah Lampu	Total Harga
Rp 250.000	180	Rp 23.750.000

### V.9.2. Biaya Pemasangan dan Instalasi

Biaya pemasangan dan instalasi meliputi biaya ahli pratama (konsultan), pengawas (ahli teknik) dan tukang listrik. Upah tertinggi setiap profesi jasa yang dibutuhkan diperoleh dari SHBJ Provinsi Jawa Tengah [26]. Pekerja dalam pemasangan dan instalasi ini diberi upah menurut lama waktu kerja. Hasil perhitungan biaya pemasangan dan instalasi pencahayaan ditunjukkan pada Tabel 5.33.

**Tabel 5.33.** Biaya Instalasi Pencahayaan Gedung L4

Profesi	Satuan Waktu	Jumlah Orang	Target (Hari)	Upah harian	Total Biaya
Ahli Pratama	Bulan	2	30	Rp 150.000	Rp 9.000.000
Pengawas	Bulan	2	30	Rp 100.000	Rp 6.000.000
Tukang Listrik	Hari	10	20	Rp 75.000	Rp 15.000.000
<b>Total</b>					Rp 30.000.000

### V.9.3. Biaya Operasional

Biaya operasional sistem tata cahaya meliputi biaya yang dikeluarkan untuk pembayaran listrik pencahayaan. Perhitungan biaya pembayaran listrik berdasarkan harga listrik per kWh yang dikeluarkan PLN yaitu Rp 1.409,16 [27]. Hasil perhitungan biaya biaya operasional sistem tata cahaya selama 1 tahun ditunjukkan pada Tabel 5.34.

**Tabel 5.34.** Biaya Operasional sistem tata cahaya

Harga listrik per kWh	Total kWh 1 Tahun	Biaya Listrik 1 Tahun
Rp 1.409,16	38.158,56 kWh	Rp 53.771.516,41

Maka diperoleh total biaya keseluruhan yang meliputi biaya komponen, instalasi dan operasional sistem tata cahaya Gedung L4 Perpustakaan Universitas Gadjah Mada ditunjukkan pada Tabel 5.35.

**Tabel 5.35.** Total Biaya Keseluruhan

No	Jenis Biaya	Biaya
1	Biaya Komponen	Rp 23.750.000
2	Biaya Instalasi	Rp 30.000.000
3	Biaya Operasional	Rp 53.771.516,41
<b>Total Biaya Keseluruhan</b>		<b>Rp 107.521.516,41</b>

## BAB VI

### KESIMPULAN DAN SARAN

#### VI.1 Kesimpulan

1. Berdasarkan simulasi menggunakan perangkat *EnergyPlus* dengan asumsi-asumsi yang diberikan, konsumsi energi keseluruhan bangunan Perpustakaan Pusat UGM Gedung L4 adalah sebesar 941,19 GJ per tahun.
2. Nilai Intensitas Konsumsi Energi (IKE) berdasarkan simulasi adalah sebesar 264,47 kWh/m<sup>2</sup>/tahun. Nilai IKE hasil simulasi belum memenuhi standar *green building* yang sudah ditetapkan di Indonesia.
3. Skenario konservasi energi dengan menggunakan sistem *Variable Air Volume* (VAV) dan jenis lampu LED.
4. Hasil penerapan skenario terhadap konsumsi energi listrik keseluruhan bangunan Perpustakaan Pusat UGM Gedung L4 adalah didapatkan penghematan sebesar 23,67% dan nilai IKE sebesar 201,88 kWh/m<sup>2</sup>/tahun, sehingga sudah memenuhi standar *green building* di Indonesia.
5. Biaya penggunaan komponen sistem tata udara dan tata cahaya secara berurutan adalah Rp 78.356.000,- dan Rp 107.521.516,41.

#### VI.2 Saran

1. Diperlukan validasi lebih lanjut pada bangunan sebenarnya supaya diperoleh hasil yang lebih akurat.

## DAFTAR PUSTAKA

- [1] *Prosedur Audit Energi Pada Bangunan Gedung*. Dokumen Teknis, Badan Standardisasi nasional, Jakarta, 2011.
- [2] Feni Wijastuti. *Audit Energi Listrik Studi Kasus di Gedung Perpustakaan Pusat UGM Sayap Selatan (L1)*. Skripsi, Jurusan Teknik Fisika, Fakultas Teknik Fisika, Fakultas Teknik, Universitas Gadjah Mada, Yogyakarta, 2014.
- [3] Agra Arie Munanda. *Simulasi Sistem Energi Pada Perpustakaan Pusat Universitas Gadjah Mada Gedung L1 Dengan EnergyPlus*. Skripsi, Jurusan Teknik Fisika, Fakultas Teknik Fisika, Fakultas Teknik, Universitas Gadjah Mada, Yogyakarta, 2014.
- [4] Laksana Gema Perdamaian. *Simulasi Konsumsi Energi Listrik Sistem Tata Udara, Tata Cahaya, Peralatan Listrik, dan Transportasi Terminal 3 Bandar Udara Internasional Soekarno-Hatta dengan EnergyPlus 7.0.0*. Skripsi, Jurusan Teknik Fisika, Fakultas Teknik Fisika, Fakultas Teknik, Universitas Gadjah Mada, Yogyakarta, 2012.
- [5] Nanda Kania Pradita. *Simulasi Energi Bangunan Pada Ruang Rawat Inap Rumah Sakit dengan EnergyPlus (Studi Kasus : RS Yadika Pondok Bambu, Jakarta)*. Skripsi, Jurusan Teknik Fisika, Fakultas Teknik Fisika, Fakultas Teknik, Universitas Gadjah Mada, Yogyakarta, 2013.
- [6] Dewati Widitama. *Analisis Energi Bangunan Hotel Novotel Yogyakarta dengan Sistem Pengkondisian Udara Variable Air Volume Menggunakan EnergyPlus*. Skripsi, Jurusan Teknik Fisika, Fakultas Teknik Fisika, Fakultas Teknik, Universitas Gadjah Mada, Yogyakarta, 2013.
- [7] Drury B. Crawley, Linda K. Lawrie, Curtis O. Pedersen, Richard J. Liesen, Daniel E. Fisher, Richard K. Strand, Russell D. Taylor, Frederick C. Winkelmann, W. F. Buhl, A. Ender Erden, Y. Joe Huang. “*EnergyPlus, A*

- New-Generation Building Energy Simulation Program*". Proceedings of Building Simulation, Volume 1: 81-88, 1999.
- [8] Laretna Annisa Rarastika.. *Analisis dan Penyusunan Petunjuk Teknis Parameter Green Building Greenship Existing Building Pada Hotel Novotel Yogyakarta*. Skripsi, Jurusan Teknik Fisika, Fakultas Teknik, Universitas Gadjah Mada, Yogyakarta, 2013.
- [9] ASHRAE. *2009 ASHRAE Handbook – Fundamentals (SI)*. American Society of Heating, Refrigeration, and Air Conditioning Engineers Inc., Atlanta, Georgia, Amerika Serikat, 2009.
- [10] Pedersen, C.O., D.E. Fisher, R.J. Liesen. 1997. "Development of a Heat Balance Procedure for Calculating Cooling Loads", ASHRAE Transactions, Vol. 103, Pt. 2, pp. 459-468
- [11] *Windows for High Performance Commercial Buildings*. Center for Sustainable Building Research, College of Design, University of Minnesota dan The Windows and Daylighting Group at Lawrence Berkeley National Laboratory(LBNL). Diakses dari [http://www.commercialwindows.org/primer\\_intro.php](http://www.commercialwindows.org/primer_intro.php), 15 Februari 2014.
- [12] *EnergyPlus Input-Output Reference*. Dokumen teknis, University of Illinois, Urbana, Illinois, dan Ernest Orlando Lawrence Berkeley National Laboratory, Berkeley, California, Amerika Serikat, 2011
- [13] Robert McDowall. *Fundamental of HVAC Systems, SI Edition*. Elsevier. Oxford, Inggris Raya, 2007.
- [14] Shan K.Wang. *Handbook of Air Conditioning and Refrigeration*. McGrawHill. New York, New York, Amerika Serikat, 2000.
- [15] *Tata Cara Perancangan Sistem Ventilasi dan Pengkondisian Udara pada Bangunan Gedung*. Standar Nasional Indonesia (SNI) 03-6572-2001. Badan Standardisasi Nasional, Jakarta, 2001

- [16] Aulia Muhaddi, Ahmad Rahma Wardhana, Ahmad Fahmi Hidayatulloh, Nasrulloh, Fajar Zawa Tri Mulya, Laksana Gema Perdamaian, dan Arif Darmawan. *Manajemen Energi Terminal 3 Bandar Udara Internasional Soekarno-Hatta, PT (Persero) Angkasa Pura II Cabang Utama Bandar Udara Internasional Soekarno-Hatta*. Laporan Kerja Praktek, Jurusan Teknik Fisika, Fakultas Teknik, Universitas Gadjah Mada, Yogyakarta, 2011.
- [17] Daniel E. Fisher dan Chanvit Chantrasrisalai. *ASHRAE 1282-RP Lighting Heat Gain Distribution in Buildings*. Laporan penelitian, ASHRAE Research Project, ASHRAE, Atlanta, Georgia, Amerika Serikat, 2006.
- [18] P. Boyce dan P. Raynham. *The SLL Lighting Handbook*. London: CIBSE, 2009.
- [19] BSN. *Tata Cara Perancangan Sistem Pencahayaan Buatan Pada Bangunan Gedung*. Jakarta: Badan Standarisasi Nasional, 2001.
- [20] J.M., Calm. *Emissions and Environmental Effects from Air Conditioning and Refrigeration System*. USA, 2011
- [21] *E-Learning Teknik Pendinginan, Refrigeran*. Institut Pertanian Bogor, 2008
- [22] Dedeng Rahmat. *Pengujian Sistem Refrigerasi Cascade Dengan Menggunakan Refrigeran Campuran Alami R170/R744 Pada Aplikasi Temperatur Rendah*. Skripsi, Program Studi Teknik Mesin, Fakultas Teknik, Universitas Indonesia, Depok, 2008
- [23] IPCC. *1996 Radiative Forcing Report of Climate Change*. Cambridge Press University
- [24] Muslih. *Analisis dan Evaluasi Parameter Green Building Berdasarkan Kriteria GreenShip New Building pada Gedung Asrama Mahasiswa Kinanti 2 dan 3 UGM*. Skripsi, Jurusan Teknik Fisika Fakultas Teknik Universitas Gadjah Mada. Yogyakarta, 2014

- [25] SNI 03-6389-2000 tentang Konservasi Energi Selubung Bangunan pada Bangunan Gedung
- [26] Anonim. *Standarisasi Harga Barang dan Jasa*. BAPPEDA Provinsi Jawa Tengah. Diakses dari <http://bappeda.jatengprov.go.id/>
- [27] Anonim. *Tarif Dasar Listrik Januari 2016*. Diakses dari [www.pln.co.id](http://www.pln.co.id)

## LAMPIRAN A

### *AUTOCAD DRAWING* GEDUNG L2, L3 DAN L4 PERPUSTAKAAN PUSAT UNIVERSITAS GADJAH MADA

#### A.1 TAMPAK UTARA GEDUNG L3 DAN L4







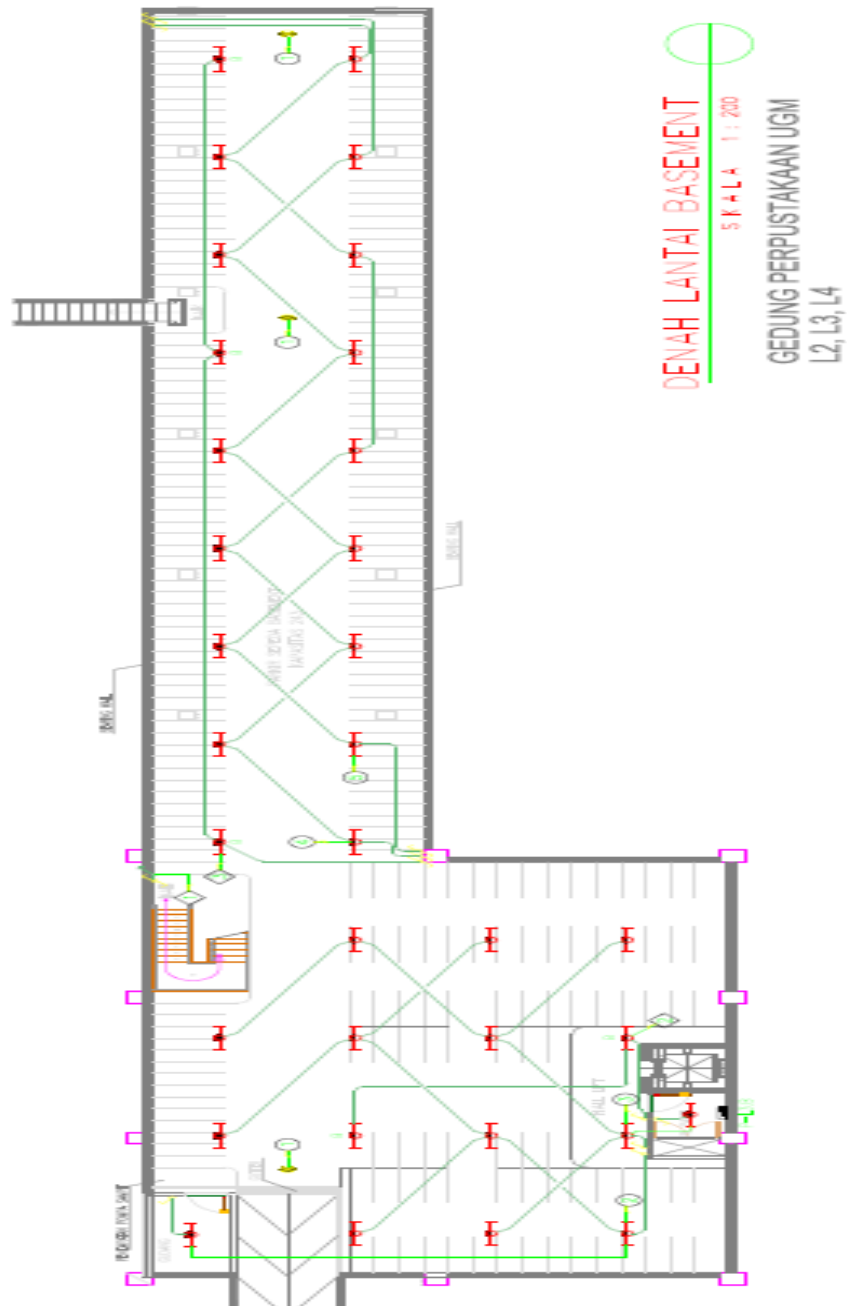




## LAMPIRAN B

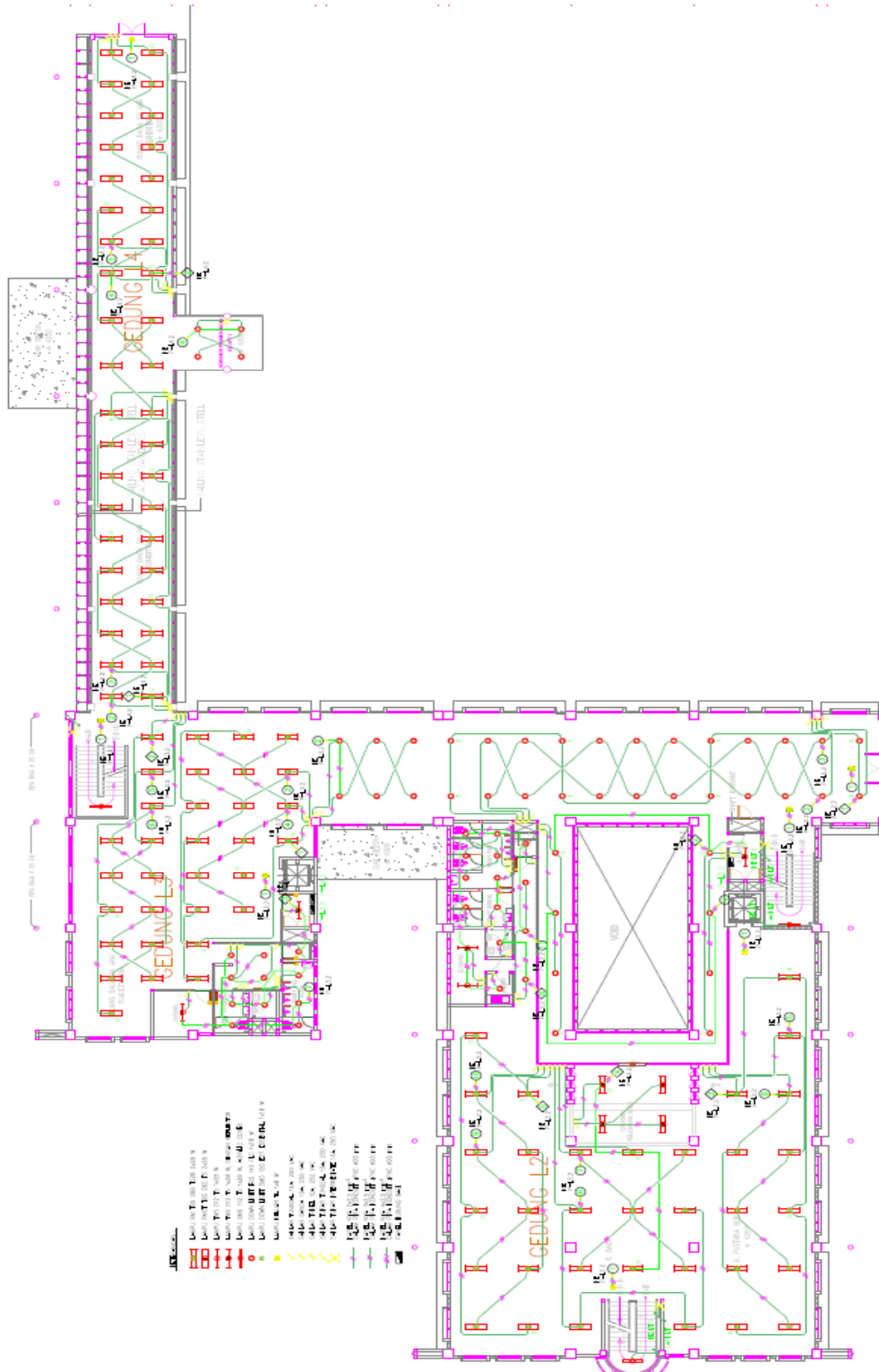
### **AUTOCAD DRAWING INSTALASI TATA CAHAYA GEDUNG L2, L3 DAN L4 PERPUSTAKAAN PUSAT UNIVERSITAS GADJAH MADA**

#### **B.1. INSTALASI TATA CAHAYA BASEMENT**

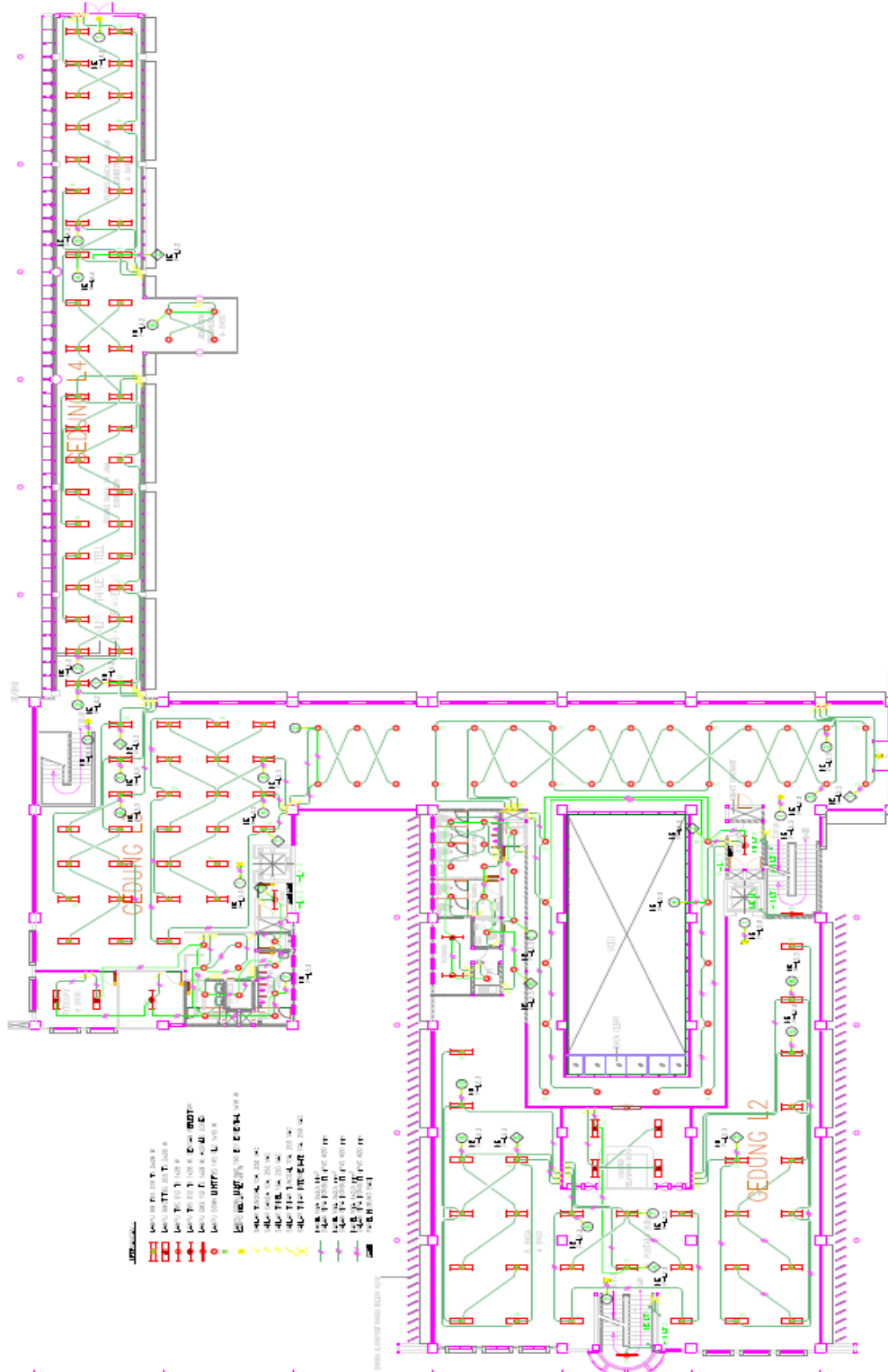




### B.3 INSTALASI TATA CAHAYA LANTAI 2



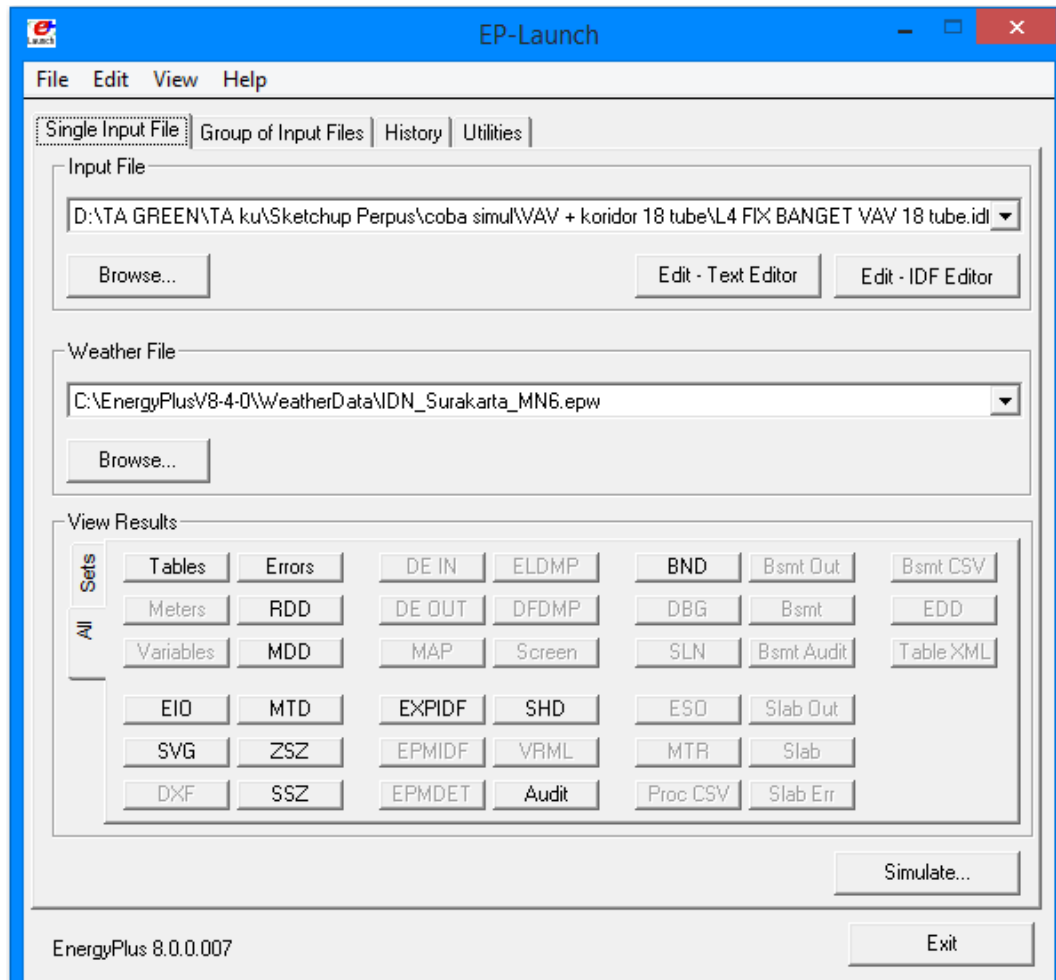
## B.4 INSTALASI TATA CAHAYA LANTAI 3



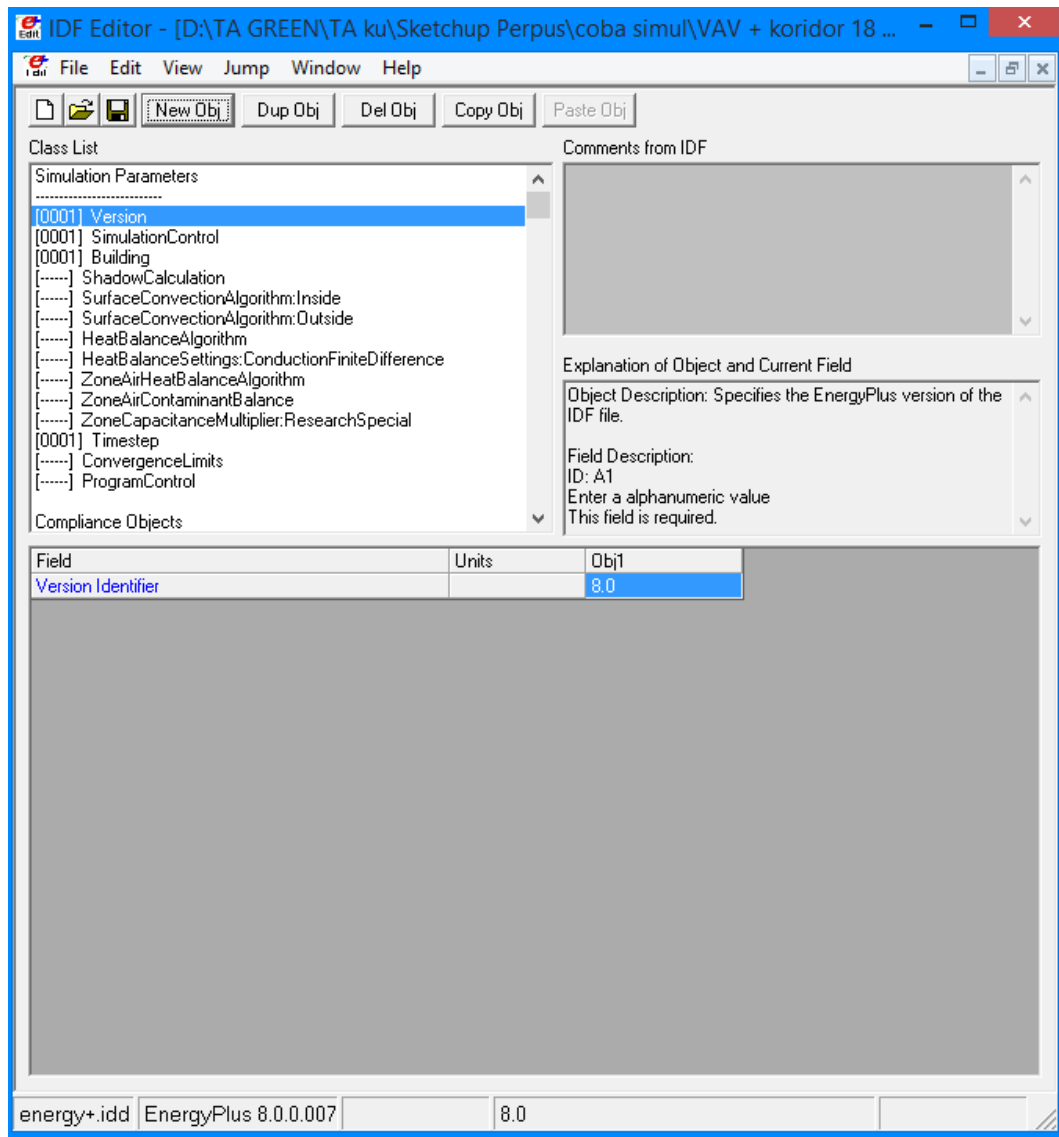
## LAMPIRAN C

### TAMPILAN SIMULASI *ENERGYPLUS*

#### C.1 Layar *EP-Launch* pada *EnergyPlus*



## C.2 Layar IDF Editor



## LAMPIRAN D

### SPESIFIKASI LAMPU LED



#### Product information



Where to Buy

## Specifications

### General Information

Tutup-Dasar	G13 [ G13]	Nominal Masa Pakai (Nom)	30000 h
Aplikasi Utama	Industrial		

### Light Technical

Kode Warna	865 [ CCT 6500K]	Suhu Warna Terkorelasi (Nom)	6500 K
Beam Angle (Nom)	150 °	Konsistensi Warna	6 steps
Fluks Cahaya (Nom)	1600 lm	Indeks Renderasi Warna (Nom)	80
Fluks Cahaya (Terukur) (Nom)	1600 lm	Limf Di Akhir Masa Pakai Nominal (Nom)	70 %
Tingkat Sudut Pencahayaan	150 °		

### Operating and Electrical

Frekuensi Input	50/60 Hz	Faktor Daya (Min)	0.9
Power (Rated) (Nom)	18.0 W	Voltage (Nom)	220-240 V
Waktu Mulai (Maks)	0.5 s		
Waktu Pemanasan Hingga 60% Cahaya (Nom)	instant full light		

### Temperature

T-Ambien (Maks)	45 °C	T-Penyimpanan (Min)	-40 °C
T-Ambien (Min)	-20 °C	T-Case Maksimum (Maks)	53 °C
T-Penyimpanan (Maks)	65 °C		

### Controls and Dimming

Dapat Diredupkan	TIDAK
------------------	-------

### Approval and Application

Produk Hemat energi	YA	Konsumsi energi kWh/1000 jam	18 kWh
Sesuai Untuk Lampu Aksen	TIDAK		
Label Efisiensi Energi (EEL)	A+		
Tanda Persetujuan	Tanda CE Kepatuhan RoHS Sertifikat KEMA Keur		

### Product Data

Kode produk lengkap	871869642522000	Numerator - Jumlah Per Pak	1
Nama produk pesanan	ESSENTIAL LEDtube 1200mm 18W865 T8 AP I	Numerator - Pak per kotak bagian luar	10